

**T.C.
SÜLEYMAN DEMİREL ÜNİVERSİTESİ
FEN BİLİMLERİ ENSTİTÜSÜ**

**SÜTÇÜLER YÖRESİNDE KUŞBURNU (*Rosa canina* L.)
TÜRÜNÜN COĞRAFİ DAĞILIM MODELLEMESİ**

Gökhan KAZAZ

**Danışman
Doç. Dr. Kürşad ÖZKAN**

**II. Danışman
Yrd. Doç. Dr. Özdemir ŞENTÜRK**

**YÜKSEK LİSANS TEZİ
ORMAN MÜHENDİSLİĞİ ANABİLİM DALI
ISPARTA - 2013**

© 2013 [Gökhan KAZAZ]

TEZ ONAYI

Gökhan KAZAZ tarafından hazırlanan " Sütçüler Yöresinde Kuşburnu (*Rosa canina* L.) Türünün Coğrafi Dağılım Modellemesi "adlı tez çalışması aşağıdaki jüri üyeleri önünde Süleyman Demirel Üniversitesi Fen Bilimleri Enstitüsü Orman Mühendisliği Anabilim Dalı'nda YÜKSEK LİSANS TEZİ olarak başarı ile savunulmuştur.

Danışman Doç. Dr. Kürşad ÖZKAN
Süleyman Demirel Üniversitesi



II. Danışman Yrd. Doç. Dr. Özdemir ŞENTÜRK
Mehmet Akif Ersoy Üniversitesi



Jüri Üyesi Doç. Dr. İbrahim ÖZDEMİR
Süleyman Demirel Üniversitesi



Jüri Üyesi Doç. Dr. Bilgin GÜLLER
Süleyman Demirel Üniversitesi



Jüri Üyesi Doç. Dr. Semra KILIÇ
Süleyman Demirel Üniversitesi



Enstitü Müdürü Doç. Dr. Ahmet ŞAHİNER

TAAHHÜTNAME

Bu tezin akademik ve etik kurallara uygun olarak yazıldığını ve kullanılan tüm literatür bilgilerinin referans gösterilerek tezde yer aldığını beyan ederim.

Gökhan KAZAZ



İÇİNDEKİLER

| | Sayfa |
|--|--------------|
| İÇİNDEKİLER | i |
| ÖZET..... | ii |
| ABSTRACT..... | iii |
| TEŞEKKÜR..... | iv |
| ŞEKİLLER DİZİNİ..... | v |
| ÇİZELGELER DİZİNİ | vi |
| SİMGELER VE KISALTMALAR DİZİNİ | vii |
| 1. GİRİŞ | 1 |
| 2. LİTERATÜR ÖZETİ..... | 3 |
| 3. MATERYAL VE YÖNTEM | 10 |
| 3.1. Araştırma Alanı | 10 |
| 3.2. İklim | 11 |
| 3.3. Jeolojik Yapısı..... | 11 |
| 3.4. Bitki Örtüsü | 11 |
| 3.5. Arazi Çalışmaları..... | 12 |
| 3.6. Çalışmada Kullanılan Veriler | 12 |
| 3.7. İstatistiksel Değerlendirmeler..... | 19 |
| 3.7.1. Korelasyon analizi..... | 19 |
| 3.7.2. Temel bileşenler analizi..... | 19 |
| 3.7.3. Wilcoxon sıra istatistiği testi | 19 |
| 3.7.4. Nitelikler arası ilişki analizi | 20 |
| 3.7.5. Lojistik regresyon analizi | 20 |
| 3.7.6. Ayırma analizi | 21 |
| 3.7.7. ROC eğrisi..... | 21 |
| 4. ARAŞTIRMA BULGULARI | 22 |
| 4.1. İklim Değişkenlerine Uygulanan Korelasyon ve Temel Bileşenler Analizi Sonuçları..... | 22 |
| 4.2. Wilcoxon Sıra İstatistiği Sonuçları..... | 24 |
| 4.3. Ki Kare Analizi Sonuçları | 25 |
| 4.4. İklim Ve Arazi Değişkenlerine Uygulanan Lojistik Regresyon Analizi Sonuçları..... | 28 |
| 4.5. İklim ve Arazi Değişkenlerine Uygulanan Ayırma Analizi Sonuçları.... | 29 |
| 4.6. Modellerin Geçerliliği | 30 |
| 5. TARTIŞMA VE SONUÇLAR | 32 |
| KAYNAKLAR | 34 |
| EKLER..... | 40 |
| ÖZGEÇMİŞ | 68 |

ÖZET

Yüksek Lisans Tezi

SÜTÇÜLER YÖRESİNDE KUŞBURNU (*ROSA CANINA L.*) TÜRÜNÜN COĞRAFİ DAĞILIM MODELLEMESİ

Gökhan KAZAZ

Süleyman Demirel Üniversitesi
Fen Bilimleri Enstitüsü
Orman Mühendisliği Anabilim Dalı

Danışman: Doç. Dr. Kürşad ÖZKAN

II. Danışman: Yrd. Doç. Dr. Özdemir ŞENTÜRK

Sütçüler yöresi orman kaynakları bakımından ve özellikle odun dışı orman ürünleri bakımından zengin bir yöredir. Yörede doğal yayılışı bulunan en değerli odun dışı orman ürünlerinden biri de kuşburnu (*Rosa canina L.*)'dur. Bu çalışma Sütçüler yöresinde kuşburnunun yayılışı ile yetişme ortamı özellikleri arasındaki ilişkileri belirlemek için gerçekleştirilmiştir. Çalışma da türün yayıldığı ve yayılmadığı alanlardan örnek alanlar alınmıştır. Örnek alanlarda diğer bitki türleri ve bazı abiyotik yetişme ortamı faktörleri tespit edilmiştir. Daha sonra kuşburnun var-yok verileri ile örnek alan envanter verileri arasında istatistiksel değerlendirmeler yapılmıştır.

Çalışmada da çeşitli istatistiksel yöntemler kullanılmıştır. Wilcoxon sıralı toplam istatistiği ve nitelikler arası ilişki analizi ile türün dağılımı ile her bir değişken arasındaki ilişkiler incelenmiş ve YUKSELTİ, SICIND, RADIND, BAKIND, bio11, OFMELA, DLMT ve KUMTS değişkenlerinin önemli olduğu tespit edilmiştir. Tür dağılımı modellenmesi için ayırma analizi ve lojistik regresyon analizi kullanılmış ve en iyi model içerisinde yükselti, anakaya tipi, radyasyon indisi ve bakı uygunluk indisinin olduğu ayırma analizi ile elde edilmiştir.

Anahtar kelimeler: Kuşburnu, lojistik regresyon, ayırma analizi, dağılım modellenmesi

2013, 68 sayfa

ABSTRACT

M.Sc. Thesis

SPATIAL MODELLING OF WILD ROSA (*ROSA CANINA* L.) IN THE SÜTÇÜLER DISTRICT

Gökhan KAZAZ

**Süleyman Demirel University
Graduate School of Applied and Natural Sciences
Department of Forest Engineering**

Supervisor: Assoc. Prof. Dr. Kürşad ÖZKAN

Co-Supervisor: Asst. Prof. Dr. Özdemir ŞENTÜRK

Sütçüler district is rich in forest resources in particularly non-wood forest products: Wild rosa (*Rosa canina* L.) one of the most valuable non-wood forest products, is nature in the district. This study was carried out to determine the relationships between distribution of wild rosa (*Rosa canina* L.) and environmental factors in the Sütçüler district. In the study, sample plots were taken from the areas where the species is present or absent. Next statistical methods were employed between binary data of wild rose and environmental data.

In the study, several statistical methods were performed. Wilcoxon rank-sum statistic and inter specific correlation analysis were applied to examine between the binary data of the species and each of all environmental variables. As a result of those analysis, elevation, heat index, aspect favourability index, radiation index, bio11 and parent materials variables were found significant for species' distribution. To build distribution model of the species, logistic regression analysis and discriminate analysis were used. After performing those analyses, the best model was provided by using discriminate analysis including elevation, parent material and aspect suitability index.

Keywords: Wild rosa, logistic regression, discriminant analyses, distribution modelling

2013, 68 pages

TEŞEKKÜR

Bu araştırma için beni yönlendiren, karşılaştığım zorlukları bilgi ve tecrübesi ile aşmamda yardımcı olan değerli Danışman Hocam Doç. Dr. Kürşad ÖZKAN'a teşekkürlerimi sunarım. Literatür araştırmalarımnda yardımcı olan değerli Hocam Yrd. Doç. Dr. Özdemir ŞENTÜRK'e, arazi çalışmalarımnda yardımlarını esirgemeyen bölüm arkadaşlarıma teşekkür ederim.

Araştırmanın yürütülmesinde maddi ve manevi yardımlarını gördüğüm değerli Hocam Doç. Dr. Bilgin GÜLLER'e teşekkür ederim.

SDÜ-BAPKB-2838-YL-11 No`lu Proje ile tezimi maddi olarak destekleyen Süleyman Demirel Üniversitesi Bilimsel Araştırma Projeleri Yönetim Birimi Başkanlığı'na teşekkür ederim.

Tezimin her aşamasında yanımda olan ve manevi desteğini hiçbir zaman esirgemeyen özel ve bir o kadarda değerli arkadaşım Nurşen AYAZOĞLU'na saygı ve sevgilerimi sunarım.

Tezimin her aşamasında beni yalnız bırakmayan aileme sonsuz sevgi ve saygılarımı sunarım.

Gökhan KAZAZ
ISPARTA, 2013

ŞEKİLLER DİZİNİ

| | Sayfa |
|--|--------------|
| Şekil 3.1. Çalışma alanına ait yer gösteri haritası | 10 |
| Şekil 3.2. Çalışma alanına ait eğim haritası | 14 |
| Şekil 3.3. Çalışma alanına ait bakı haritası | 14 |
| Şekil 3.4. Çalışma alanına ait yükselti basamakları haritası | 15 |
| Şekil 3.5. Çalışma alanına ait TOPOZIN haritası | 16 |
| Şekil 3.6. Çalışma alanına ait ARAFOR haritası | 16 |
| Şekil 3.7. Çalışma alanına ait anakaya haritası | 17 |
| Şekil 4.1. C değerine göre indikatörlerin a, b, c ve d sayılarına ait grafikleri | 28 |
| Şekil 4.2. Lojistik regresyon analizi sonucunda elde edilen modellere ait ROC değerleri..... | 31 |
| Şekil 4.3. Ayırma analizi sonucunda elde edilen modele ait ROC değeri | 31 |

ÇİZELGELER DİZİNİ

| | Sayfa |
|---|--------------|
| Çizelge 3.1. İklim değişkenlerine ait kodlar ve açıklamaları..... | 13 |
| Çizelge 4.1. Temel bileşenler analizi sonuçları | 23 |
| Çizelge 4.2. Temel bileşenler analizi sonuçları | 24 |
| Çizelge 4.3. Wilcoxon sıra istatistiği sonucunda elde edilen önem seviyeleri ... | 25 |
| Çizelge 4.4. Ki Kare analizi sonucunda elde edilen önem seviyeleri ve C3 değerleri..... | 26 |
| Çizelge 4.5. Lojistik regresyon analizi sonucu elde edilen modellerin regresyon denklemleri..... | 29 |
| Çizelge 4.6. Ayırma analizine ait özdeğer sonuçları..... | 29 |
| Çizelge 4.7. Ayırma analizine ait Wilks' Lambda değeri | 30 |
| Çizelge 4.8. Kuşburnu türü için standardize edilmiş ayırım fonksiyon katsayıları | 30 |
| Çizelge 4.9. Kuşburnu türü için standardize edilmemiş ayırım fonksiyon katsayıları | 30 |
| Çizelge A.1. Kuşburnu türünün var yok verilerinin kategorik değişkenlere ait değerleri | 41 |
| Çizelge A.2. Kuşburnu türünün var yok verilerinin sürekli değişkenlere ait değerleri..... | 50 |
| Çizelge A.3. İklim değişkenlerine ait korelasyon analizi sonuçları..... | 66 |

SİMGELER VE KISALTMALAR DİZİNİ

| | |
|----|------------------|
| °C | Santigrat derece |
| cm | Santimetre |
| da | Dekar |
| g | Gram |
| kg | Kilogram |
| mg | Miligram |
| m | Metre |
| mm | Milimetre |
| % | Yüzde |

1. GİRİŞ

Ülkemizde nüfusun hızla artması yaşam standartlarının yükselmesine neden olmuştur. Bunun sonucunda mevcut doğal kaynaklarımız hızla tahrip olarak tükenme noktasına gelmiştir. Zaman ilerledikçe karşımıza çıkan doğal kaynaklarımızla ilgili sıkıntılar, toplumun yaşam faaliyetlerini sosyo-ekonomik açıdan da engellemeye başlamıştır. Topraklarımızın yaklaşık %27'sini kapsayan orman alanlarımızda bu zamana kadar yapılan bütün istihdam çalışmaları odun envanteri üzerine olmuştur. Zaman ilerledikçe ormanlarımızın odundan ibaret olmadığı anlaşılmış, yaban hayatının, çalı taksonlarının ve diğer canlıların da orman ekosistemi içerisinde olduğu tespit edilmiştir. Bununla birlikte odun envanteri üzerine yapılan faaliyetler yerini ekosistem tabanlı amenajman planlarına bırakmış, orman kaynaklarını koruyarak faydalanabilme bilincini ortaya çıkarmıştır (Anonim, 2012). Ayrıca ormanlarımızın yeniden planlaması sırasında ülkemizin coğrafik durumu, yıllık yağış rejimi ve biyolojik çeşitlilik de yer almaktadır (Akyol vd., 2006).

Ülkemiz bitki tür çeşitliliği bakımından oldukça zengin olmakla birlikte 10.000 farklı bitki türüne sahiptir ve bunlardan %33'ü endemiktir (Davis, 1965; 1988). İnsanların ve diğer canlıların ihtiyacını karşılamak üzere ormanda yetişen her türlü bitkisel ve hayvansal ürünler odun dışı orman ürünleri (ODOÜ) olarak tanımlanmaktadır. ODOÜ çerçevesinde yer alan bitkiler, tıbbi bitkiler, yabani besin bitkileri, boya bitkileri, soğanlı bitkiler, aromatik bitkiler, mantarlar şeklinde örneklendirilebilir. ODOÜ, bitkisel ve hayvansal ürün olarak kullanılmasının dışında bu ürünlerden CO₂ tutma, oksijen oluşturma, hayvan otlatma, rekreasyon, gen kaynağı sağlama, bilimsel amaçlı kullanıma, su rezervi ve erozyon kontrolü gibi alanlarda da yararlanılmaktadır. Bunun yanında ODOÜ ekonomik boyutta da önemli derecede fayda sağlamaktadır (Anonim, 2011).

Ülkemizde ODOÜ'nün çoğunun geleneksel kullanılması, işlenmelerinin pazarlama kanalları dışındaki küçük birimlerde yapılması ve üretimlerinin mevsimlik olması nedeniyle bu ürünler ikincil orman ürünü olarak nitelendirilmiştir (Kurt vd., 2011). Bu bağlamda, Türkiye'nin ODOÜ arz, talep ve pazar durumu belirlenerek kapsamlı bir araştırma yapılmıştır. Bu araştırmaya göre; Türkiye 2000 yılında 44 milyon dolar değerinde ODOÜ ihraç ederken, 2010 yılında ihracatını 95 milyon dolara kadar

yükseltmiştir. 2010 yılında ODOÜ sektöründe en fazla ihracat yapılan ürün 28,1 milyon dolarla kekik olmuş ve bu ürünü 25,6 milyon dolarla defne yaprağı takip etmiştir. 2000-2010 yılları arasında Türkiye'nin ODOÜ ithalatı ise, 2000 yılında 26,3 milyon dolar iken 2010 yılında 55,2 milyon dolara yükselmiştir. 2010 yılında ODOÜ sektöründe Türkiye'nin en fazla ithalat yaptığı birinci sıradaki mal grubu 32,1 milyon dolarla lak, sakız, reçine ve diğer bitkisel ürünlerdir (Anonim, 2011). Diğer taraftan dünyada ODOÜ sektöründe (2006-2010 dönemi) ihracatta en büyük payı 2010 yılında 1,3 milyar dolar ile Çin almıştır. Bunu sırasıyla 939 milyon dolarla Hindistan ve 908 milyon dolarla ABD izlemektedir. Türkiye ise 196 ülke arasından 21. sıradadır. Bununla birlikte 2010 yılında dünyanın ODOÜ ithalatçısı olarak ilk sırada 1,3 milyar dolarla ABD gelmektedir. Türkiye ise dünya sıralamasında 219 ülkeden 32. sıradadır (Trademap, 2011).

ODOÜ'nün ekonomik katkısının artması için kültüre alınması ve sanayisinin kurulması, bilimsel olarak ekolojiyi bozmadan toplanması gerekmektedir (Arslan, 1986). Bu bağlamda öne çıkan önemli bir bitki türü de çalı formunda ki kuşburnudur. Kuşburnu (*Rosa canina* L.) Rusya başta olmak üzere Polonya, Almanya, Fransa, İsviçre, Bulgaristan ile Kuzey Afrika ve Batı Asya'da yetişmektedir. Türkiye'de ise kuşburnu 49.345 hektar alanda yayılış göstermektedir ve potansiyel varlığının 578.470 kg olduğu tahmin edilmektedir (Anonim, 2008). Yapılan bir araştırmaya göre Polonya'da 1967 yılında 2202 ton yabancı ve 763 ton kültüre alınmış kuşburnu elde edilmiştir. Bunun yanında bazı Doğu Avrupa ülkelerinde kuşburnu tarımı yapıldığı belirtilmiştir (İlisulu, 1992).

Doğal olarak yetişen kuşburnu bitkisi, özellikleri bakımından önemli bir türdür. Bu türün iyi adapte olduğu bölgelerden bir tanesi de Akdeniz Bölgesi'dir. Akdeniz Bölgesi'nin Sütçüler yöresinde önemli bir orman kaynağı olan kuşburnunun yayılışı ile birlikte yetişme ortamı arasındaki ilişkilerin belirlenmesi amacıyla bu tez çalışması gerçekleştirilmiştir.

2. LİTERATÜR ÖZETİ

Asli orman ağacı türleri bakımından zengin bir yapıya sahip olan ülkemizde büyük ölçüde odun hammaddesinden faydalanılmaktadır. Oysaki ormanın tamamı ele alındığı zaman ODOÜ'nün de önemli bir yeri vardır. Bu yüzden son yıllarda fonksiyonel planlama çerçevesinde ODOÜ'den faydalanılmaya başlanmıştır. Ülkemizde ODOÜ üzerine yapılmış çalışmalar incelenecek olursa;

Bayramoğlu vd. (2013), Doğu Karadeniz Bölgesi'nin ODOÜ'nün ekonomik açıdan değerlendirilmesi konusunda çalışma yapmıştır. Çalışma sonucunda 3 Orman Bölge Müdürlüğü (Giresun, Trabzon, Artvin)'nün 2005-2010 yılları arasında yaklaşık 15,03 ton ODOÜ'den 6.850,5 TL gelir elde ettiği belirlenmiştir.

Orman Genel Müdürlüğü tarafından hazırlanan “Odun Dışı Orman Ürünleri” adlı yayınında bazı önemli odun dışı orman ürünleri (Palamut meşesi, çam fıstığı, sumak, menengiç, sakız, lavanta, sahlep, geven, ıhlamur, kardelen) ve özellikleri hakkında bilgi verilmiştir (Anonim, 2013a).

Kurt vd. (2013), “Odun Dışı Orman Ürünlerinden Elde edilen Uçucu Yağların Dış Ticaret Analizi” konulu çalışmasında gül uçucu yağı ve kekik uçucu yağı en büyük ihracat ürünlerini oluşturduğu, *Mentha Piperita* uçucu yağı ile oğul otu uçucu yağının ise en yüksek ithalat ürünlerini oluşturduğu belirlenmiştir.

Acar vd. (2013), odun dışı bitkisel orman ürünlerinin (ODBOÜ) taşınmasında alternatif bir yöntem konusunda çalışma yapmıştır. Bu çalışmanın sonucuna göre ODBOÜ'nün kısa sürede bozulmasını engelleyecek ve bu ürünlerin orman içerisinden yol kenarına portatif olarak taşınmasını sağlayacak bir sistem hakkında bilgi vermiştir. Sistemin ürünlerin yerleştirileceği kafeslere ayrılmış bir ya da birkaç tane taşıma bölümü, motor ve kablo sisteminden oluştuğu belirtmiştir.

Yaman (2010), “Kaçkar Dağları Sürdürülebilir Orman Kullanımı ve Koruma Projesi Odun Dışı Orman Ürünleri” adlı eğitim programında ekolojik ve ekonomik öneme sahip ODOÜ'nün tespiti, üretimi ve pazarlanması konusunda yöre halkının bilinçlendirilmesi amaçlanmıştır. Diğer bir çalışmada ise Doğu Karadeniz

Bölgesi'nde potansiyel olan odunsu türlerden kestane, ıhlamur, kuşburnu, ayı üzümü, defne ve karayemiş hedef türler olarak seçilmiştir (Üçler vd., 2013).

Şafak ve Okan (2004), yaptığı araştırmada defne bitkisinin özellikleri ve yayılışı hakkında bilgi vermektedir. Buna göre, defne 8-10 m boylanabilen her dem yeşil bir ağaçtır. Akdeniz bitkilerinden olup, Akdeniz iklimine özgü maki denilen bitki örtüsünün karakteristik bir türüdür. Türkiye'de 600-800 m yüksekliklere kadar, Akdeniz'den başlayarak Kuzeydoğu Karadeniz'e kadar bütün kıyılarda, diğer türler içerisinde küme ve gruplar halinde yayılış gösterir. Ayrıca yapılan bir başka araştırmaya göre; defnenin yapraklarından ve meyvesinden yararlanıldığını ayrıca defne bitkisinin yaprakları kuru meyvelerin ambalajlanmasında, balık ve konservede, kuru halde et yemeklerinde ve toz halde baharat olarak kullanıldığını ortaya koymuşlardır. Bunun yanı sıra defnenin parfümeri, sabun, gıda, ilaç ve cila ile kimya sanayinde geniş bir kullanımı bulunduğunu ve toplam defne üretiminin %20'sinin sabun sanayide kullanıldığı belirtilmiştir (Konukçu, 2001).

Daha sonraki yıllarda yapılan bir araştırmaya göre de Türkiye'nin defne yaprağı ihracatında 1. olduğu, kekik üretiminde ise dünya talebinin yarısından fazlasını karşıladığı saptanmıştır. Ayrıca adaçayı, mantar, çiçek soğanları ve biberiyenin önemli ölçüde ihracat ürünleri olduğu belirtilmiştir (Kaplan, 2013).

Anşin ve Özkan (1997), fıstık çamının coğrafi yayılışı hakkında da bilgi vermişlerdir. Buna göre fıstık çamının Portekiz'den başlayıp Suriye'ye kadar yayıldığını belirtmişlerdir. Ayrıca Batı Anadolu'da Bergama, Aydın, Muğla yakınlarında geniş yayılış gösterirken, Marmara, Manavgat, Kahramanmaraş, Trabzon ve Çoruh vadisinde lokal yayılış gösterdiğini belirtmişlerdir. Yapılan başka bir araştırmada fıstıkçamının kozalak ve tohum özellikleri hakkında bilgi verilmiştir (Bilgin, 2012).

Sarı ve Oğuz (2002) yaptıkları araştırmada kekik bitkisinin özelliği, yayılışı ve kullanım alanları hakkında bilgi vermişlerdir. Buna göre, Türkiye'de *Origanum* ve *Thymus* cinsine ait türler kekik olarak isimlendirilmektedir. En çok talep edilen kekik türü İzmir kekiği (*Origanum onites*)'dir. Çok yıllık yarı çalimsı bir bitki olan İzmir kekiği, Akdeniz Bölgesi'nin bitkisi olup, Türkiye'nin batı ve Akdeniz kıyıları, Ege

Adaları ve Yunanistan'ın doğu kıyılarında 0-1000 m rakım arasında yayılış göstermektedir. Kullanım şekli; kekiğin toprak üstü aksamı biçilmektedir. Biçilen aksam kurutulduktan sonra işlemde geçirilerek kekik yağı, kekik suyu gibi ürünler haline dönüştürülmektedir. Elde edilen ürünler tıp, eczacılık ve parfümeri ve gıda sanayinde; hastalık ve zararlı ve yabancı otların kontrolünde ayrıca süs bitkisi olarak kullanılmaktadır.

Ellenberger (1998), yaptığı araştırmada İspanya'da kekik bitkisinin neredeyse tamamının doğadan toplandığını açıklamıştır. Buna göre bitkinin mayıs ve haziran aylarında makineler yardımıyla sahip oldukları tüm kök sistemiyle söküldüğü ve dolayısıyla tüm yamaçların boş kalarak erozyona karşı hassas hale geldiği belirtilmiştir. Ayrıca bitkinin tümüyle alandan uzaklaştırılmasının kök sistemini yok ettiğinden yeni sürgün oluşumuna engel olduğu ortaya koyulmuştur.

Büyükgebiz (2006), yaptığı çalışmada Akdeniz fito-coğrafik bölgesinde bulunan ve C3 karesi içerisinde yer alan "Sütçüler (Isparta) Yöresinin Odun Dışı Bitkisel Ürünleri" incelenmiştir. Yörede bir yıllık dönemde içinde Lamiaceae (adaçayı ve kekik), Lauraceae (defne) ve Rosaceae (kuşburnu) familyalarının da bulunduğu 32 familya 56 cinse ait 70 faydalı bitki taksonu tespit edilmiş ve her biri herbaryum örneği haline getirilmiştir. Bunun yanı sıra, adaçayı, kekik, defne, kuşburnu gibi bitkilerin odun dışı orman ürünü olarak kullanılan kısımları ve toplama zamanı ve şekli hakkında bilgi verilmiştir. Buna göre bu bitkilerin genellikle kullanılan kısımlarının yaprak ve meyveleri olduğu belirtilmiştir. Ayrıca bu bitkilerden adaçayının haziran-temmuz ayları arasında kekiğin mayıs ve eylül ayları arasında keskin bir bıçak yardımıyla yaprağa yakın yerden kesildiği belirtilmiştir. Defnenin hasat zamanı ise temmuz-eylül ayları arasında ve 2-3 yaşındaki yapraklı sürgünlerin kesilmesi şeklinde olduğu ve kuşburnunun (*R. canina* L.) ise meyveleri meyve olgunlaşma mevsiminde (ağustos-eylül), taç yaprakları çiçek açma mevsiminde (mayıs-temmuz) el ile toplandığı belirtilmiştir.

Ekren vd. (2007), yaptıkları araştırmada farklı biçim yüksekliklerinin, İsviçre kökenli iki tıbbi adaçayı (*Salvia officinalis* L.) genotipinin bazı agronomik ve kalite özellikleri üzerine etkileri incelenmiştir. Bununla birlikte İsviçre kökenli iki genotip kullanılmış ve bitkiler üç farklı (5, 10, 15 cm) biçim yüksekliğinden hasat edilmiştir.

Bu çalışmanın sonucuna göre arařtırmada bitki boyu (cm), yeřil herba verimi (kg/da), drog herba verimi (kg/da), drog yaprak verimi (kg/da), uçucu yağ % oranı ve bileřimi belirlenmiřtir. Deneme faktörlerinin uçucu yağ oranları üzerine etkisi önemsiz bulunmuřtur.

ODOÜ'den olan yaban mersini hakkında yapılan bir arařtırmaya göre bu bitkinin kültürü yapılan ve ekonomik öneme sahip olan yüksek boylu (*Vaccinium corymbosum* L.), alçak boylu (*Vaccinium darrowii*) ve tavřan gözü yaban mersini (*Vaccinium asheireade*) olmak üzere üç farklı türünün olduđu belirtilmiřtir. Günümüzde ticari olarak yetiřtirilen yaban mersininin Amerika bařta olmak üzere bazı Avrupa ülkelerinde binlerce hektarlık alanlarda tarımının yapıldıđının ve ayrıca 1906 yılından itibaren Amerika Birleřik Devletleri'nde bařlatılan seleksiyon çalışmalarının da bir ürünü olduđu ortaya konulmuřtur. Buna göre bu çalışmalarla seçilen yaban mersini tipleri daha sonra kendi aralarında melezlenerek yeni çeřitler elde edilmiřtir. Daha sonra ıřlah çalışmaları ile geliřtirilen yeni yaban mersini çeřitleri doğada bulunan formlarına göre çok daha iri, daha sulu ve daha tatlı meyveler verdiđini hastalık ve zararlılara da daha dayanıklı olduđu bu yönleriyle de daha geniř alanlara adapte olabildiđi belirtilmiřtir (Anonim, 2013c).

Yine ODOÜ'nün ekolojik özellikleri üzerine yapılmıř yurt içi ve yurt dıřı çalışmalar ařađıda verilmiřtir.

Akgül ve Yılmaz (1991), "Türkiye'de Fıřtık Çamının (*Pinus pinea* L.) Ekolojik Özellikleri" adlı makalelerinde fıřtık çamının ekolojik istekleri hakkında bilgi verilmiřtir. Buna göre fıřtık çamının sıcaklık ve kuraklıđa oldukça dayanıklı olduđu toprak konusunda ise kumlu ve derin topraklarda iyi geliřim gösterdiđi belirtilmiřtir. Ayrıca fıřtıkçamının 20-25 yařları arasında bol kozalak verdiđi ve yařam süresinin yaklaşık 90 yıl olduđu açıklanmıřtır.

Önemli ODOÜ'den olan menengiç üzerine yapılan bir çalışmada menengiç türünün uçucu yağ verimi ve bileřen miktarları üzerinde etkili yetiřme ortamı faktörlerinin tespiti üzerine çalışma yapılmıřtır. Bu çalışmanın sonucuna göre yetiřme ortamı faktörlerinden olan enlem, boylam, yağıř ve yükseltinin uçucu yağ verimi ve bileřen miktarları üzerinde doğrudan iliřkili olduđu tespit edilmiřtir (Gülsoy, 2011).

Özkan vd. (2012), yapmış oldukları çalışmada Göller yöresinde yer alan Yukarı Gökdere köyünde ODOÜ zenginliğinin potansiyel dağılım haritasını oluşturmak amaçlanmıştır. Bu çalışmanın sonucunda ODOÜ zenginliğinin coğrafi dağılımında en önemli değişkenler yıllık ortalama sıcaklık, radyasyon indeksi, arazi eğim derecesi ve yükselti olduğunu dolayısıyla bu değişkenler itibariyle kuzey-güney doğrultusu boyunca yörenin doğu kısmında potansiyel ODOÜ zenginliğinin en fazla olduğu belirtilmiştir.

Çalışmaya konu olan ODOÜ'den olan kuşburnu için yapılmış bazı çalışmalar şu şekildedir.

Kuşburnu (*R. canina* L.) halk arasında İtburnu, Yabangülü, Deligül, Gülburnu vs. olarak adlandırılır. Yöresel olarak farklı şekillerde adlandırılan bu tür bilimsel olarak Rosaceae familyasından Rosa türüne ait bir bitkidir. Anavatanı Batı Asya, Anadolu, Kuzey ve Orta Avrupa olan kuşburnu (*R. canina* L.) çalı formunda, kışın yaprağını döken bir bitki türüdür. 1,5-3,5 m uzunluğunda dik büyüeyebilen bir çalıdır. Dünya'da 70 kadar Rosa türünün olduğu tespit edilmiştir. Ülkemizde ise doğal olarak bulunan Rosa türlerinin sayısının 24 adet olduğu, ayrıca 5 tür, 2 varyete ve 15 melezin bulunduğu bildirilmektedir (Arslan vd., 1996).

Kuşburnu (*R. canina* L.) türlerinde çiçekler salkım şeklindedir. Çiçek rengi, tür ve yetiştirme şartlarına göre beyaz, pembe, kırmızı ve sarıdır. Çiçeklenme 15-25 gün sürebilir, çiçeklenme zamanı ise 5.-7. aylarda olmaktadır (Kutbay ve Kılınç, 1996).

Kuşburnu (*R. canina* L.) türlerinde meyveler ise şekil olarak yuvarlak ya da yumurta biçiminde, 3 cm uzunluğunda etli, parlak kırmızı renktedir. Eylül ayında olgunlaşır ve bazen aralık ayını geçerek bir sonraki yıllara kadar dallarda kalabilir. Kuşburnu (*R. canina* L.) türlerinin meyveleri seleksiyon çalışmalarında oldukça önemli bir kriterdir. Ülkemizde doğal olarak yetişen Rosa türlerinde meyve uzunluğu 0,5-2,5 cm arasında değiştiği görülmüştür (Arslan ve Gürbüz, 1996).

Yapılan bir araştırmada kuşburnu (*R. canina* L.) meyvelerinin orman tali ürünleri arasında önemli bir yeri olduğu belirtilmiştir. Buna göre kuşburnunun (*R. canina* L.) diğer ürünlerden ayrıcalıklı olmasını içerdiği mineral madde ve vitaminler yönünden

gıda ve ilaç sanayinde aranan bir bitki olmasına bağlamışlardır. Yine aynı araştırmacıların yaptıkları çalışmada kuşburnu (*R. canina* L.) meyvelerinin marmelat, reçel, meyve suyu, bitkisel çay ve bebek mamalarının yapımında kullanıldığını; ayrıca C vitamini bakımından fakir olan diğer meyve ve sebze sularının da vitamince zenginleştirilmesinde kullanıldığını belirtmişlerdir (Akyüz vd., 1996).

Genç (2008), yaptığı çalışmada kuşburnu (*R. canina* L.) bitkisinin tohum özellikleri hakkında bilgi vermiştir. Buna göre bir meyvede 20-40 adet tohum bulunduğunu ve yüksek miktarda absisik asit içerdiğini belirtmiştir.

Koçan (2010), yaptığı araştırmada Anadolu florasında çok yaygın olan kuşburnu (*R. canina* L.) bitkisinin farklı bakış açılarına (süs bitkisi değeri, besin değeri, meyvelerinin sağlık amacı ile kullanımı, adaptasyon özelliği, peyzaj tasarımlarında kullanımı vb.) göre önemi vurgulanmaya çalışmıştır. Bu doğrultuda, Türkiye’de doğal olarak yetişen kuşburnu (*R. canina* L.) bitkisinin morfolojik özelliklerini incelenmiş ve bitkinin peyzaj düzenleme çalışmaları ile farklı alanlarda kullanımını irdelemiştir.

Farklı araştırmacılar tarafından yapılan bir araştırmada ülkemizde tıbbi ve aromatik bitkiler arasında önemli bir yere sahip olan adaçayının içerdiği farklı tuz kaynaklarının (NaCl, KCl, MgSO₄, MgCl₂, Na₂SO₄ ve CaCl₂) bitki gelişimi üzerindeki etkisi incelenmiştir. Çalışma sonuçlarına göre; incelenen bitki boyu, yaş ve kuru yaprak ağırlığı, yaş ve kuru kök ağırlığı, kuru gövde ağırlığı, yaş ve kuru herba ağırlığının farklı tuz kaynaklarından ve dozlarından istatistiksel olarak önemli oranda etkilendiği belirlenmiştir. Ancak, yaş gövde ve petiyol ağırlıklarına tuz uygulamalarının önemli bir etkisi olmamıştır (Kutbay ve Kılınç, 1996; Kulak, 2011).

Güner vd. (2011), makalelerinde karaçamın verimliliği ile odunsu tür zenginliği arasında pozitif yönde bir ilişki olduğunu tespit etmiştir. Bu sonucunda *R. canina* L., *Cistus laurifolus*, *Quercus vulcanica* ve *Crataegus orientalis* türlerinin zengin bulunduğu alanlarda, karaçamın iyi gelişim gösterdiği bildirilmiştir.

Özrenk vd. (2011), tarafından yapılan bu çalışmada Erzincan yöresinde doğal olarak yetişen kuşburnu meyvelerinde görülen 15 farklı genotipe sahip olgun meyvelerde organik asit, şeker ve mineral madde içerikleri tespit edilmiştir. Organik asit içeriği yönünden malik asidin, şeker içeriği yönünden ise früktozun yüksek seviyede olduğu ortaya koyulmuştur. Ayrıca araştırmada meyvelerin besin elementleri içerikleri bakımından yüksekten düşük seviyeye doğru K, Mg, P, Mn, Fe, Cu ve Zn şeklinde olduğu belirlenmiştir.

Özkan vd. (2012), makalelerinde Göller yöresinde ticari öneme sahip odun dışı orman ürünlerinden en önemli türlerin *Salvia tomentosa*, *Sorbus umbellate* var. *umbellate*, *O. onites*, *R. canina* L., *Phlomis grandiflora* var. *grandiflora* ve *Pistacia terebinthus* subsp. *palaestina* olduğunu belirtmişlerdir.

Yapılan bir araştırmaya göre kuşburnunun (*R. canina* L.) saklama koşulları hakkında bilgi verilmiştir. Buna göre kuşburnu meyveleri kullanılıncaya kadar ısınma ve yanmayı önlemek için 30 cm kalınlığı geçmeyecek şekilde serin bir yere yayılarak muhafaza edilmesi gerektiği önerilmiştir. Bu şekilde depolama yönteminin C vitaminin korunması açısından uygun olduğu önerilmiştir (Anonim, 2013b).

Kuşburnunun (*R. canina* L.) ayrıca ekolojik faydaları da vardır. Kök yapısından dolayı erozyonu önleme gibi önemli bir fonksiyonu vardır. Bununla birlikte toprağın su tutma kapasitesini de artırır. Buna göre yapılan bir çalışmada kuşburnunun geniş ve yüzeye yakın, yayılıcı köklere sahip olduğunu bu durumun toprağın geçirgenliğini arttırdığını ve böylece erozyonu önlemede çok büyük bir etkiye sahip olduğunu bildirmektedir. Yine aynı araştırmacı tarafından yapılan bu çalışmada, kuşburnunun geniş tepe çatısı ve kök boğazından itibaren başlayan dalları ile de keklik, tavşan, tilki vb. hayvanları düşmanlarından ve olumsuz iklim koşullarından koruduğunu belirtmektedir (Yılmaz, 1996).

Karatepe (2006), tarafından yapılan araştırmada ile kuşburnunun (*R. canina* L.) Eğirdir Gölü Havzası'ndaki doğal yayılış alanlarına ait bazı ekolojik özellikleri hakkında bilgi vermiştir. Bu araştırmanın sonucunda kuşburnunun (*R. canina* L.) Eğirdir Gölü Havzası'nda oldukça farklı anakaya ve topraklar üzerinde 1750 m yükseltiye kadar yayılış gösterebildiği saptanmıştır (Özer, 2006).

3.2. İklim

Sütçüler yöresi Akdeniz iklim ve karasal iklim arasında bir geçiş iklimi özelliği taşımaktadır. Çalışma alanının yıllık ortalama sıcaklığı 14,1°C'dir. 23,8°C ile en sıcak aylar temmuz ve ağustos iken 3,3°C ile en soğuk ay ocak ayıdır. Yörede en yüksek sıcaklık temmuz ayında 37,2°C, en düşük sıcaklık -12,2°C ile şubat ayında ölçülmüştür. Çalışma alanının yıllık ortalama yağış miktarı 950,1 mm'dir. Ortalama bağıl nem miktarı %54'tür. Yıl içerisinde yörede en düşük bağıl nem temmuz, ağustos ve eylül aylarında görülmüştür. Kasım, aralık, ocak, şubat, mart ve nisan aylarında donlu günler yaşanmaktadır (DMİ, 2006).

3.3. Jeolojik Yapısı

Çalışma alanı olarak belirlenen Sütçüler yöresinin büyük bir kısmı dağlık yapıda olmasından dolayı yüksek eğim ve engebeli araziler oldukça fazladır. Bundan ötürü genellikle zayıf toprak özellikleri görülmektedir (Sargın, 2006). Yörede bazı alanlarda sığ ve çok sığ toprak özelliklerine rastlanırken, derin toprak özellikleri görülen alanlar da mevcuttur. Arazinin engebeli bir yapıya sahip olması geniş düzlüklerin varlığını azaltmıştır. Dedegöl Dağı (2998 m), Sarp Dağ (2545 m), Anamas Dağı (2110 m), Kartoz-Dumanlı Dağ (2260 m), Bozburun Dağı (2504 m), Karadiken dağı, Erenler dağı, Karadağ, Akpınar dağı ve Türkmen dağı yörenin önemli dağlarıdır (Akbulut, 1980; Bozcu, 1985; Korkmaz, 1998). Sütçüler yöresinde kireçtaşı (%36), hemen ardından konglomera ve kumtaşı (%24) en fazla büyüklüğe sahip anakaya tipleridir.

3.4. Bitki Örtüsü

Sütçüler yöresinde yaklaşık olarak 63 familya ve 225 cinse bağlı toplam 478 tür tespit edilmiştir. Bitki türlerinin %55'inden fazlası Fabaceae, Asteraceae, Caryophyllaceae, Lamiaceae, Brassicaceae, Boraginaceae, Rosaceae, Apiaceae, Scrophulariaceae ve Ranunculaceae familyalarına aittir. Bitki türleri bakımından zengin olan çalışma alanında 118 (%25) tane endemik tür bulunmaktadır (Özçelik ve Korkmaz, 2002).

3.5. Arazi Çalışmaları

İlk olarak çalışma alanı içerisinde örnekleme yapılması düşünülen muhtemel alanların tespit edilmesi için keşif gezileri gerçekleştirilmiştir. Ardından arazi envanter çalışmalarına başlanmıştır. Keşif gezileri ile gidilmesi düşünülen muhtemel yerler göz önünde tutularak yöreyi temsil edecek şekilde rastgele örnek alanlar alınmıştır. Alınan örnek alanlar 20×20 m büyüklüğe sahiptir. Toplamda 380 örnek alandan envanter çalışması yapılarak veri toplanmıştır. Her örnek alandan enlem ve boylam değerleri GPS, bakı pusula, eğim dereceleri eğimölçer ve örnek alan büyüklükleri çelik şerit metre yardımıyla ölçülmüştür. Envanter çalışması yapılan kuşburnu türü için; örnek alan içerisinde türün var olup olmama durumu (var/yok verisi) kaydedilmiştir. Örnek alanlarda yapılan bütün kayıtlar oluşturulan arazi envanter karnesine işlenmiştir.

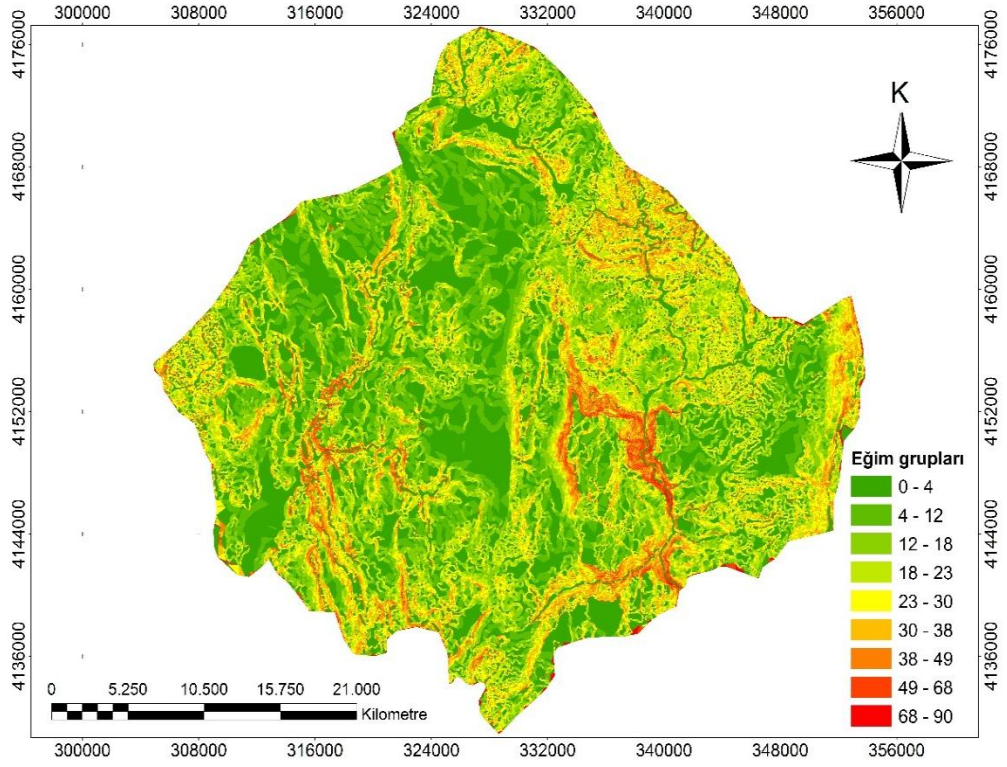
3.6. Çalışmada Kullanılan Veriler

Bu çalışmada, dağılım modellerinin oluşturulması için dijital özellikli çevresel değişkenler ile iklim değişkenleri kullanılmıştır. Bahsi geçen bu değişkenler Şentürk (2012), tarafından yapılan “Sütçüler Yöresinde Asli Orman Ağacı Türlerinin Potansiyel Yayılış Alanlarının Modellenmesi” başlıklı doktora tezinde hazırlanmıştır. Araştırmacı, iklim değişkenlerini Hijmans vd. (2005), tarafından hazırlanan ve ücretsiz olarak kullanıma sunulan <http://www.worldclim.org> internet adresinden indirmiştir. Bu çalışmada kullanılacak olan iklim verileri ve onlara ait kodları Çizelge 3.1’de verilmiştir.

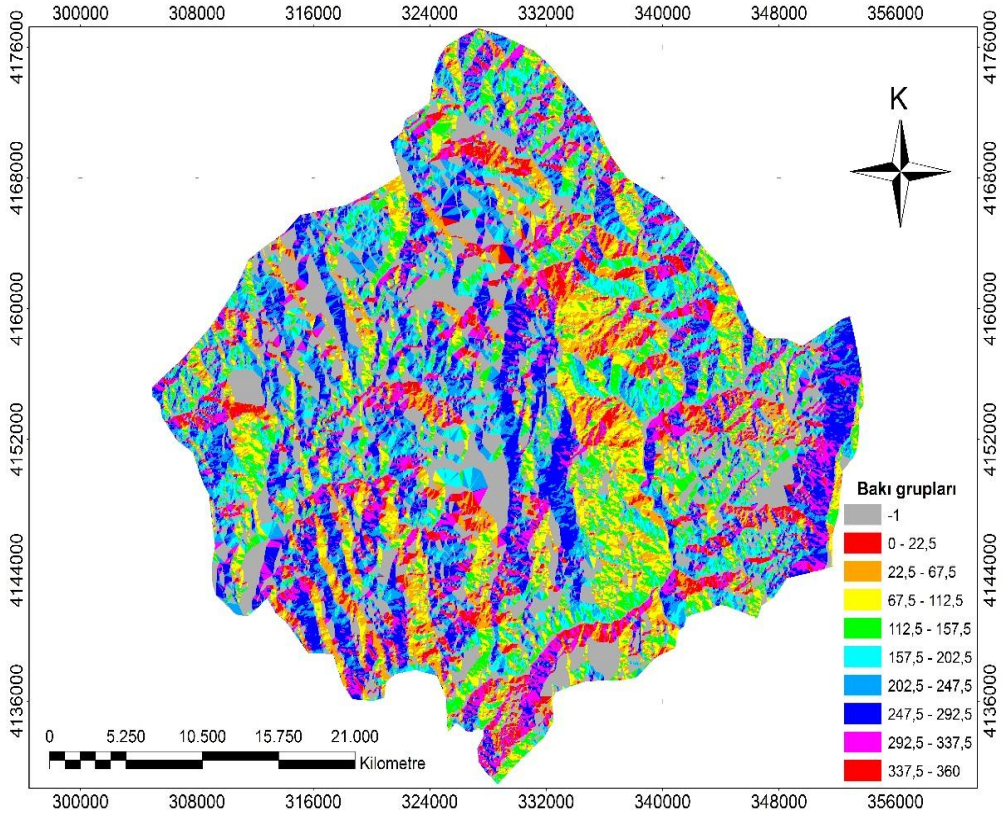
Çizelge 3.1. İklim değişkenlerine ait kodlar ve açıklamaları

| İklim değişkenlerinin açıklamaları | İklim değişken kodu |
|---|---------------------|
| Yıllık ortalama sıcaklık | bio1 |
| Gündüz sınıf ortalaması | bio2 |
| Eş ısı | bio3 |
| Mevsimsel sıcaklık | bio4 |
| En sıcak ayın en yüksek sıcaklığı | bio5 |
| En soğuk ayın en düşük sıcaklığı | bio6 |
| Yıllık sıcaklık | bio7 |
| En nemli ilk üç ayın ortalama sıcaklığı | bio8 |
| En kurak ilk üç ayın ortalama sıcaklığı | bio9 |
| En ılık ilk üç ayın ortalama sıcaklığı | bio10 |
| En soğuk ilk üç ayın ortalama sıcaklığı | bio11 |
| Yıllık yağış | bio12 |
| En nemli ayın yağışı | bio13 |
| En kurak ayın yağışı | bio14 |
| Mevsimsel yağış | bio15 |
| En nemli ilk üç ayın yağışı | bio16 |
| En kuru ilk üç ayın yağışı | bio17 |
| En ılık ilk üç ayın yağışı | bio18 |
| En soğuk ilk üç ayın yağışı | bio19 |

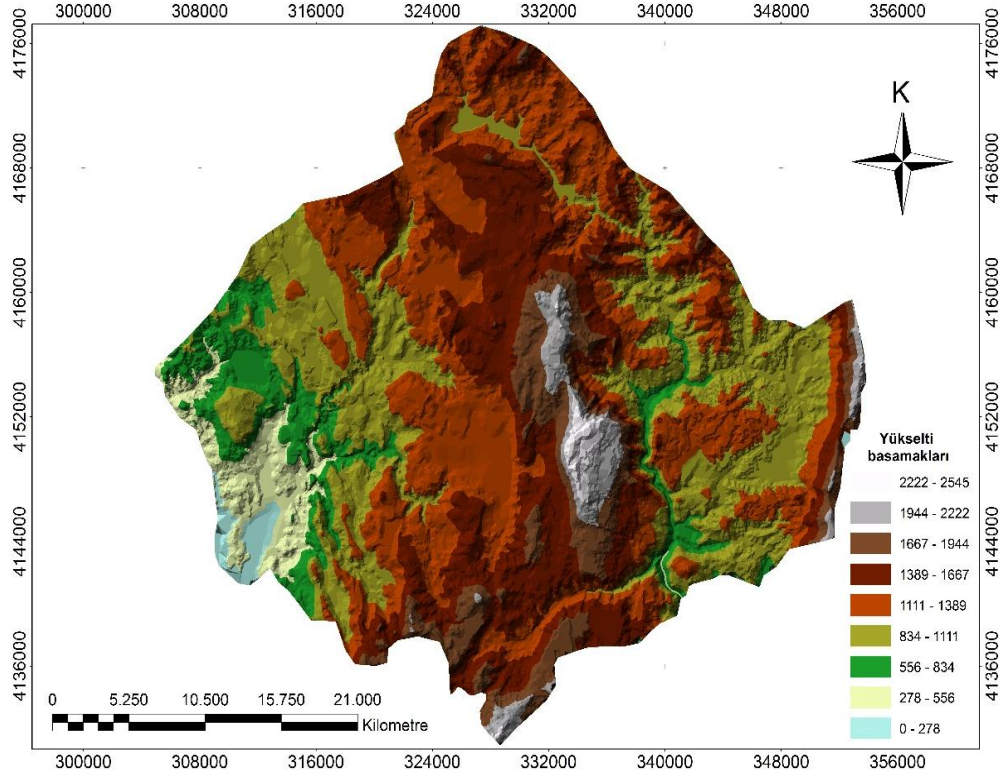
Çevresel değişkenlerde Şentürk (2012), tarafından *ArcGIS9.3* programında çeşitli işlemler yardımıyla oluşturulmuştur. İlk olarak *ArcGIS9.3* programında yöreye ait eşyükselti eğrileri kullanarak Sayısal Yükseklik Modeli (SYM) oluşturmuştur. Ardından bu SYM esas alarak eğim, bakı ve yükselti basamakları değişkenlerini elde etmiştir (Şekil 3.2, Şekil 3.3 ve Şekil 3.4).



Şekil 3.2. Çalışma alanına ait eğim haritası



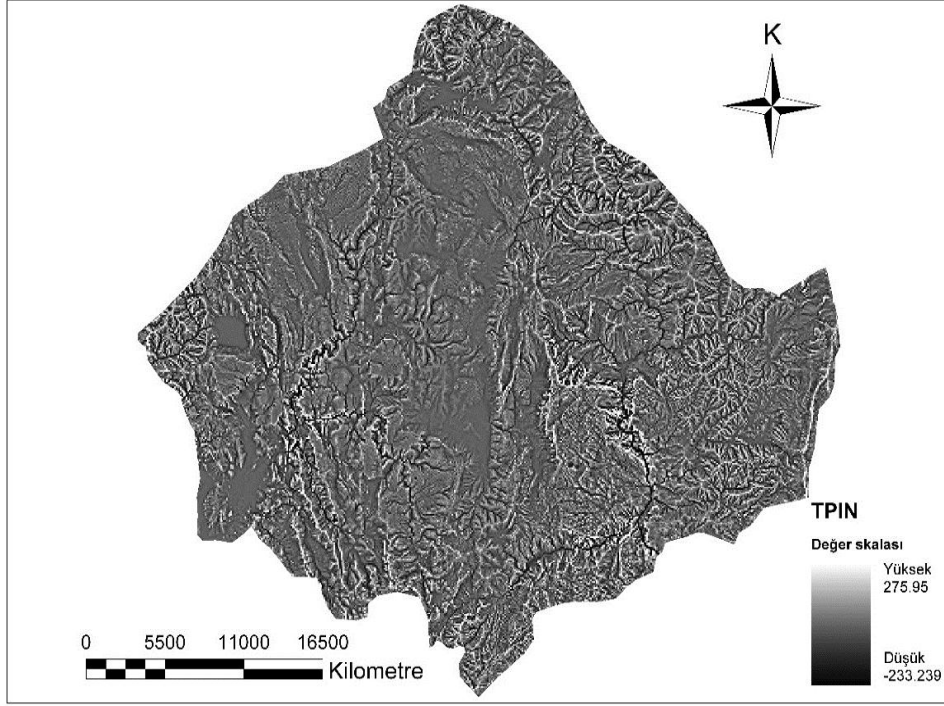
Şekil 3.3. Çalışma alanına ait bakı haritası



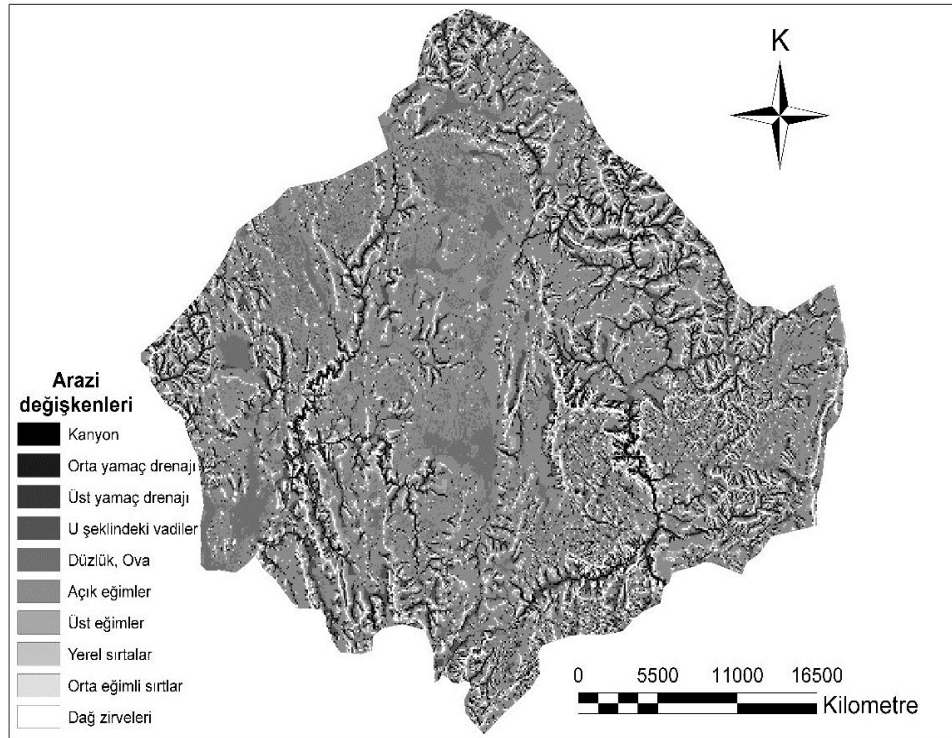
Şekil 3.4. Çalışma alanına ait yükselti basamakları haritası

Araştırmacı, yükselti haritasını kullanılarak aynı programda Jenness (2006), tarafından oluşturulan eklenti yardımıyla Topoğrafik Pozisyon İndeksi (TOPOZIN) haritasını oluşturmuştur (Şekil 3.5). Daha sonrasında oluşturduğu farklı iki ölçekteki TOPOZIN haritasını kullanarak Arazi Formu (ARAFOR) haritasını elde etmiştir (Şekil 3.6).

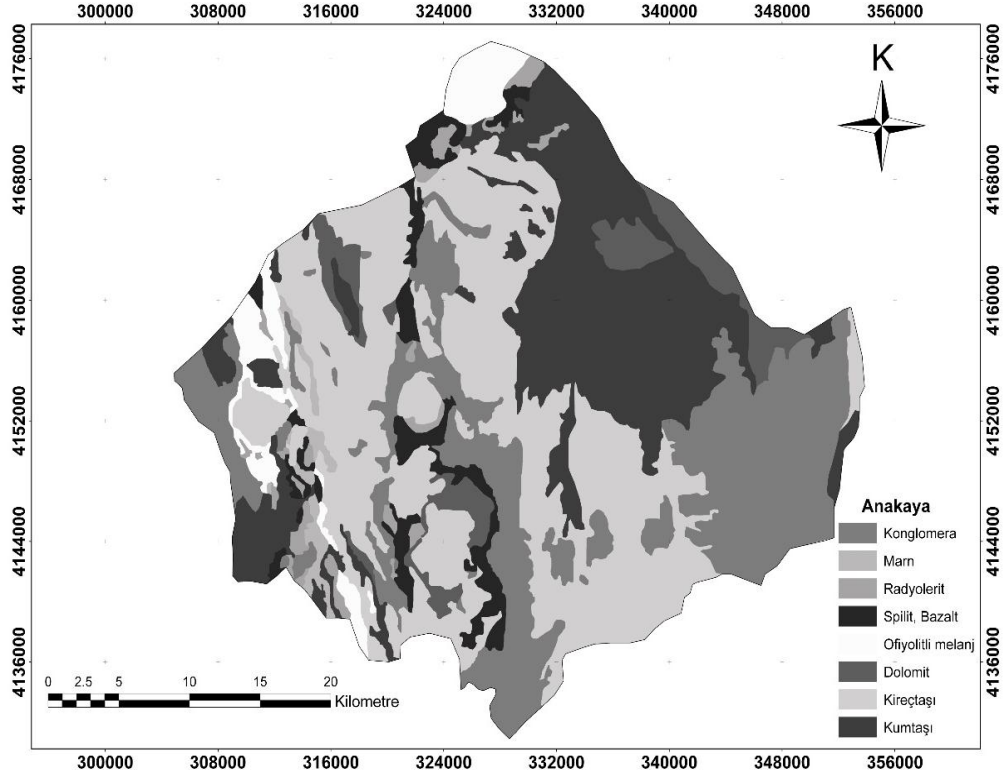
Araştırmacı, Maden Tetkik ve Arama Genel Müdürlüğünden (MTA) çalışma alanının sınırlarını içerisine alan anakaya haritası temin etmiştir. Geometrik dönüşümlerini yaptıktan sonra anakaya tiplerine göre altlık haritasını hazırlamıştır (Şekil 3.7). Poligon özelliğine sahip vektör uzantılı altlık haritanın öznitelik dosyasını anakaya tiplerine göre oluşturmuştur.



Şekil 3.5. Çalışma alanına ait TOPOZIN haritası



Şekil 3.6. Çalışma alanına ait ARAFOR haritası



Şekil 3.7. Çalışma alanına ait anakaya haritası

Son olarak eğim ve bakı değerlerini kullanarak radyasyon indeksini (RADIND) Denklem 3.1, sıcaklık indeksini (SICIND) Denklem 3.2 ve bakı uygunluk indeksini (BAKIND) denklem 3.3 yardımıyla hesaplamıştır.

RADIND sadece bakı değerlerini kullanarak aşağıdaki formül ile hesaplanmaktadır (Denklem 3.1).

$$RADIND = \frac{[1 - \cos\left(\left(\frac{\pi}{180}\right) \times (\theta - 30)\right)]}{2} \quad (3.1)$$

Burada, θ bakı değerini ifade etmektedir. Bu dönüşüm 0–1 aralığında değişmektedir. Kuzey-kuzeydoğu yönündeki bakılarda “0” değerini ve güney-güneybatı yamaçlarına ise “1” değerini almaktadır (Moisen ve Frescino, 2002; Aertsen vd., 2010; Wei vd., 2010; Brown ve Ahl, 2011).

SICIND hesaplanırken bakı ve eğim değerleri kullanılmaktadır (Denklem 3.2). Burada, $BAK_{maks} = 202,5^\circ$ ifade etmektedir. SICIND değerleri -1 ile 1 arasında değişmektedir.

$$SCIN = \text{COS}(\text{RADYAN}((\text{BAKI}) - \text{BAKI}_{\text{maks}})) \times (\text{TAN}(\text{RADYAN}(\text{EĞİM}))) \quad (3.2)$$

$\text{BAKI}_{\text{maks}}$ değeri olan $202,5^\circ$ sıcak güney yönü temsil etmektedir. Bu bakı derecesi güney batıya bakan yamaçlardaki en büyük ısı yükü olarak varsayılmaktadır (Austrheim vd., 1999; Zelený ve Chytrý, 2007; Pal Axel vd., 2009).

BAKIND herhangi bir noktaya ait bakı değerlerini dikkate alınarak aşağıda verilen Denklem 3.3 yardımıyla hesaplanmaktadır. Burada, $\text{BAKI}_{\text{maks}} = 202,5^\circ$ ifade etmektedir. Bu dönüşüm 0 ile +2 arasında değişim göstermektedir (Ewald, 2000; Vanderpuye vd., 2002).

$$\text{BUIN} = \text{COS}(\text{RADYAN}(\text{BAKI}_{\text{maks}} - \text{BAKI})) + 1 \quad (3.3)$$

Şentürk (2012), tarafından oluşturulan eğim, bakı, yükselti, TOPOZIN, ARAFOR haritaları Esri Grid uzantısına sahip olduğu için *ArcGIS9.3* programında dönüştürme seçenekleri yardımıyla raster uzantılı haritaları poligon özellikli vektör formatına (.shp uzantılı) dönüştürmüştür. Aynı şekilde iklim değişkenlerine ait tüm haritaları raster formatından poligon özellikli vektör formatına dönüştürmüştür. Vektör formatına dönüştürülen tüm iklim ve arazi değişkenlerinin sayısal değerlerinin elde edilmesi gerekmektedir. Bu yüzden araştırmacı *ArcGIS9.3* programında Hawth's Tool eklentisindeki "poligon özelliğinde ızgara şebekesi oluştur" komutu ile 100×100 m hücre büyüklüğünde ızgara şebekesi oluşturmuştur. Bu ızgara şebekesi yardımıyla tüm değişkenlere (iklim ve arazi) "Intersect" işlemi uygulamıştır. Bu işlemden sonra değişkenlerin hücre sayıları ve büyüklükleri eşit olmadığı için aynı programı kullanarak yine tüm değişkenlere "Dissolve" işlemi uygulamıştır. Böylece tüm değişkenlerin hücre sayıları ve büyüklükleri eşitlenmiştir.

Tüm değişkenlere yapılan "Intersect" ve "Dissolve" işlemleri ile araştırmacı, düzensiz sayıdaki ve büyüklükteki değişkenlerinden, eşit sayıda ve eşit hücre büyüklüğünde değişkenler elde etmiştir ve bunların öznitelik dosyalarındaki sayısal değerleri istatistiksel işlemlerde kullanılmak üzere hazır hale getirilmiştir.

Arařtırmacı yukarıda belirtilen deęiřkenleri elde ettikten sonra bu deęiřkenlere ait sayısal deęerlerin istatistiksel analizlerde kullanılması için ızgara řebekesinin üzerine rnek alanların noktasal verilerini katman olarak eklenmiřtir. Ardından tm deęiřkenler ile nokta zellikli vektr dosyasını *ArcGIS9.3* programında “Intersect” iřlemi yapmıřtır. Bu řekilde tm deęiřkenlerin sayısal deęerlerini elde etmiřtir. Son olarak bu deęerleri dzenleyerek Microsoft Ofis Excel 2010 programında kullanılacak řekilde oluřturmuřtur (izelge A.1., izelge A.2.).

3.7. İstatistiksel Deęerlendirme

3.7.1. Korelasyon analizi

İkili ya da oklu iliřkilerin nemini ve ynn belirlemek iin yapılan bir testtir. Bu teste deęiřkenlerin baęımlı yada baęımsız olarak tanıtılmasına bakılmaksızın iki deęiřken arasındaki iliřki korelasyon katsayısı ile hesaplanmaktadır (zdamar, 1997). Yapılan alıřmada iklim deęiřkenlerinin birbirleri arasındaki iliřkinin belirlenmesi amacıyla kullanılmıřtır.

3.7.2. Temel bileřenler analizi

alıřmada kullanılan iklim deęiřkenleri kendi aralarından yksek iliřki gstermektedir. Bundan dolayı yapılacak olan analizlerde elde edilecek olan modellerin daha gvenilir ıkması ve oklu baęlantı problemini ortadan kaldırılması iin temel bileřenler analizi uygulanmıřtır. Bylece ok sayıdaki iklim deęiřkenleri ierisinde birbirlerini temsil edebilecek deęiřken yada deęiřkenler kendi aralarındaki iliřkileri koruyarak daha az deęiřkene indirgenmiřtir (Yazar vd., 2009).

3.7.3. Wilcoxon sıra istatistięi testi

Yapılan alıřmada baęımlı deęiřken kuřburnu trnn potansiyel daęılım modellemesinde etkili olan deęiřkenlerin belirlenmesinde kullanılmıřtır. Bu test baęımlı deęiřkene gre gruplar arasında farklılıkların olup olmadıęını ya da benzer daęılım gsterip gstermedięini belirlemek amacıyla uygulanmaktadır (zdamar, 2010).

3.7.4. Nitelikler arası ilişki analizi

SPSS 17 programı kullanılarak bağımlı değişken kuşburnu türü ile var yok veri matrisine nitelikler arası ilişki analizi uygulanmıştır. C3 formülünden yararlanılarak ilişkili katsayı hesaplanmıştır. Değişkenlerin ki kare değerleri ve önem seviyeleri Denklem 3.6 yardımıyla hesaplanarak belirlenmiştir. Ardından istatistiksel olarak önemli çıkan değişkenlere ait ilişkilerin negatif ya da pozitif yönlü olup olmadıkları tespit edilmiştir. Son olarak, Denklem 3.7 yardımıyla C3 değerleri elde edilmiştir (Özkan vd., 2007).

$$x^2 = \frac{(ad - bc)^2 n}{(a + b)(a + c)(c + d)(b + d)} \quad (3.6)$$

$$C3 = \frac{4(ad-bc)}{(a+d)^2 + (b+c)^2} \quad (3.7)$$

3.7.5. Lojistik regresyon analizi

Kuşburnu türünün potansiyel dağılım modellerinin belirlenmesi amacıyla en az değişken ile en iyi uyumu gösterebilecek modellerin elde edilmesinde lojistik regresyon analizi kullanılmıştır. Veri setleri kullanılarak bir olayın meydana gelme olasılığının tahmin edilmesinde kullanılan bir yöntemdir. Bu yöntemde belirleyici değişkenlerin sayısal yada kategorik özelliklere sahip olması durumunda analiz gerçekleştirilmektedir (Felicísimo vd., 2004). Denklem 3.8 ve Denklem 3.9 yardımıyla olasılık değerleri hesaplanmaktadır. Burada, Z bağımsız değişkenlerin doğrusal bileşimleri olup değişkenlerinden oluşmaktadır. Var yok verileri arasındaki doğrusal tahmin değerlerini sınırlamak için ters dönüşüm uygulanmaktadır (Robertson vd., 2003).

$$Z = \beta_0 + \beta_1 X_1 + \beta_2 X_2 + \dots + \beta_p X_p \quad (3.8)$$

$$\rho(Y) = \frac{e^z}{1 + e^z} = \frac{1}{1 + e^{-z}} \quad (3.9)$$

3.7.6. Ayırma analizi

Ayırma analizi tekniđi kullanılarak belirlenen ayırıcı fonksiyonlar guruplar arasındaki farklılıđa etki eden tahmin deđiřkenlerini tespit etmektedir. Bu deđiřkenler ayırıcı deđiřken adını almaktadır (Ünsal, 2000). Bu alıřmada kuřburnu türüne ait var yok deđerleri ile iklim ve arazi deđiřkenleri arasında Stepwise seçeneđi kullanılarak ayırma analizi gerçekleştirilmiřtir.

3.7.7. ROC eđrisi

Lojistik regresyon analizi ve ayırma analizi sonucunda elde edilen modellerin dođruluklarının veya geçerliliklerinin belirlenmesi amacıyla ROC (Receiver Operating Characteristics Curve) eđrisi kullanılmıřtır. ROC eđrisi optimal duyarlılıđın ve optimal özgülüđün belirlenmesi için uygun kesim noktalarının tespit edilmesini sađlamaktadır (Özdamar, 2001).

4. ARAŞTIRMA BULGULARI

Arazi envanter çalışmasında toplanan bütün veriler düzenlenmiştir. Yapılan çalışmada kuşburnu türünün olduğu ve olmadığı yerlerin enlem boylam değerleri alınarak kaydedilmiştir. Toplam 139 noktada kuşburnu türüne rastlanırken, 241 noktada kuşburnu türüne rastlanmamıştır. Bu veriler istatistik analizlerde kullanmak için var/yok şeklinde düzenlenmiştir. Yukarıda materyal ve yöntem kısmında anlatıldığı gibi Şentürk (2012), tarafından hazırlanan çalışma alanına ait altlık haritalar ve arazi envanter çalışması sonucu elde edilen var yok verileri çakıştırılarak veri matrisi oluşturulmuştur. Ardından istatistiksel analizlere geçilmiştir. İstatistiksel analizler SPSS 20 programı kullanılarak gerçekleştirilmiştir. Yapılan istatistiksel analizler aşağıda alt başlıklar halinde açıklanmıştır.

4.1. İklim Değişkenlerine Uygulanan Korelasyon ve Temel Bileşenler Analizi Sonuçları

İklim değişkenleri birbirleri ile yüksek ilişki göstermektedir (Çizelge A.3). İlişkinin güçlü olmasından dolayı iklim değişkenlerinin tamamının analize sokulmasının bir anlamı yoktur. Ayrıca bu durum çoklu bağlantı problemini de beraberinde getirmektedir. Bu yüzden iklim değişkenlerine temel bileşenler analizi uygulanmıştır (Çizelge 4.2, Çizelge 4.3). Bu analiz sonucunda iki bileşen oluşmuştur (Çizelge 4.2). Birinci bileşen varyansın %80.59'unu açıklamaktadır. İklim değişkenleri içerisinde bio11 değişkeni diğerlerinden daha yüksek katsayıya sahiptir ve diğer değişkenleri temsil etmektedir (Çizelge 4.3). Bu yüzden diğer istatistik analizlerde iklim değişkenlerinin tamamı yerine sadece belirlenen bu iklim değişkenleri kullanılmıştır.

Çizelge 4.2. Temel bileşenler analizi sonuçları

| Bileşen | Toplam | Varyansın yüzdesi | Kümülatif yüzdesi | Toplam | Varyansın yüzdesi | Kümülatif yüzdesi |
|---------|-------------|-------------------|-------------------|--------|-------------------|-------------------|
| z | 15,314 | 80,599 | 80,599 | 15,314 | 80,599 | 80,599 |
| 2 | 3,104 | 16,339 | 96,938 | 3,104 | 16,339 | 96,938 |
| 3 | ,402 | 2,118 | 99,055 | | | |
| 4 | ,091 | ,480 | 99,535 | | | |
| 5 | ,039 | ,205 | 99,740 | | | |
| 6 | ,022 | ,118 | 99,859 | | | |
| 7 | ,010 | ,052 | 99,911 | | | |
| 8 | ,006 | ,032 | 99,943 | | | |
| 9 | ,004 | ,020 | 99,963 | | | |
| 10 | ,002 | ,011 | 99,975 | | | |
| 11 | ,002 | ,010 | 99,984 | | | |
| 12 | ,001 | ,007 | 99,991 | | | |
| 13 | ,001 | ,004 | 99,995 | | | |
| 14 | ,000 | ,002 | 99,997 | | | |
| 15 | ,000 | ,001 | 99,998 | | | |
| 16 | ,000 | ,001 | 99,999 | | | |
| 17 | ,000 | ,001 | 100,000 | | | |
| 18 | 1,714E-016 | 9,023E-016 | 100,000 | | | |
| 19 | -7,892E-019 | -4,154E-018 | 100,000 | | | |

Çizelge 4.3. Temel bileşenler analizi sonuçları

| Değişkenlere ait kodlar | Bileşen 1 | Bileşen 2 | Değişkenlere ait kodlar | Bileşen 1 | Bileşen 2 |
|----------------------------|-----------|-----------|----------------------------|--------------|-----------|
| bio1 | 0,981 | -0,183 | bio11 | 0,984 | -0,162 |
| bio2 | 0,780 | -0,607 | bio12 | 0,383 | 0,921 |
| bio3 | 0,901 | -0,329 | bio13 | 0,826 | 0,558 |
| bio4 | -0,959 | 0,067 | bio14 | -0,969 | 0,087 |
| bio5 | 0,963 | -0,265 | bio15 | 0,950 | 0,270 |
| bio6 | 0,984 | -0,162 | bio16 | 0,774 | 0,621 |
| bio7 | -0,687 | -0,572 | bio17 | -0,979 | 0,119 |
| bio8 | 0,984 | -0,162 | bio18 | -0,983 | 0,091 |
| bio9 | 0,980 | -0,188 | bio19 | 0,774 | 0,621 |
| bio10 | 0,976 | -0,208 | | | |

4.2. Wilcoxon Sıra İstatistiği Sonuçları

Bağımlı değişken ile iklim ve bazı çevresel değişkenler arasında uygulanan Wilcoxon sıra istatistiği sonucunda YUKSELTİ, SICIND, RADIND, BAKIND ve bio11 kuşburnu türünün potansiyel dağılımında önemli değişkenler olarak görülmektedir (Çizelge 4.4).

Çizelge 4.4. Wilcoxon sıra istatistiği sonucunda elde edilen önem seviyeleri

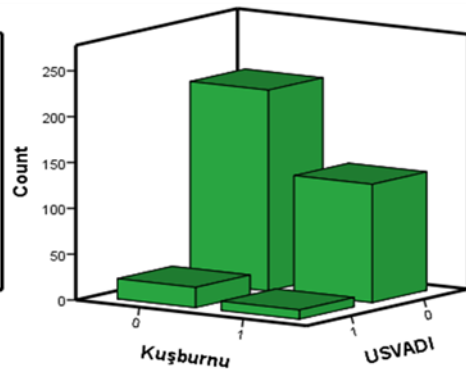
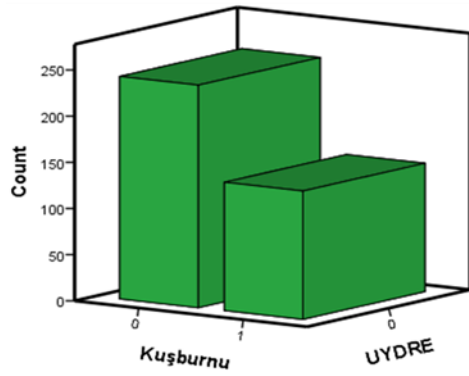
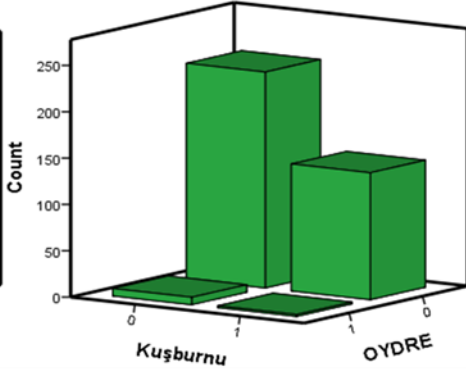
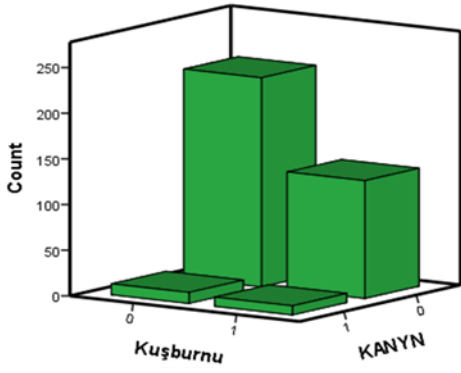
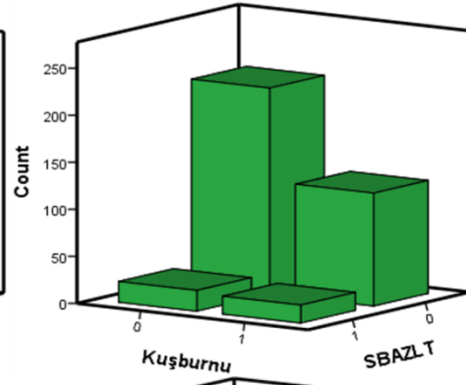
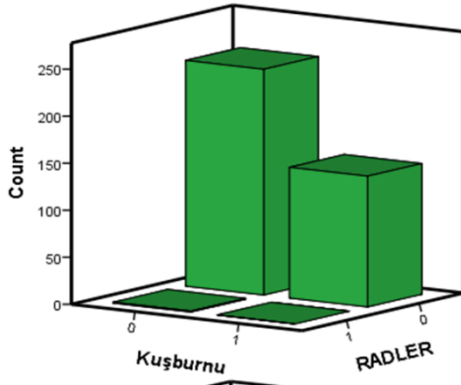
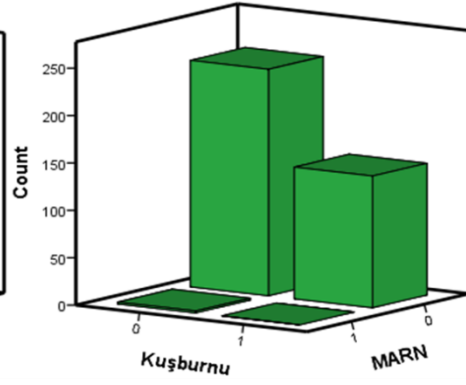
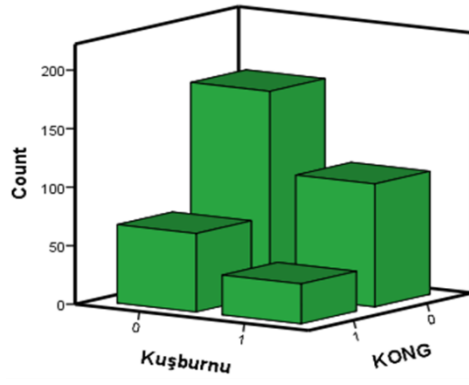
| | W | Z | P |
|-----------------|----------|----------|--------------|
| EGIM | 44954 | -0,928 | 0,353 |
| BAKI | 24814,5 | -1,615 | 0,106 |
| YUKSELTİ | 38148 | -7,527 | 0,000 |
| SICIND | 23556 | -2,836 | 0,005 |
| RADIND | 22887,5 | -3,485 | 0,000 |
| BAKIND | 23059,5 | -3,318 | 0,001 |
| TPI | 45607 | -0,295 | 0,768 |
| bio11 | 19404,5 | -6,864 | 0,000 |

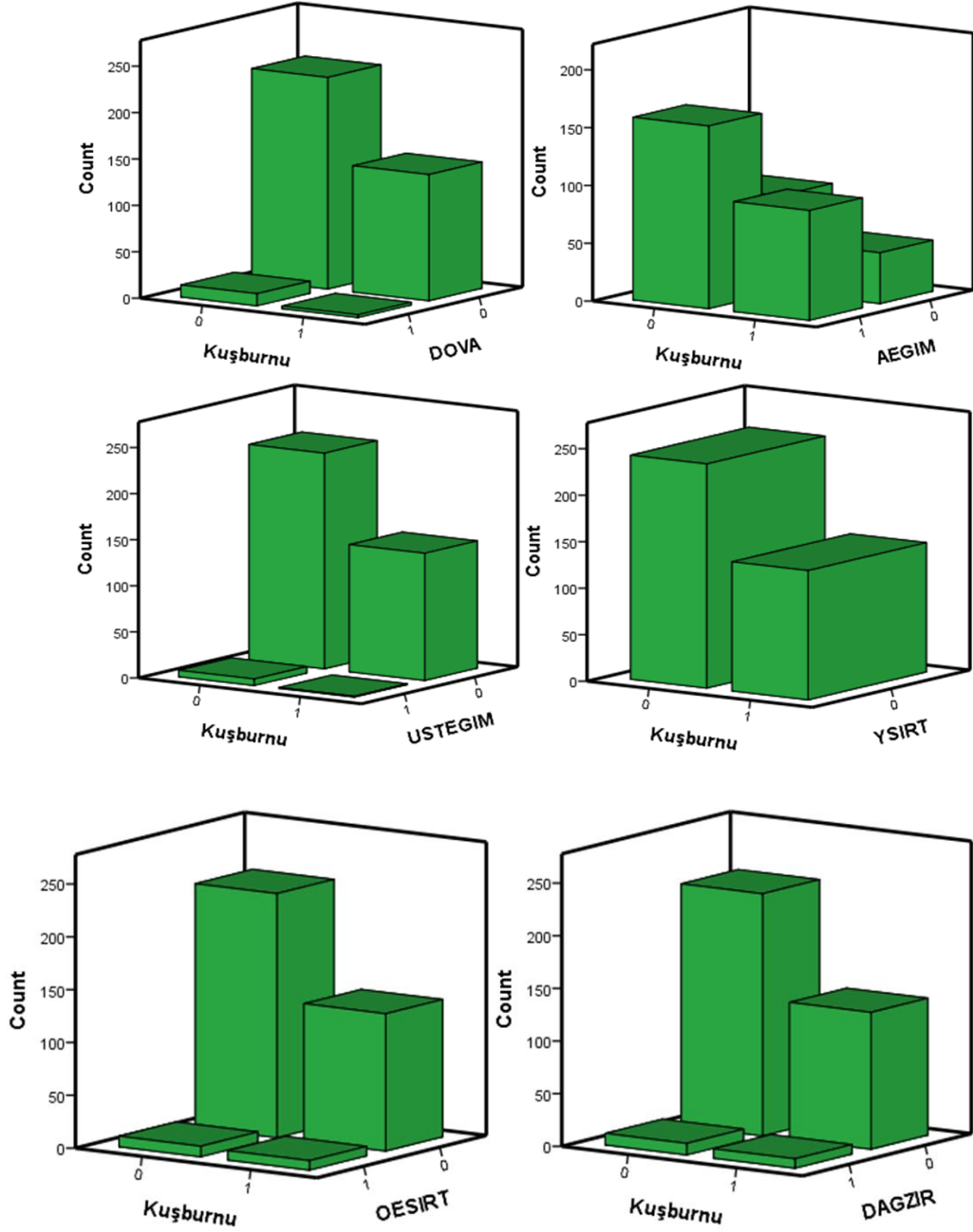
4.3. Ki Kare Analizi Sonuçları

Bağımlı değişken ile var yok verisi içeren anakaya tipleri ve arazi formları değişkenleri arasında Ki Kare analizi uygulanmıştır (Çizelge 4.5). Bu analiz sonucunda anakaya tiplerinden OFMELA, DLMT ve KUMTS değişkenleri önemli çıkmıştır. Diğer yandan arazi formları tipleri önemli çıkmamıştır. Ayrıca değişkenlerin Ki Kare analizinden C3 değerleri hesaplanmıştır. Buna göre anakaya tiplerinden OFMELA ve DLMT negatif indikatör, KUMTS ise pozitif indikatör olarak belirlenmiştir (Çizelge 4.5). Ayrıca C değerine göre indikatör olarak belirlenen değişkenlerin a, b, c ve d sayılarına ait grafikler Şekil 4.1’de verilmiştir.

Çizelge 4.5. Ki Kare analizi sonucunda elde edilen önem seviyeleri ve C3 değerleri

| Değişkenlere ait kodlar | a | b | c | d | Ki Kare değeri | Önem seviyesi | C değeri |
|----------------------------|-----|-----|-----|----|-------------------|------------------|----------------|
| KONG | 174 | 67 | 105 | 34 | 0,504 | 0,478 | -0,0614 |
| MARN | 239 | 2 | 139 | 0 | 1,160 | 0,282 | -0,0144 |
| RADLER | 240 | 1 | 139 | 0 | 0,578 | 0,447 | -0,0072 |
| SBAZLT | 219 | 22 | 120 | 19 | 1,888 | 0,169 | 0,0792 |
| OFMELA | 227 | 14 | 137 | 2 | 4,175 | 0,041 | -0,0778 |
| DLMT | 229 | 12 | 139 | 0 | 7,147 | 0,008 | -0,0887 |
| KRCTS | 187 | 54 | 112 | 27 | 0,467 | 0,494 | -0,0545 |
| KUMTS | 172 | 69 | 82 | 57 | 6,093 | 0,014 | 0,2204 |
| KANYN | 229 | 12 | 129 | 10 | 0,793 | 0,373 | 0,0385 |
| OYDRE | 233 | 8 | 137 | 2 | 1,217 | 0,270 | -0,0330 |
| UYDRE | 241 | 0 | 139 | 0 | - | - | - |
| USVADI | 219 | 22 | 129 | 10 | 0,428 | 0,513 | -0,0344 |
| DOVA | 228 | 13 | 136 | 3 | 2,289 | 0,130 | -0,0574 |
| AEGIM | 83 | 158 | 44 | 95 | 0,307 | 0,579 | 0,0515 |
| USTEGIM | 234 | 7 | 138 | 1 | 2,042 | 0,153 | -0,0384 |
| YSIRT | 241 | 0 | 139 | 0 | - | - | - |
| OESIRT | 231 | 10 | 130 | 9 | 1,004 | 0,316 | 0,0404 |
| DAGZIR | 230 | 11 | 130 | 9 | 0,645 | 0,422 | 0,0332 |





Şekil 4.1. C değerine göre indikatörlerin a, b, c ve d sayılarına ait grafikleri

4.4. İklim ve Arazi Değişkenlerine Uygulanan Lojistik Regresyon Analizi Sonuçları

Bağımlı değişkenimiz kuşburnu türü ile çevresel ve iklim değişkenlerine lojistik regresyon analizi Foward LR özelliği kullanılarak uygulanmıştır. Bunun sonucunda 3 model elde edilmiştir. Elde edilen modelleri farklı 3 değişken oluşturmuştur (Çizelge 4.6). Bunlar YUKSELTİ, RADIND ve BAKIND değişkenleridir.

Çizelge 4.6. Lojistik regresyon analizi sonucu elde edilen modellerin regresyon denklemleri

| Elde Edilen Modeller | Modelleri Oluşturan Değişkenler | B | S.E. | Wald | df | Önem Seviyesi | Exp (B) |
|----------------------|---------------------------------|--------|-------|--------|----|---------------|---------|
| Model 1 | YUKSELTİ | 0,003 | 0,000 | 42,593 | 1 | 0,000 | 1,003 |
| | Sabite | -4,567 | 0,641 | 50,775 | 1 | 0,000 | 0,010 |
| Model 2 | YUKSELTİ | 0,003 | 0,000 | 39,664 | 1 | 0,000 | 1,003 |
| | RADIND | -0,982 | 0,340 | 8,359 | 1 | 0,004 | 0,375 |
| | Sabite | -3,960 | 0,654 | 36,609 | 1 | 0,000 | 0,019 |
| Model 3 | YUKSELTİ | 0,003 | 0,000 | 43,536 | 1 | 0,000 | 1,003 |
| | RADIND | -8,830 | 2,691 | 10,765 | 1 | 0,001 | 0,000 |
| | BAKIND | 4,048 | 1,375 | 8,671 | 1 | 0,003 | 57,304 |
| | Sabite | -4,167 | 0,656 | 40,349 | 1 | 0,000 | 0,015 |

4.5. İklim ve Arazi Değişkenlerine Uygulanan Ayırma Analizi Sonuçları

İklim ve arazi değişkenlerine uygulanan ayırma analizi sonucunda tek fonksiyon elde edilmiştir. Fonksiyon elde edilirken Stepwise seçeneği kullanılmıştır ve bu fonksiyon %1 seviyesinde önemli çıkmıştır. Yine bu fonksiyon toplam varyansın tamamını açıklamaktadır (Çizelge 4.7., Çizelge 4.8).

Çizelge 4.7. Ayırma analizine ait öz değer sonuçları

| Fonksiyon | Öz değer | Varyansa katılma (%) | Kümülatif (%) | Konikal korelasyon |
|-----------|----------|----------------------|---------------|--------------------|
| 1 | 0,238 | 100,0 | 100,0 | 0,438 |

Çizelge 4.8. Ayırma analizine ait Wilks' Lambda değeri

| Türetilen fonksiyon | Wilks' Lambda | Ki Kare | Serbestlik derecesi | Önem seviyesi |
|---------------------|---------------|---------|---------------------|---------------|
| 1 | 0,808 | 80,258 | 4 | 0,000 |

Standardize edilmiş ayırım fonksiyon katsayıları Çizelge 4.9'da ve standardize edilmemiş ayırım fonksiyon katsayıları Çizelge 4.10'da verilmiştir. Burada en etkili değişkenler RADIND ve BAKIND olarak görülmektedir. RADIND değişkeni negatif etkiye sahip iken, BAKIND değişkeni pozitif etkiye sahiptir.

Çizelge 4.9. Kuşburnu türü için standardize edilmiş ayırım fonksiyon katsayıları

| | Fonksiyon 1 |
|-----------------|-------------|
| KUMTS | 0,258 |
| YUKSELTİ | 0,913 |
| RADIND | -3,345 |
| BAKIND | 3,062 |

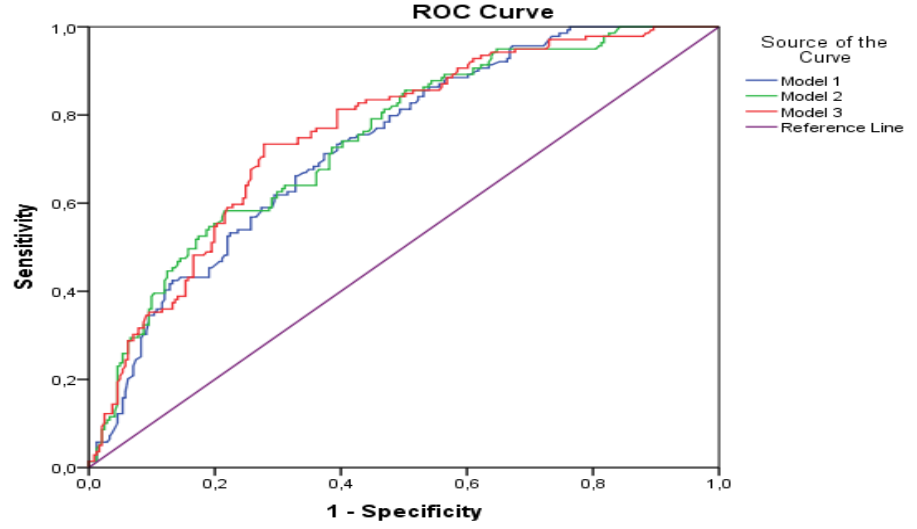
Çizelge 4.10. Kuşburnu türü için standardize edilmemiş ayırım fonksiyon katsayıları

| | Fonksiyon 1 |
|-----------------|-------------|
| KUMTS | ,552 |
| YUKSELTİ | ,003 |
| RADIND | -9,651 |
| BAKIND | 4,495 |
| Sabite | -3,601 |

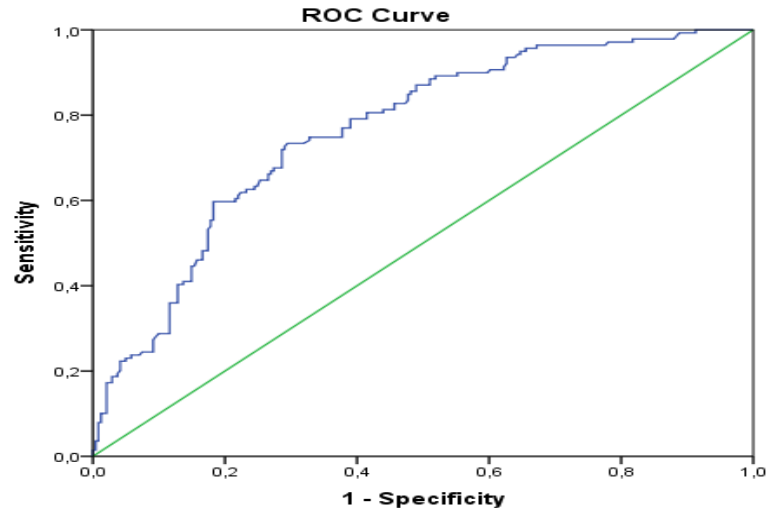
4.6. Modellerin Geçerliliği

Lojistik regresyon ve ayırma analizleri sonucunda elde edilen modellerin geçerlilikleri ROC eğrisi kullanılarak kıyaslanmıştır. Lojistik regresyon analizi sonucunda 3 model ve ayırma analizi sonucunda bir model elde edilmiştir. Lojistik

regresyon analizi ile elde edilen modellerin ROC deęerleri 0,732 (Model 1), 0,743 (Model 2) ve 0,759 (Model 3) olarak bulunmuştur (Şekil 4.2). Ayırma analizi sonucunda elde edilen modelin ROC deęeri 0,763 olarak bulunmuştur (Şekil 4.3).



Şekil 4.2. Lojistik regresyon analizi sonucunda elde edilen modellere ait ROC deęerleri



Şekil 4.3. Ayırma analizi sonucunda elde edilen modele ait ROC deęeri

5. TARTIŞMA VE SONUÇLAR

Akdeniz Bölgesi orman varlığı ve çeşitliliği bakımından Türkiye'nin en önemli bölgesidir ve bu bölge içinde en önemli yörelerinde biri Sütçüler yöresidir. Sütçüler yöresinde 27 orman köyü bulunmaktadır ve bu köylerin ekonomik durumu oldukça zayıftır. Özellikle keçi otlatmasının yasaklanması sebebiyle son yıllarda bu köylerin ekonomik durumu daha da zayıflamıştır (Özkan vd., 2010). Kırsal kalkınma açısından odun dışı orman ürünleri önemli bir kaynaktır ve Sütçüler yöresi odun dışı orman ürünleri bakımından büyük zenginlik göstermektedir. Odun dışı orman ürünlerine yönelik stratejilerin geliştirilmesinde her şeyden önce bu türlerin ekolojik özellikleri hakkında bilgi sahibi olmayı gerektirir. Sütçüler yöresinde daha evvelden yapılan çalışmalarda sadece asli orman ağacı türlerinin ekolojisine odaklanılmış (Özkan ve Gülsoy 2009, Özkan ve Kuzugüdenli 2010), odun dışı orman ürünlerinin ekolojine yönelik detaylı bir çalışma gerçekleştirilmiştir. Sütçüler yöresinde doğal yayılışı bulunan odun dışı orman ürünlerinden biri de kuşburnudur. Kuşburnu hem ekolojik hem de ekonomik bakımdan odun dışı orman ürünleri arasında en değerleri türlerden biridir. Bu çalışma Sütçüler yöresi ormanlarından çok yönlü faydalanma ve sürdürülebilirlik çerçevesinde ve yöre halkının ekonomik kalkınmasına destek vermek amacıyla kuşburnunun yayılışı ile yetiştirme ortamı özellikleri arasındaki ilişkiler onun coğrafi dağılım modellemesine yönelik olarak gerçekleştirilmiştir.

Çalışmada öncelikle iklim değişkenleri arasındaki ilişkinin belirlenmesi amacıyla korelasyon analizi yapılmıştır. İklim değişkenleri kendi aralarında yüksek ilişki gösterdiği belirlenmiş ve bu yüzden kaynaklanan çoklu bağlantı problemini ortadan kaldırılması amacıyla temel bileşenler analizi uygulanmıştır. Böylece temsilci değişken/değişkenler tespit edilmiştir. Ardından veri matrisinde sürekli verilere Wilcoxon sıralı toplam istatistiği ve var yok verilerine nitelikler arası ilişki analizleri yapılmıştır. Wilcoxon sıralı toplam istatistiği sonucunda YUKSELTİ, SICIND, RADIND, BAKIND ve bio11 değişkenleri, nitelikler arası ilişki analizi sonucunda OFMELA, DLMT ve KUMTS kuşburnu türünün coğrafik dağılımında önemli değişkenler çıkmıştır. Türün coğrafik dağılımı ile her bir çevresel faktör arasındaki ilişkiler lojistik regresyon analizi ve ayırma analizleri ile incelenmiştir. Lojistik regresyon analizi sonucunda YUKSELTİ, RADIND ve BAKIND değişkenlerini içeren 3 model elde edilirken, ayırma analizi sonucunda KUMTS, YUKSELTİ,

RADIND ve BAKIND deęişkenlerini içeren bir model elde edilmiştir. Her iki analizi sonucu elde edilen modeller incelenecek olursa yükselti ile pozitif bir ilişki içerisindedir. Elde edilen modelleri oluşturan deęişkenler incelenecek olursa; kuşburnu türü alçak rakımlardan kaçınmakta ve daha çok yüksek rakımlı yerleri tercih etmektedir. Diğer taraftan türün dağılımında bakı ve anakaya önemli rol oynamaktadır.

Benzer ekosistemlerde yapılan bazı çalışmalara bakacak olursak; Özkan vd. (2006), tarafından Buldan batı daęlı bölgesinde kuşburnu türünün dağılımını etkileyen faktörler üzerine yapılan çalışmada 1000 m'den yüksek rakımlarda yayılmakta olduğunu, bakı, anakaya ve yüzey şekli ile önemli ilişkiler gösterdiğini tespit etmişlerdir. Karatepe (2006), tarafından Eğirdir Gölü Havza'sında gerçekleştirilen çalışmada kuşburnu türünü farklı anakaya tiplerinde 1750 m yükseltiye kadar yayılış gösterdiğini belirtmiştir. Güner vd. (2011), tarafından yapılan başka bir çalışmada İç Anadolu Bölgesi'nde 1440 m üzerindeki yükseltiler, gölgeli bakılar, orta dik ya da sarp araziler ve metamorfik anakaya tipleri türün yayılışını etkileyen en önemli deęişkenler olduğunu belirtmişlerdir. Görüldüğü üzere Akdeniz Bölgesi ve özellikle Göller yöresinde türlerin dağılımında iklim faktörlerini yansıtan yükselti, bakı, anakaya ve yeryüzü şekli özellikleri en önemli faktörlerdir. Bu sebepten dolayı kuşburnu türünün yayılışı ile ilgili yapılan istatistiksel analizlerin sonuçları anlamlı çıkmıştır.

Bu tez çalışmasının sonucu olarak elde edilen modelin yeterlilięi uygun olsa bile Sınıflandırma ve Regresyon Ağacı Teknięi, Genelleştirilmiş Eklemeli Model ve Bulanık Mantık gibi diğer yöntemlerinde devreye sokulması daha etkin sonuçlara ulaşılması açısından önemli olabilir. Bununla birlikte bu çalışmada türün yetiştirme ortamı özellikle bakımından seçicilięi ile ilgili önemli bilgiler elde edilmiştir. Diğer yandan türün dağılım modeli dijital veriler üzerinde gerçekleştirildiğinden istenildięi takdirde bu modeller yöre bazında yaygınlaştırılabilir. Bu açıdan bu çalışma benzer konuda yapılacak çalışmalar içinde örnek teşkil etmektedir.

6. KAYNAKLAR

- Acar, H.H., Ünver, S., Okan, O.T., Deniz, İ., 2013. Orman Ekosistemi Temelinde Türkiye Ormanlarına Yönelik Odun Dışı Bitkisel Ürünler. 2023'e Doğru 2. Doğa ve Ormancılık Sempozyumu, 31 Ekim-3 Kasım, Antalya , 279-286.
- Aertsen, W., Kint, V., Van Orshoven, J., Özkan, K., Muys, B., 2010. Comparison and Ranking of Different Modelling Techniques for Prediction of Site Index in Mediterranean Mountain Forests. Ecological Modelling, 221, 1119-1130.
- Akbulut, A., 1980. Eğirdir Gölü Güneyinde Çandır (Sütçüler-Isparta) Yöresindeki Batı Torosların Jeolojisi. Türkiye Jeoloji Kurum Bülteni, 23, 1-9, Ankara.
- Akgül, E., Yılmaz, A., 1991. Türkiye'de Fıstıkçamının (*Pinus pinea* L.) Ekolojik Özellikleri. Ormancılık Araştırma Enstitüsü, Bülten No: 215, 0570-1317, Ankara.
- Akyol, A., Tolunay, A., 2006. Türkiye'de Sürdürülebilir Orman Kaynakları Yönetimi, İlkeleri, Göstergeleri ve Uygulamaları. Süleyman Demirel Üniversitesi Fen Bilimleri Enstitüsü Dergisi, 10, 221-234.
- Akyüz, N., Coşkun, H., Bakırcı, İ., 1996. Kuşburnunun Besin Değeri ve Kullanım Alanları. Kuşburnu Sempozyumu, 5-6 Eylül, Gümüşhane.
- Anonim, 2008. Kastamonu'da Yetişen Bazı Odun Dışı Orman Ürünlerinin Toplama, İşleme ve Pazarlama Maliyetleri. Kastamonu Orman Fakültesi Dergisi, 26-36.
- Anonim, 2011. Odun Dışı Orman Ürünleri (Orman Tali Ürünleri) Sektör Raporu. Erişim Tarihi: 23.10.2013. <http://www.turkishwood.org>.
- Anonim, 2013a. Odun Dışı Orman Ürünleri, Orman Genel Müdürlüğü, Ankara.
- Anonim, 2013b. Odun Dışı Orman Ürünleri, Orman ve Su İşleri Bakanlığı Orman Genel Müdürlüğü, Adana Orman Bölge Müdürlüğü, Adana.
- Anonim, 2012. Türkiye Orman Varlığı, Orman ve Su İşleri Bakanlığı, Orman Genel Müdürlüğü, Ankara.
- Anonim, 2013c. Yaban Mersini Nedir. Erişim Tarihi: 13.11.13. <http://www.yabanmersini.org/yaban-mersini-nedir.html>.
- Anşin, R., Özkan, Z., 1997. Tohumlu Bitkiler. Karadeniz Teknik Üniversitesi Orman Fakültesi, 507s, Trabzon.
- Arslan, N., 1986. Bazı Avrupa Ülkelerinde Tıbbi Bitkilerin Tarımını Geliştirme Çalışmaları.VI. Bitkisel İlaç Hammaddeleri Toplantısı, Ankara, 228-241s.

- Arslan, N., Gürbüz, B., Gümüşçü, A., 1996. Kuşburnunun Kültüre Alınması ve Islahının Temel İlkeleri. Kuşburnu Sempozyumu, 5-6 Eylül, Gümüşhane, 149-156.
- Austrheim, G., Gunilla, E., Olsson, A., Grontvedt, E., 1999. Land-Use Impact on Plant Communities in Semi-Natura Sub-Alpine Grasslands of Budalen, Central Norway. Biological Conservation, 87, 369-379.
- Bayramoğlu, M.M., Toksoy, D., 2013. 2023'e Doğru 2. Doğa ve Ormancılık Sempozyumu, 31 Ekim-3 Kasım, Antalya, 317-330.
- Bilgin, S., 2012. Fıstıkçamı (*Pinus pinea* L.) Yetiştiriciliği. Ege Ormancılık Araştırma Müdürlüğü, Urla/İzmir.
- Bozcu, M., 1985. Sipahiler (Isparta ili) ve Dolayının Jeolojisi. İstanbul Üniversitesi Fen Bilimleri Enstitüsü, Yüksek Lisans Tezi, 57s, İstanbul.
- Brown Jr., S., R., Ahl, R., S., 2011. The Region 1 Existing Vegetation Mapping Program (V Map) Beaver Head-Deer Lodge Methodology. Region One Vegetation Classification, Mapping, Inventory and Analysis Report, 1-18.
- Büyükgebiz, T., 2006. Sütçüler (Isparta) Yöresinin Odun Dışı Orman Ürünleri. Süleyman Demirel Üniversitesi Fen Bilimleri Enstitüsü, Yüksek Lisans Tezi, 69s, Isparta.
- Davis, P. H., 1965; 1988. Flora of Turkey and The Aegean Islands. Edinburgh Üniversitesi Press., 1-10, Edinburgh.
- DMI, 2006. 1975-1993 Yılları Arasında Isparta (Sütçüler) Yöresine Ait Çok Yıllık İklim Verileri, Çevre ve Orman Bakanlığı Devlet Meteoroloji İşleri Genel Müdürlüğü, Ankara.
- Ekren, S., Sönmez, Ç., Sancaktaroğlu, S., Bayram E., 2007. Farklı Biçim Yüksekliklerinin Adaçayı (*Salvia officinalis* L.) Genotiplerinde Agronomik ve Teknolojik Özelliklere Etkisinin Belirlenmesi, Ege Üniversitesi Ziraat Fakültesi Dergisi, 44 (1), 55-70.
- Ellenberger, A., 1998. Assuming Responsibility for a Protected Plant. Weleda's Endeavour to Secureth Firm's Supply of Arnica Montana. In "First International Symposium on The Conservation of Medicinal Plants in Trade in Europe", pp. 127-30. Europe, Kew, UK.
- Ewald, J., 2000. The Partial Influence of Norway Spruce Stands on Under Storey Vegetation in Montane Forests of The Bavarian Alps. Mountain Research and Development, 20(4), 364-371.
- Felicísimo, A.M., Gomez, A., Munoz, J., 2004. Potential Distribution of Forest Species in Dehesas of Extremadura (Spain). CatenaVerlag, 231-246.

- Genç, M., Özkan, K., Özçelik, R., Güner, Ş.T., Gülsoy, S., 2008. Beyşehir Gölü Havzası, Dumanlı Yetiştirme Ortamı Yörelere Grubu'nda Doğal Anadolu Karaçamı (*Pinus nigra* ssp. *pallasiana* Arnold (Lamb.) Holmboe) Meşcerelerinde Farklı Derecelerde Uygulanan İlk Aralamaların Ekofizyolojik Etkileri. Süleyman Demirel Üniversitesi BAP, 946-M04.
- Gülsoy, S., 2011. *Pistacia terebinthus* L. subsp. *palaestina* (Boiss.) Engler (Anacardiaceae)'in Göller Yöresindeki Yetiştirme Ortamı Özellikleri ve Yetiştirme Ortamı-Meyve Uçucu Yağ İçeriği Etkileşimleri. Süleyman Demirel Üniversitesi, Fen Bilimleri Enstitüsü, Yayınlanmış Doktora Tezi, 210s.
- Güner, Ş.T., Özkan, K., Çömez, A., Çelik, N., 2011. İç Anadolu Bölgesi'nde Anadolu Karaçamı'nın (*Pinus nigra* subsp. *pallasiana*) Verimli Olabileceği Potansiyel Alanların Odunsu Göstergeler Türleri. Ekoloji, 20(80), 51-58.
- Hijmans, R.J., S.E. Cameron, J.L., Parra, P.G., Jones ve A. Jarvis, 2005. Very High Resolution Interpolated Climate Surfaces for Global Land Areas. International Journal of Climatology 25, 1965-1978.
- İlisulu, K., 1992. İlaç ve Baharat Bitkileri. Ankara Üniversitesi Yayınları, 1256s, Ankara.
- Jenness, J., 2006. Topographic Position Index Extension for Arc View 3.x, v. 1.2. Jenness Enterprises. Erişim Tarihi: 20.01.2012. <http://www.jennessent.com/arcview/tpi.htm>.
- Kaplan, E., 2013. 2023'e Doğru 2. Doğa ve Ormancılık Sempozyumu, 31 Ekim-3 Kasım, Antalya, 187-200.
- Karatepe, Y., 2006. Kuşburnu (*Rosa canina* L.)'nun Eğirdir Gölü Havzası'ndaki Doğal Yayılış Alanlarına Ait Bazı Ekolojik Özellikler. Süleyman Demirel Üniversitesi Orman Fakültesi, Toprak İlimi ve Ekoloji, Isparta.
- Koçan, N., 2010. Peyzaj Planlama ve Tasarım Çalışmalarında Kuşburnu (*Rosa canina* L.) Bitkisinin Değerlendirilmesi. Harran Üniversitesi Ziraat Fakültesi Dergisi, 14(4), 33-37.
- Konukçu, M. 2001. Ormanlar ve Ormancılığımız. Devlet Planlama Teşkilatı Yayınları, 238s, Ankara.
- Korkmaz, M., 1998. Sütçüler (Isparta) Florası. Süleyman Demirel Üniversitesi, Fen Bilimleri Enstitüsü, Yüksek Lisans Tezi, 127s, Isparta.
- Kulak, M., 2011. Farklı Tuz Uygulamalarının Adaçayı (*Salvia officinalis* L.)'nın Gelişimi Üzerine Etkisi. Kilis 7 Aralık Üniversitesi Fen Bilimleri Enstitüsü, Yüksek Lisans Tezi, 59s, Kilis.
- Kurt, R., Çabuk, Y., Karayılmazlar, S., 2011. Türkiye ve Dünya Yuvarlak Odun ve Odun Dışı Orman Ürünlerinin Üretim, Dış Ticaret ve Ekonomik Potansiyel Analizi. Bartın Orman Fakültesi Dergisi, 13(20), 1-9.

- Kurt, R., Karayılmazlar, S., Çabuk, Y., 2013. 2023'e Doğru 2. Doğa ve Ormancılık Sempozyumu, 31 Ekim-3 Kasım, Antalya, 331-342.
- Kutbay, H.G., Kılınç, M., 1996. Kuşburnu (*Rosa canina* L.) Türlerinin Taksonomik Özellikleri ve Türkiye'deki Yayılışı. Kuşburnu Sempozyumu, 81s, Gümüşhane.
- Moisen, G.G., Frescino, T.S., 2002. Comparing Five Modelling Techniques for Predicting Forest Characteristics. Ecological Modelling, 157, 209-225.
- Özçelik, H., Korkmaz, M., 2002. Contributions to The Flora of Sütçüler-Isparta (Turkey). Bulletin of Pure and Applied Science,1, 1-19.
- Özer, A.E., 2006, Dereden-Tepeden Doğal ve Yapay Alanlardaki Bitkiler. Türkiye Ormancılar Derneği, 555s, Ankara.
- Özdamar, K., 1997. Paket Programlar İle İstatistiksel Veri Analizi I. Anadolu Üniversitesi Yayınları, 493s, Eskişehir.
- Özdamar, K., 2010. Pasw ile Biyoistatistik. Kaan Kitapevi, 516s, Ankara.
- Özdamar, K., 2001. SPSS ile Biyoistatistik. Kaan Kitapevi, 416s, Eskişehir.
- Özkan, K., 2007. Beyşehir Gölü Havzası Topraklarının Bazı Özellikleri İle Toprak Rengi ve Strüktürü Arasındaki İlişkiler. Süleyman Demirel Üniversitesi Orman Fakültesi Dergisi, 9-22s, Isparta.
- Özkan, K., Gülsoy, S., 2009. Effects of Environmental Factors on The Productivity of Crimian Pine (*Pinus nigra* ssp. *pallasiana*) in Sütçüler, Turkey, Journal Environmental Biolojical, 30(6), 965-970.
- Özkan, K., Gülsoy, S., Mert, A., Ozturk, M., Muys, B., 2010. Plant Distribution-Altitude and Land Form Relationships in Karstic Sinkholes of Turkey. Journal of Environmental Biology, 31, 51-60.
- Özkan, K., Kuzugüdenli, E., 2010. Akdeniz Bölgesi Sütçüler Yöresinde Kızılçamın (*Pinus brutia* ten.) Verimliliği İle Yetiştirme Ortamı Özellikleri Arasındaki İlişkiler. Süleyman Demirel Üniversitesi Orman Fakültesi Dergisi, 1, 16-29.
- Özkan, K., 2012. Sınıflandırma ve Regresyon Ağacı Tekniği (SRAT) İle Ekolojik Verinin Modellenmesi. Süleyman Demirel Üniversitesi Orman Fakültesi Dergisi, 13, 1-4.
- Özkan, K., Süel, H., Mert, A., Gülsoy, S., Başayığit, L., Şenol, H., 2006. Buldan Batı Dağlık Bölgesinde Kuşburnunun (*Rosa canina* L.) Dağılımını Etkileyen Abiyotik Yetiştirme Ortamı Faktörleri. Buldan Sempozyum Bildirileri, 2, 581-588, Aydoğdu Ofset, Ankara.

- Özrenk, K., Gündoğdu, M., Oğan, A., 2011. Erzincan Yöresi Kuşburnu (*Rosa canina* L.) Meyvelerinin Organik Asit, Şeker ve Mineral Madde İçerikleri, Van Yüzüncü Yıl Üniversitesi Ziraat Fakültesi Bahçe Bitkileri Bölümü Dergisi, 22 (1), 20-25.
- Pal Axel, O., Linda-Maria, M., Hans Henrik, B., 2009. Acidification of Sandy Grasslands -Consequences for Plant Diversity. Applied Vegetation Science, 12, 350-361
- Robertson, M.P., Peter, C.I., Villet, M.H., Ripley, B.S., 2003. Comparing Models For Predicting Species' Potential Distributions: A Case Study Using Correlative and Mechanistic Predictive Modelling Techniques, Ecological Modelling, 164, 2-3, 153-167.
- Sarı, A.O., Oğuz, B., 2002. Kekik. Ege Tarımsal Araştırma Enstitüsü, 108, 82s, İzmir.
- Sargın, S., 2006. Sütçüler'de Kır Yerleşimleri ve Yerleşme Düzenine Etki Eden Faktörler. Fırat Üniversitesi Sosyal Bilimler Dergisi, 16(1), 63-87, Elazığ.
- Şafak, İ., Okan, T., 2004. Kekik, Defne ve Çamfıstığının Üretimi ve Pazarlaması, Doğu Akdeniz Ormancılık Araştırma Enstitüsü Dergisi, 10, 101-129, Tarsus.
- Şentürk, Ö., 2012. Sütçüler Yöresinde Asli Orman Ağacı Türlerinin Potansiyel Yayılış Alanlarının Modellemesi. Süleyman Demirel Üniversitesi, Fen Bilimleri Enstitüsü, Doktora Tezi, 180s, Isparta.
- Trademap, 2011. Dünya Odun Dışı Orman Ürünleri İthalatı. Erişim Tarihi: 23.10.2013. www.trademap.org
- Üçler A.Ö., Genç, H.E., Feyzioğlu, F., 2013. 2023'e Doğru 2. Doğa ve Ormancılık Sempozyumu, 287-316. 31 Ekim-3 Kasım, Antalya.
- Ünsal, A., 2000. Diskriminant Analizi ve Uygulaması Üzerine Bir Örnek. G.Ü., İktisat İdari Bilimler Fakültesi Dergisi, 3, 19-36.
- Vanderpuyee, A.W., Elvebakk A., Nilssen L., 2002. Plant Communities Along Environmental Gradients of High-Arctic Mires in Sassendalen, Svalbard. Journal of Vegetation Science, 13, 875-884.
- Yaman, K., 2010. Artvin İlinde Yetişen Değerlendirilebilir Bazı Odun Dışı Orman Ürünleri ve Tıbbi Aromatik Bitkiler, Kaçkar Dağları Projesi, Uygulama Kitapçığı, Artvin.
- Yazar, I., Yavuz, H.S., Çay, M.A., 2009. Temel Bileşenler Analizi Yönteminin ve Bazı Klasik ve Robust Uyarlamalarının Yüz Tanıma Uygulamaları, Eskişehir Osmangazi Üniversitesi Mühendislik Mimarlık Fakültesi Dergisi, 49-63.
- Yılmaz, S., 1996. Kuşburnu Bitkisinin Erozyon Kontrolündeki Yeri ve Önemi, Kuşburnu Sempozyumu, 5-6 Eylül, Gümüşhane, 167-168.

- Zelený, D., Chytrý, M., 2007. Environmental Control of The Vegetation Pattern in Deep River Valleys of The Bohemian Massif. *Preslia*, 79, 205-222.
- Wei, X.Z., Jiang, M.X., Huang, H.D., Yang, J.Y., Yu, J., 2010. Relationships Between Environment and Mountain Riparian Plant Communities Associated With Two Rare Tertiary-relic Tree Species, *Euptelea pleiospermum* (Eupteleaceae) and *Cercidiphyllum japonicum* (Cercidiphyllaceae). *Flora*, 205, 841-852.

EKLER

EK A. Grafikler

Çizelge A.1. Kuşburnu türünün var yok verilerinin kategorik değişkenlere ait değerleri (Devamı)

| Kuşburnu | KONG | MARN | RADLER | SBAZLT | OFMELA | DLMT | KRCTS | KUMTS | KANYN | OYDRE | UYDRE | USVADI | DOVA | AEGIM | USTEGIM | YSIRT | OESIRT | DAGZIR |
|----------|------|------|--------|--------|--------|------|-------|-------|-------|-------|-------|--------|------|-------|---------|-------|--------|--------|
| 0 | 0 | 0 | 0 | 0 | 0 | 0 | 1 | 0 | 0 | 0 | 0 | 1 | 0 | 0 | 0 | 0 | 0 | 0 |
| 0 | 0 | 0 | 0 | 0 | 0 | 0 | 1 | 0 | 0 | 0 | 0 | 1 | 0 | 0 | 0 | 0 | 0 | 0 |
| 0 | 0 | 0 | 0 | 0 | 0 | 0 | 1 | 0 | 1 | 0 | 0 | 0 | 0 | 0 | 0 | 0 | 0 | 0 |
| 0 | 0 | 0 | 0 | 0 | 0 | 0 | 1 | 0 | 0 | 0 | 0 | 1 | 0 | 0 | 0 | 0 | 0 | 0 |
| 0 | 1 | 0 | 0 | 0 | 0 | 0 | 0 | 0 | 0 | 0 | 0 | 0 | 0 | 0 | 0 | 0 | 0 | 1 |
| 0 | 1 | 0 | 0 | 0 | 0 | 0 | 0 | 0 | 0 | 0 | 0 | 0 | 0 | 1 | 0 | 0 | 0 | 0 |
| 0 | 1 | 0 | 0 | 0 | 0 | 0 | 0 | 0 | 0 | 0 | 0 | 0 | 0 | 1 | 0 | 0 | 0 | 0 |
| 0 | 1 | 0 | 0 | 0 | 0 | 0 | 0 | 0 | 0 | 0 | 0 | 0 | 0 | 0 | 0 | 0 | 0 | 1 |
| 0 | 1 | 0 | 0 | 0 | 0 | 0 | 0 | 0 | 0 | 1 | 0 | 0 | 0 | 0 | 0 | 0 | 0 | 0 |
| 0 | 1 | 0 | 0 | 0 | 0 | 0 | 0 | 0 | 0 | 0 | 0 | 0 | 0 | 1 | 0 | 0 | 0 | 0 |
| 0 | 1 | 0 | 0 | 0 | 0 | 0 | 0 | 0 | 0 | 0 | 0 | 0 | 0 | 1 | 0 | 0 | 0 | 0 |
| 0 | 1 | 0 | 0 | 0 | 0 | 0 | 0 | 0 | 0 | 0 | 0 | 0 | 0 | 0 | 0 | 0 | 0 | 1 |
| 0 | 1 | 0 | 0 | 0 | 0 | 0 | 0 | 0 | 0 | 0 | 0 | 0 | 0 | 1 | 0 | 0 | 0 | 0 |
| 0 | 0 | 0 | 0 | 0 | 0 | 0 | 0 | 1 | 0 | 0 | 0 | 0 | 0 | 0 | 0 | 0 | 1 | 0 |
| 0 | 0 | 0 | 0 | 0 | 0 | 0 | 0 | 1 | 0 | 0 | 0 | 0 | 0 | 1 | 0 | 0 | 0 | 0 |

Çizelge A.2. Kuşburnu türünün var yok verilerinin sürekli değişkenlere ait değerleri

| Kuşburnu | EGİM | BAKI | YUKSELTİ | SICIND | RADIND | BAKIND | TOPOZIN | bio1 | bio2 | bio3 | bio4 | bio5 | bio6 | bio7 | bio8 | bio9 | bio10 | bio11 | bio12 | bio13 | bio14 | bio15 | bio16 | bio17 | bio18 | bio19 |
|----------|------|------|----------|--------|--------|--------|---------|-------|-------|------|--------|-------|-------|-------|-------|-------|-------|-------|-------|-------|-------|-------|-------|-------|-------|-------|
| 1 | 15 | 274 | 1247 | 0,945 | 0,719 | 1,317 | -6 | 105,8 | 112,0 | 34,5 | 7300,5 | 280,3 | -37,3 | 318,0 | 12,3 | 196,8 | 198,5 | 12,3 | 643,0 | 109,5 | 10,0 | 59,5 | 297,3 | 37,0 | 50,5 | 297,3 |
| 1 | 28 | 296 | 1291 | 0,647 | 0,535 | 0,939 | 4 | 105,8 | 112,0 | 34,5 | 7300,5 | 280,3 | -37,3 | 318,0 | 12,3 | 196,8 | 198,5 | 12,3 | 643,0 | 109,5 | 10,0 | 59,5 | 297,3 | 37,0 | 50,5 | 297,3 |
| 1 | 17 | 282 | 1261 | 0,911 | 0,655 | 1,182 | -1 | 105,8 | 112,0 | 34,5 | 7300,5 | 280,3 | -37,3 | 318,0 | 12,3 | 196,8 | 198,5 | 12,3 | 643,0 | 109,5 | 10,0 | 59,5 | 297,3 | 37,0 | 50,5 | 297,3 |
| 1 | 0 | -1 | 1685 | 1,000 | 0,071 | 0,083 | 0 | 80,5 | 107,0 | 33,5 | 7358,0 | 253,3 | -60,5 | 314,0 | -13,0 | 172,5 | 174,0 | -13,0 | 665,5 | 105,0 | 13,0 | 53,5 | 292,0 | 45,3 | 65,8 | 292,0 |
| 1 | 25 | 343 | 1602 | 0,414 | 0,159 | 0,228 | -10 | 101,0 | 112,0 | 34,0 | 7278,0 | 276,0 | -40,5 | 317,0 | 8,0 | 192,0 | 194,0 | 8,0 | 625,5 | 101,0 | 11,5 | 56,0 | 278,5 | 39,0 | 56,0 | 278,5 |
| 1 | 36 | 92 | 1629 | 0,169 | 0,265 | 0,650 | -10 | 101,0 | 112,0 | 34,0 | 7278,0 | 276,0 | -40,5 | 317,0 | 8,0 | 192,0 | 194,0 | 8,0 | 625,5 | 101,0 | 11,5 | 56,0 | 278,5 | 39,0 | 56,0 | 278,5 |
| 1 | 36 | 92 | 1629 | 0,169 | 0,265 | 0,650 | -10 | 101,0 | 112,0 | 34,0 | 7278,0 | 276,0 | -40,5 | 317,0 | 8,0 | 192,0 | 194,0 | 8,0 | 625,5 | 101,0 | 11,5 | 56,0 | 278,5 | 39,0 | 56,0 | 278,5 |
| 1 | 19 | 135 | 1597 | 0,919 | 0,629 | 1,383 | 1 | 101,0 | 112,0 | 34,0 | 7278,0 | 276,0 | -40,5 | 317,0 | 8,0 | 192,0 | 194,0 | 8,0 | 625,5 | 101,0 | 11,5 | 56,0 | 278,5 | 39,0 | 56,0 | 278,5 |
| 1 | 27 | 343 | 1569 | 0,316 | 0,159 | 0,228 | 15 | 101,0 | 112,0 | 34,0 | 7278,0 | 276,0 | -40,5 | 317,0 | 8,0 | 192,0 | 194,0 | 8,0 | 625,5 | 101,0 | 11,5 | 56,0 | 278,5 | 39,0 | 56,0 | 278,5 |
| 1 | 20 | 272 | 978 | 0,904 | 0,735 | 1,350 | 6 | 125,5 | 118,0 | 36,0 | 7053,5 | 300,5 | -14,5 | 315,5 | 36,0 | 214,5 | 216,5 | 36,0 | 618,7 | 108,0 | 9,0 | 61,5 | 292,5 | 32,5 | 43,5 | 292,5 |
| 1 | 24 | 317 | 1010 | 0,630 | 0,354 | 0,585 | 6 | 125,5 | 118,0 | 36,0 | 7053,5 | 300,5 | -14,5 | 315,5 | 36,0 | 214,5 | 216,5 | 36,0 | 618,7 | 108,0 | 9,0 | 61,5 | 292,5 | 32,5 | 43,5 | 292,5 |
| 1 | 27 | 242 | 1014 | 0,939 | 0,924 | 1,772 | 11 | 125,5 | 118,0 | 36,0 | 7053,5 | 300,5 | -14,5 | 315,5 | 36,0 | 214,5 | 216,5 | 36,0 | 618,7 | 108,0 | 9,0 | 61,5 | 292,5 | 32,5 | 43,5 | 292,5 |
| 1 | 21 | 42 | 989 | 0,475 | 0,011 | 0,057 | 8 | 122,0 | 115,0 | 35,5 | 7143,0 | 295,0 | -20,0 | 316,0 | 31,0 | 211,0 | 213,0 | 31,0 | 657,0 | 118,0 | 8,0 | 64,0 | 318,0 | 33,0 | 43,0 | 318,0 |
| 1 | 22 | 7 | 982 | 0,191 | 0,040 | 0,036 | -4 | 122,0 | 115,0 | 35,5 | 7143,0 | 295,0 | -20,0 | 316,0 | 31,0 | 211,0 | 213,0 | 31,0 | 657,0 | 118,0 | 8,0 | 64,0 | 318,0 | 33,0 | 43,0 | 318,0 |
| 1 | 22 | 244 | 1002 | 0,957 | 0,915 | 1,749 | -10 | 122,0 | 115,0 | 35,5 | 7143,0 | 295,0 | -20,0 | 316,0 | 31,0 | 211,0 | 213,0 | 31,0 | 657,0 | 118,0 | 8,0 | 64,0 | 318,0 | 33,0 | 43,0 | 318,0 |
| 1 | 5 | 232 | 1508 | 0,999 | 0,964 | 1,870 | -1 | 96,0 | 111,5 | 34,5 | 7292,5 | 271,0 | -45,0 | 317,0 | 3,0 | 187,0 | 190,0 | 3,0 | 626,0 | 99,0 | 12,0 | 53,5 | 273,5 | 41,5 | 59,0 | 273,5 |
| 1 | 7 | 247 | 1517 | 0,995 | 0,899 | 1,713 | 0 | 96,0 | 111,5 | 34,5 | 7292,5 | 271,0 | -45,0 | 317,0 | 3,0 | 187,0 | 190,0 | 3,0 | 626,0 | 99,0 | 12,0 | 53,5 | 273,5 | 41,5 | 59,0 | 273,5 |
| 1 | 7 | 247 | 1517 | 0,995 | 0,899 | 1,713 | 0 | 96,0 | 111,5 | 34,5 | 7292,5 | 271,0 | -45,0 | 317,0 | 3,0 | 187,0 | 190,0 | 3,0 | 626,0 | 99,0 | 12,0 | 53,5 | 273,5 | 41,5 | 59,0 | 273,5 |
| 1 | 7 | 231 | 1504 | 0,998 | 0,967 | 1,879 | 0 | 96,0 | 111,5 | 34,5 | 7292,5 | 271,0 | -45,0 | 317,0 | 3,0 | 187,0 | 190,0 | 3,0 | 626,0 | 99,0 | 12,0 | 53,5 | 273,5 | 41,5 | 59,0 | 273,5 |
| 1 | 24 | 315 | 1531 | 0,642 | 0,371 | 0,617 | -2 | 97,5 | 111,5 | 34,0 | 7298,5 | 272,0 | -44,5 | 316,5 | 3,5 | 188,5 | 190,5 | 3,5 | 623,0 | 98,5 | 12,0 | 54,0 | 272,5 | 41,0 | 58,5 | 272,5 |
| 1 | 24 | 315 | 1531 | 0,642 | 0,371 | 0,617 | 2 | 97,5 | 111,5 | 34,0 | 7298,5 | 272,0 | -44,5 | 316,5 | 3,5 | 188,5 | 190,5 | 3,5 | 623,0 | 98,5 | 12,0 | 54,0 | 272,5 | 41,0 | 58,5 | 272,5 |
| 1 | 15 | 335 | 1556 | 0,814 | 0,213 | 0,324 | 2 | 97,5 | 111,5 | 34,0 | 7298,5 | 272,0 | -44,5 | 316,5 | 3,5 | 188,5 | 190,5 | 3,5 | 623,0 | 98,5 | 12,0 | 54,0 | 272,5 | 41,0 | 58,5 | 272,5 |

Çizelge A.2. Kuşburnu türünün var yok verilerinin sürekli değişkenlere ait değerleri (Devamı)

| Kuşburnu | EGİM | BAKI | YUKSELTİ | SICIND | RADIND | BAKIND | TOPOZIN | bio1 | bio2 | bio3 | bio4 | bio5 | bio6 | bio7 | bio8 | bio9 | bio10 | bio11 | bio12 | bio13 | bio14 | bio15 | bio16 | bio17 | bio18 | bio19 |
|----------|------|------|----------|--------|--------|--------|---------|-------|-------|------|--------|-------|-------|-------|------|-------|-------|-------|-------|-------|-------|-------|-------|-------|-------|-------|
| 1 | 15 | 335 | 1556 | 0,814 | 0,213 | 0,324 | 0 | 97,5 | 111,5 | 34,0 | 7298,5 | 272,0 | -44,5 | 316,5 | 3,5 | 188,5 | 190,5 | 3,5 | 623,0 | 98,5 | 12,0 | 54,0 | 272,5 | 41,0 | 58,5 | 272,5 |
| 1 | 15 | 335 | 1556 | 0,814 | 0,213 | 0,324 | 2 | 97,5 | 111,5 | 34,0 | 7298,5 | 272,0 | -44,5 | 316,5 | 3,5 | 188,5 | 190,5 | 3,5 | 623,0 | 98,5 | 12,0 | 54,0 | 272,5 | 41,0 | 58,5 | 272,5 |
| 1 | 14 | 32 | 1584 | 0,737 | 0,000 | 0,014 | 0 | 96,5 | 111,5 | 34,0 | 7298,5 | 271,3 | -44,8 | 317,0 | 3,3 | 188,0 | 190,0 | 3,3 | 627,0 | 99,5 | 11,5 | 54,0 | 274,3 | 41,0 | 58,7 | 274,3 |
| 1 | 7 | 87 | 1600 | 0,970 | 0,228 | 0,569 | 6 | 96,5 | 111,5 | 34,0 | 7298,5 | 271,3 | -44,8 | 317,0 | 3,3 | 188,0 | 190,0 | 3,3 | 627,0 | 99,5 | 11,5 | 54,0 | 274,3 | 41,0 | 58,7 | 274,3 |
| 1 | 16 | 63 | 1607 | 0,766 | 0,081 | 0,240 | 0 | 96,5 | 111,5 | 34,0 | 7298,5 | 271,3 | -44,8 | 317,0 | 3,3 | 188,0 | 190,0 | 3,3 | 627,0 | 99,5 | 11,5 | 54,0 | 274,3 | 41,0 | 58,7 | 274,3 |
| 1 | 16 | 63 | 1607 | 0,766 | 0,081 | 0,240 | 4 | 96,5 | 111,5 | 34,0 | 7298,5 | 271,3 | -44,8 | 317,0 | 3,3 | 188,0 | 190,0 | 3,3 | 627,0 | 99,5 | 11,5 | 54,0 | 274,3 | 41,0 | 58,7 | 274,3 |
| 1 | 29 | 52 | 1626 | 0,115 | 0,036 | 0,130 | -6 | 96,5 | 111,5 | 34,0 | 7298,5 | 271,3 | -44,8 | 317,0 | 3,3 | 188,0 | 190,0 | 3,3 | 627,0 | 99,5 | 11,5 | 54,0 | 274,3 | 41,0 | 58,7 | 274,3 |
| 1 | 11 | 359 | 1431 | 0,862 | 0,071 | 0,083 | 0 | 100,3 | 112,0 | 34,5 | 7279,0 | 275,3 | -41,0 | 317,0 | 7,5 | 191,3 | 193,3 | 7,5 | 627,5 | 101,5 | 11,0 | 55,3 | 280,0 | 39,8 | 55,8 | 280,0 |
| 1 | 10 | 56 | 1405 | 0,900 | 0,051 | 0,166 | 8 | 100,3 | 112,0 | 34,5 | 7279,0 | 275,3 | -41,0 | 317,0 | 7,5 | 191,3 | 193,3 | 7,5 | 627,5 | 101,5 | 11,0 | 55,3 | 280,0 | 39,8 | 55,8 | 280,0 |
| 1 | 22 | 13 | 1375 | 0,232 | 0,022 | 0,014 | -1 | 100,3 | 112,0 | 34,5 | 7279,0 | 275,3 | -41,0 | 317,0 | 7,5 | 191,3 | 193,3 | 7,5 | 627,5 | 101,5 | 11,0 | 55,3 | 280,0 | 39,8 | 55,8 | 280,0 |
| 1 | 16 | 61 | 1384 | 0,760 | 0,071 | 0,217 | -1 | 100,3 | 112,0 | 34,5 | 7279,0 | 275,3 | -41,0 | 317,0 | 7,5 | 191,3 | 193,3 | 7,5 | 627,5 | 101,5 | 11,0 | 55,3 | 280,0 | 39,8 | 55,8 | 280,0 |
| 1 | 18 | 342 | 1411 | 0,703 | 0,165 | 0,240 | -1 | 100,3 | 112,0 | 34,5 | 7279,0 | 275,3 | -41,0 | 317,0 | 7,5 | 191,3 | 193,3 | 7,5 | 627,5 | 101,5 | 11,0 | 55,3 | 280,0 | 39,8 | 55,8 | 280,0 |
| 1 | 33 | 93 | 1163 | 0,324 | 0,273 | 0,666 | 10 | 114,0 | 116,5 | 36,0 | 7159,5 | 290,0 | -27,0 | 317,5 | 23,0 | 203,5 | 206,0 | 23,0 | 608,0 | 100,0 | 10,0 | 57,0 | 275,5 | 37,0 | 51,0 | 275,5 |
| 1 | 24 | 111 | 1159 | 0,758 | 0,422 | 0,974 | 17 | 114,0 | 116,5 | 36,0 | 7159,5 | 290,0 | -27,0 | 317,5 | 23,0 | 203,5 | 206,0 | 23,0 | 608,0 | 100,0 | 10,0 | 57,0 | 275,5 | 37,0 | 51,0 | 275,5 |
| 1 | 31 | 138 | 1129 | 0,780 | 0,655 | 1,431 | 11 | 114,0 | 116,5 | 36,0 | 7159,5 | 290,0 | -27,0 | 317,5 | 23,0 | 203,5 | 206,0 | 23,0 | 608,0 | 100,0 | 10,0 | 57,0 | 275,5 | 37,0 | 51,0 | 275,5 |
| 1 | 21 | 123 | 1088 | 0,861 | 0,526 | 1,182 | 0 | 114,0 | 116,5 | 36,0 | 7159,5 | 290,0 | -27,0 | 317,5 | 23,0 | 203,5 | 206,0 | 23,0 | 608,0 | 100,0 | 10,0 | 57,0 | 275,5 | 37,0 | 51,0 | 275,5 |
| 1 | 22 | 115 | 1117 | 0,816 | 0,456 | 1,044 | -1 | 114,0 | 116,5 | 36,0 | 7159,5 | 290,0 | -27,0 | 317,5 | 23,0 | 203,5 | 206,0 | 23,0 | 608,0 | 100,0 | 10,0 | 57,0 | 275,5 | 37,0 | 51,0 | 275,5 |
| 1 | 20 | 66 | 1272 | 0,647 | 0,095 | 0,275 | -3 | 106,0 | 114,5 | 35,0 | 7213,0 | 282,0 | -35,0 | 317,0 | 14,0 | 197,0 | 199,0 | 14,0 | 605,0 | 96,0 | 11,0 | 53,0 | 264,0 | 39,0 | 56,0 | 264,0 |
| 1 | 12 | 322 | 1251 | 0,903 | 0,313 | 0,508 | 2 | 106,0 | 114,5 | 35,0 | 7213,0 | 282,0 | -35,0 | 317,0 | 14,0 | 197,0 | 199,0 | 14,0 | 605,0 | 96,0 | 11,0 | 53,0 | 264,0 | 39,0 | 56,0 | 264,0 |
| 1 | 3 | 207 | 1078 | 1,000 | 0,999 | 1,997 | -4 | 112,0 | 115,0 | 35,0 | 7170,0 | 287,0 | -29,0 | 317,0 | 20,5 | 201,5 | 204,0 | 20,5 | 609,7 | 99,0 | 10,0 | 56,0 | 271,7 | 37,0 | 52,5 | 271,7 |
| 1 | 3 | 213 | 1076 | 1,000 | 0,999 | 1,983 | -3 | 112,0 | 115,0 | 35,0 | 7170,0 | 287,0 | -29,0 | 317,0 | 20,5 | 201,5 | 204,0 | 20,5 | 609,7 | 99,0 | 10,0 | 56,0 | 271,7 | 37,0 | 52,5 | 271,7 |
| 1 | 0 | -1 | 1075 | 1,000 | 0,071 | 0,083 | -3 | 112,0 | 115,0 | 35,0 | 7170,0 | 287,0 | -29,0 | 317,0 | 20,5 | 201,5 | 204,0 | 20,5 | 609,7 | 99,0 | 10,0 | 56,0 | 271,7 | 37,0 | 52,5 | 271,7 |
| 1 | 31 | 81 | 1084 | 0,292 | 0,185 | 0,478 | -8 | 112,0 | 115,0 | 35,0 | 7170,0 | 287,0 | -29,0 | 317,0 | 20,5 | 201,5 | 204,0 | 20,5 | 609,7 | 99,0 | 10,0 | 56,0 | 271,7 | 37,0 | 52,5 | 271,7 |
| 1 | 3 | 213 | 1076 | 1,000 | 0,999 | 1,983 | -3 | 112,0 | 115,0 | 35,0 | 7170,0 | 287,0 | -29,0 | 317,0 | 20,5 | 201,5 | 204,0 | 20,5 | 609,7 | 99,0 | 10,0 | 56,0 | 271,7 | 37,0 | 52,5 | 271,7 |

Çizelge A.2. Kuşburnu türünün var yok verilerinin sürekli değişkenlere ait değerleri (Devamı)

| Kuşburnu | EGİM | BAKI | YUKSELTİ | SICIND | RADIND | BAKIND | TOPOZIN | bio1 | bio2 | bio3 | bio4 | bio5 | bio6 | bio7 | bio8 | bio9 | bio10 | bio11 | bio12 | bio13 | bio14 | bio15 | bio16 | bio17 | bio18 | bio19 |
|----------|------|------|----------|--------|--------|--------|---------|-------|-------|------|--------|-------|-------|-------|------|-------|-------|-------|-------|-------|-------|-------|-------|-------|-------|-------|
| 1 | 23 | 272 | 1276 | 0,870 | 0,735 | 1,350 | 2 | 109,0 | 114,0 | 35,0 | 7229,5 | 284,0 | -33,0 | 317,0 | 16,5 | 199,0 | 201,0 | 16,5 | 634,5 | 107,5 | 10,0 | 59,5 | 295,0 | 36,5 | 50,5 | 295,0 |
| 1 | 24 | 290 | 1245 | 0,778 | 0,587 | 1,044 | -6 | 109,0 | 114,0 | 35,0 | 7229,5 | 284,0 | -33,0 | 317,0 | 16,5 | 199,0 | 201,0 | 16,5 | 634,5 | 107,5 | 10,0 | 59,5 | 295,0 | 36,5 | 50,5 | 295,0 |
| 1 | 29 | 295 | 1257 | 0,626 | 0,544 | 0,956 | 3 | 109,0 | 114,0 | 35,0 | 7229,5 | 284,0 | -33,0 | 317,0 | 16,5 | 199,0 | 201,0 | 16,5 | 634,5 | 107,5 | 10,0 | 59,5 | 295,0 | 36,5 | 50,5 | 295,0 |
| 1 | 36 | 69 | 1134 | -0,122 | 0,111 | 0,312 | -17 | 108,0 | 114,0 | 35,0 | 7194,0 | 283,0 | -33,0 | 317,0 | 16,0 | 198,0 | 200,0 | 16,0 | 604,0 | 94,5 | 11,0 | 53,5 | 262,0 | 39,5 | 56,0 | 262,0 |
| 1 | 31 | 263 | 1155 | 0,805 | 0,801 | 1,492 | -17 | 108,0 | 114,0 | 35,0 | 7194,0 | 283,0 | -33,0 | 317,0 | 16,0 | 198,0 | 200,0 | 16,0 | 604,0 | 94,5 | 11,0 | 53,5 | 262,0 | 39,5 | 56,0 | 262,0 |
| 1 | 0 | -1 | 1400 | 1,000 | 0,071 | 0,083 | -2 | 100,5 | 113,0 | 35,0 | 7270,5 | 275,5 | -41,0 | 317,0 | 7,5 | 191,0 | 193,5 | 7,5 | 618,0 | 98,0 | 11,0 | 54,0 | 270,5 | 40,5 | 57,5 | 270,5 |
| 1 | 12 | 36 | 1372 | 0,815 | 0,003 | 0,028 | -1 | 100,5 | 113,0 | 35,0 | 7270,5 | 275,5 | -41,0 | 317,0 | 7,5 | 191,0 | 193,5 | 7,5 | 618,0 | 98,0 | 11,0 | 54,0 | 270,5 | 40,5 | 57,5 | 270,5 |
| 1 | 21 | 229 | 1607 | 0,984 | 0,973 | 1,895 | 1 | 96,0 | 110,5 | 34,0 | 7305,0 | 270,0 | -45,5 | 316,5 | 2,5 | 187,5 | 189,0 | 2,5 | 645,0 | 105,5 | 11,5 | 57,0 | 292,5 | 40,5 | 57,5 | 292,5 |
| 1 | 21 | 229 | 1607 | 0,984 | 0,973 | 1,895 | 1 | 96,0 | 110,5 | 34,0 | 7305,0 | 270,0 | -45,5 | 316,5 | 2,5 | 187,5 | 189,0 | 2,5 | 645,0 | 105,5 | 11,5 | 57,0 | 292,5 | 40,5 | 57,5 | 292,5 |
| 1 | 22 | 324 | 1327 | 0,655 | 0,297 | 0,478 | -9 | 106,0 | 112,5 | 34,0 | 7243,0 | 281,0 | -35,0 | 316,5 | 14,0 | 197,0 | 199,0 | 14,0 | 642,5 | 108,5 | 10,5 | 59,5 | 300,0 | 37,5 | 52,0 | 300,0 |
| 1 | 22 | 324 | 1327 | 0,655 | 0,297 | 0,478 | 7 | 106,0 | 112,5 | 34,0 | 7243,0 | 281,0 | -35,0 | 316,5 | 14,0 | 197,0 | 199,0 | 14,0 | 642,5 | 108,5 | 10,5 | 59,5 | 300,0 | 37,5 | 52,0 | 300,0 |
| 1 | 12 | 357 | 1351 | 0,840 | 0,081 | 0,097 | 7 | 106,0 | 112,5 | 34,0 | 7243,0 | 281,0 | -35,0 | 316,5 | 14,0 | 197,0 | 199,0 | 14,0 | 642,5 | 108,5 | 10,5 | 59,5 | 300,0 | 37,5 | 52,0 | 300,0 |
| 1 | 20 | 95 | 1326 | 0,776 | 0,289 | 0,699 | -8 | 104,3 | 112,5 | 35,0 | 7271,3 | 278,8 | -37,3 | 316,7 | 11,5 | 195,5 | 197,5 | 11,5 | 643,5 | 108,0 | 10,0 | 60,0 | 298,8 | 37,5 | 52,5 | 298,8 |
| 1 | 0 | -1 | 1320 | 1,000 | 0,071 | 0,083 | 2 | 104,3 | 112,5 | 35,0 | 7271,3 | 278,8 | -37,3 | 316,7 | 11,5 | 195,5 | 197,5 | 11,5 | 643,5 | 108,0 | 10,0 | 60,0 | 298,8 | 37,5 | 52,5 | 298,8 |
| 1 | 32 | 78 | 1459 | 0,211 | 0,165 | 0,434 | -6 | 101,5 | 112,0 | 34,5 | 7293,5 | 275,5 | -40,5 | 317,0 | 8,5 | 192,5 | 194,5 | 8,5 | 642,5 | 107,0 | 11,0 | 58,5 | 296,0 | 38,5 | 54,0 | 296,0 |
| 1 | 15 | 63 | 1399 | 0,795 | 0,081 | 0,240 | -6 | 101,5 | 112,0 | 34,5 | 7293,5 | 275,5 | -40,5 | 317,0 | 8,5 | 192,5 | 194,5 | 8,5 | 642,5 | 107,0 | 11,0 | 58,5 | 296,0 | 38,5 | 54,0 | 296,0 |
| 1 | 21 | 85 | 1399 | 0,706 | 0,213 | 0,538 | -8 | 101,5 | 112,0 | 34,5 | 7293,5 | 275,5 | -40,5 | 317,0 | 8,5 | 192,5 | 194,5 | 8,5 | 642,5 | 107,0 | 11,0 | 58,5 | 296,0 | 38,5 | 54,0 | 296,0 |
| 1 | 12 | 284 | 1275 | 0,955 | 0,638 | 1,148 | 3 | 109,0 | 114,0 | 35,0 | 7227,0 | 284,0 | -33,0 | 317,0 | 16,5 | 199,0 | 201,5 | 16,5 | 634,5 | 107,0 | 10,5 | 59,0 | 294,5 | 37,5 | 50,5 | 294,5 |
| 1 | 14 | 355 | 1444 | 0,788 | 0,090 | 0,113 | 11 | 102,5 | 112,7 | 35,0 | 7272,5 | 276,5 | -39,5 | 316,5 | 9,5 | 193,5 | 195,0 | 9,5 | 637,5 | 106,0 | 11,0 | 58,0 | 292,0 | 38,0 | 53,5 | 292,0 |
| 1 | 30 | 40 | 1426 | -0,067 | 0,008 | 0,046 | 11 | 102,5 | 112,7 | 35,0 | 7272,5 | 276,5 | -39,5 | 316,5 | 9,5 | 193,5 | 195,0 | 9,5 | 637,5 | 106,0 | 11,0 | 58,0 | 292,0 | 38,0 | 53,5 | 292,0 |
| 1 | 17 | 17 | 1388 | 0,549 | 0,013 | 0,005 | -11 | 102,5 | 112,7 | 35,0 | 7272,5 | 276,5 | -39,5 | 316,5 | 9,5 | 193,5 | 195,0 | 9,5 | 637,5 | 106,0 | 11,0 | 58,0 | 292,0 | 38,0 | 53,5 | 292,0 |
| 1 | 29 | 0 | 1390 | -0,379 | 0,067 | 0,076 | -11 | 102,5 | 112,7 | 35,0 | 7272,5 | 276,5 | -39,5 | 316,5 | 9,5 | 193,5 | 195,0 | 9,5 | 637,5 | 106,0 | 11,0 | 58,0 | 292,0 | 38,0 | 53,5 | 292,0 |
| 1 | 22 | 266 | 1445 | 0,901 | 0,780 | 1,446 | -14 | 102,0 | 112,5 | 34,5 | 7274,0 | 277,0 | -39,0 | 317,0 | 9,0 | 193,0 | 195,0 | 9,0 | 637,0 | 105,5 | 11,0 | 57,5 | 292,5 | 38,0 | 54,0 | 292,5 |
| 1 | 22 | 266 | 1445 | 0,901 | 0,780 | 1,446 | -3 | 102,0 | 112,5 | 34,5 | 7274,0 | 277,0 | -39,0 | 317,0 | 9,0 | 193,0 | 195,0 | 9,0 | 637,0 | 105,5 | 11,0 | 57,5 | 292,5 | 38,0 | 54,0 | 292,5 |

Çizelge A.2. Kuşburnu türünün var yok verilerinin sürekli değişkenlere ait değerleri (Devamı)

| Kuşburnu | EGİM | BAKI | YUKSELTİ | SICIND | RADIND | BAKIND | TOPOZIN | bio1 | bio2 | bio3 | bio4 | bio5 | bio6 | bio7 | bio8 | bio9 | bio10 | bio11 | bio12 | bio13 | bio14 | bio15 | bio16 | bio17 | bio18 | bio19 |
|----------|------|------|----------|--------|--------|--------|---------|-------|-------|------|--------|-------|-------|-------|------|-------|-------|-------|-------|-------|-------|-------|-------|-------|-------|-------|
| 1 | 20 | 342 | 1655 | 0,632 | 0,165 | 0,240 | -2 | 94,0 | 109,5 | 34,0 | 7310,0 | 267,0 | -48,0 | 315,5 | 0,0 | 185,0 | 187,0 | 0,0 | 646,0 | 105,0 | 11,5 | 56,0 | 291,5 | 41,0 | 58,0 | 291,5 |
| 1 | 26 | 342 | 1701 | 0,374 | 0,165 | 0,240 | 4 | 94,0 | 109,5 | 34,0 | 7310,0 | 267,0 | -48,0 | 315,5 | 0,0 | 185,0 | 187,0 | 0,0 | 646,0 | 105,0 | 11,5 | 56,0 | 291,5 | 41,0 | 58,0 | 291,5 |
| 1 | 17 | 337 | 1701 | 0,753 | 0,199 | 0,299 | 3 | 94,0 | 109,5 | 34,0 | 7310,0 | 267,0 | -48,0 | 315,5 | 0,0 | 185,0 | 187,0 | 0,0 | 646,0 | 105,0 | 11,5 | 56,0 | 291,5 | 41,0 | 58,0 | 291,5 |
| 1 | 17 | 337 | 1701 | 0,753 | 0,199 | 0,299 | 3 | 94,0 | 109,5 | 34,0 | 7310,0 | 267,0 | -48,0 | 315,5 | 0,0 | 185,0 | 187,0 | 0,0 | 646,0 | 105,0 | 11,5 | 56,0 | 291,5 | 41,0 | 58,0 | 291,5 |
| 1 | 21 | 90 | 1563 | 0,729 | 0,250 | 0,617 | -1 | 99,0 | 111,5 | 35,0 | 7307,0 | 273,0 | -43,0 | 316,5 | 5,0 | 190,0 | 192,0 | 5,0 | 637,0 | 104,5 | 11,0 | 57,0 | 290,0 | 38,5 | 56,0 | 290,0 |
| 1 | 22 | 84 | 1585 | 0,671 | 0,206 | 0,523 | 13 | 99,0 | 111,5 | 35,0 | 7307,0 | 273,0 | -43,0 | 316,5 | 5,0 | 190,0 | 192,0 | 5,0 | 637,0 | 104,5 | 11,0 | 57,0 | 290,0 | 38,5 | 56,0 | 290,0 |
| 1 | 0 | -1 | 1610 | 1,000 | 0,071 | 0,083 | 13 | 99,0 | 111,5 | 35,0 | 7307,0 | 273,0 | -43,0 | 316,5 | 5,0 | 190,0 | 192,0 | 5,0 | 637,0 | 104,5 | 11,0 | 57,0 | 290,0 | 38,5 | 56,0 | 290,0 |
| 1 | 0 | -1 | 1610 | 1,000 | 0,071 | 0,083 | 13 | 99,0 | 111,5 | 35,0 | 7307,0 | 273,0 | -43,0 | 316,5 | 5,0 | 190,0 | 192,0 | 5,0 | 637,0 | 104,5 | 11,0 | 57,0 | 290,0 | 38,5 | 56,0 | 290,0 |
| 1 | 19 | 143 | 1590 | 0,937 | 0,695 | 1,508 | -5 | 99,0 | 111,5 | 35,0 | 7307,0 | 273,0 | -43,0 | 316,5 | 5,0 | 190,0 | 192,0 | 5,0 | 637,0 | 104,5 | 11,0 | 57,0 | 290,0 | 38,5 | 56,0 | 290,0 |
| 1 | 19 | 334 | 1657 | 0,704 | 0,220 | 0,337 | 1 | 93,5 | 110,5 | 34,0 | 7325,5 | 267,0 | -48,5 | 316,5 | 0,0 | 185,0 | 186,5 | 0,0 | 647,5 | 105,0 | 12,0 | 56,5 | 292,0 | 40,5 | 58,0 | 292,0 |
| 1 | 30 | 36 | 1657 | -0,107 | 0,003 | 0,028 | 14 | 93,5 | 110,5 | 34,0 | 7325,5 | 267,0 | -48,5 | 316,5 | 0,0 | 185,0 | 186,5 | 0,0 | 647,5 | 105,0 | 12,0 | 56,5 | 292,0 | 40,5 | 58,0 | 292,0 |
| 1 | 19 | 334 | 1657 | 0,704 | 0,220 | 0,337 | 1 | 93,5 | 110,5 | 34,0 | 7325,5 | 267,0 | -48,5 | 316,5 | 0,0 | 185,0 | 186,5 | 0,0 | 647,5 | 105,0 | 12,0 | 56,5 | 292,0 | 40,5 | 58,0 | 292,0 |
| 1 | 23 | 113 | 1594 | 0,788 | 0,439 | 1,009 | 10 | 94,5 | 110,0 | 34,5 | 7323,0 | 268,0 | -47,5 | 316,0 | 0,5 | 185,5 | 187,5 | 0,5 | 647,5 | 105,5 | 11,5 | 57,0 | 292,5 | 40,5 | 57,5 | 292,5 |
| 1 | 15 | 140 | 1594 | 0,958 | 0,671 | 1,462 | 10 | 94,5 | 110,0 | 34,5 | 7323,0 | 268,0 | -47,5 | 316,0 | 0,5 | 185,5 | 187,5 | 0,5 | 647,5 | 105,5 | 11,5 | 57,0 | 292,5 | 40,5 | 57,5 | 292,5 |
| 1 | 30 | 135 | 1328 | 0,777 | 0,629 | 1,383 | 3 | 105,7 | 112,5 | 35,0 | 7253,8 | 279,7 | -36,3 | 316,0 | 13,0 | 196,7 | 198,7 | 13,0 | 648,5 | 110,0 | 10,0 | 59,5 | 302,3 | 36,5 | 51,0 | 302,3 |
| 1 | 29 | 142 | 1374 | 0,834 | 0,687 | 1,492 | 3 | 105,7 | 112,5 | 35,0 | 7253,8 | 279,7 | -36,3 | 316,0 | 13,0 | 196,7 | 198,7 | 13,0 | 648,5 | 110,0 | 10,0 | 59,5 | 302,3 | 36,5 | 51,0 | 302,3 |
| 1 | 2 | 243 | 1476 | 1,000 | 0,919 | 1,760 | -1 | 97,5 | 110,5 | 34,0 | 7307,5 | 271,5 | -44,5 | 317,0 | 3,5 | 188,5 | 190,5 | 3,5 | 642,5 | 105,0 | 11,5 | 56,5 | 291,5 | 39,0 | 56,0 | 291,5 |
| 1 | 2 | 243 | 1476 | 1,000 | 0,919 | 1,760 | 0 | 97,5 | 110,5 | 34,0 | 7307,5 | 271,5 | -44,5 | 317,0 | 3,5 | 188,5 | 190,5 | 3,5 | 642,5 | 105,0 | 11,5 | 56,5 | 291,5 | 39,0 | 56,0 | 291,5 |
| 1 | 3 | 179 | 1472 | 1,000 | 0,929 | 1,917 | -4 | 97,5 | 110,5 | 34,0 | 7307,5 | 271,5 | -44,5 | 317,0 | 3,5 | 188,5 | 190,5 | 3,5 | 642,5 | 105,0 | 11,5 | 56,5 | 291,5 | 39,0 | 56,0 | 291,5 |
| 1 | 4 | 280 | 1269 | 0,996 | 0,671 | 1,216 | -2 | 103,5 | 113,5 | 35,0 | 7262,0 | 278,5 | -38,5 | 317,5 | 10,0 | 193,5 | 196,0 | 10,0 | 615,5 | 98,5 | 11,0 | 54,5 | 272,0 | 39,5 | 56,0 | 272,0 |
| 1 | 0 | -1 | 1480 | 1,000 | 0,071 | 0,083 | -1 | 98,5 | 111,5 | 34,0 | 7287,0 | 273,5 | -43,5 | 316,5 | 5,0 | 189,5 | 191,5 | 5,0 | 620,5 | 98,0 | 12,0 | 54,0 | 272,0 | 41,0 | 58,0 | 272,0 |
| 1 | 0 | -1 | 1480 | 1,000 | 0,071 | 0,083 | 0 | 98,5 | 111,5 | 34,0 | 7287,0 | 273,5 | -43,5 | 316,5 | 5,0 | 189,5 | 191,5 | 5,0 | 620,5 | 98,0 | 12,0 | 54,0 | 272,0 | 41,0 | 58,0 | 272,0 |
| 1 | 0 | -1 | 1480 | 1,000 | 0,071 | 0,083 | 0 | 98,5 | 111,5 | 34,0 | 7287,0 | 273,5 | -43,5 | 316,5 | 5,0 | 189,5 | 191,5 | 5,0 | 620,5 | 98,0 | 12,0 | 54,0 | 272,0 | 41,0 | 58,0 | 272,0 |
| 1 | 20 | 27 | 1651 | 0,440 | 0,001 | 0,003 | 4 | 98,0 | 111,5 | 33,5 | 7280,2 | 272,7 | -43,7 | 316,5 | 5,0 | 188,8 | 191,0 | 5,0 | 624,2 | 99,0 | 12,0 | 54,0 | 273,5 | 40,4 | 57,8 | 273,5 |

Çizelge A.2. Kuşburnu türünün var yok verilerinin sürekli değişkenlere ait değerleri (Devamı)

| Kuşburnu | EGİM | BAKI | YUKSELTİ | SICIND | RADIND | BAKIND | TOPOZIN | bio1 | bio2 | bio3 | bio4 | bio5 | bio6 | bio7 | bio8 | bio9 | bio10 | bio11 | bio12 | bio13 | bio14 | bio15 | bio16 | bio17 | bio18 | bio19 |
|----------|------|------|----------|--------|--------|--------|---------|-------|-------|------|--------|-------|-------|-------|------|-------|-------|-------|-------|-------|-------|-------|-------|-------|-------|-------|
| 1 | 20 | 27 | 1651 | 0,440 | 0,001 | 0,003 | 5 | 98,0 | 111,5 | 33,5 | 7280,2 | 272,7 | -43,7 | 316,5 | 5,0 | 188,8 | 191,0 | 5,0 | 624,2 | 99,0 | 12,0 | 54,0 | 273,5 | 40,4 | 57,8 | 273,5 |
| 1 | 16 | 5 | 1665 | 0,550 | 0,047 | 0,046 | -2 | 98,0 | 111,5 | 33,5 | 7280,2 | 272,7 | -43,7 | 316,5 | 5,0 | 188,8 | 191,0 | 5,0 | 624,2 | 99,0 | 12,0 | 54,0 | 273,5 | 40,4 | 57,8 | 273,5 |
| 1 | 15 | 32 | 1674 | 0,699 | 0,000 | 0,014 | 5 | 98,0 | 111,5 | 33,5 | 7280,2 | 272,7 | -43,7 | 316,5 | 5,0 | 188,8 | 191,0 | 5,0 | 624,2 | 99,0 | 12,0 | 54,0 | 273,5 | 40,4 | 57,8 | 273,5 |
| 1 | 16 | 74 | 1615 | 0,800 | 0,140 | 0,377 | -7 | 98,0 | 111,5 | 33,5 | 7280,2 | 272,7 | -43,7 | 316,5 | 5,0 | 188,8 | 191,0 | 5,0 | 624,2 | 99,0 | 12,0 | 54,0 | 273,5 | 40,4 | 57,8 | 273,5 |
| 1 | 25 | 21 | 1435 | 0,094 | 0,006 | 0,000 | -2 | 106,5 | 113,0 | 34,5 | 7243,3 | 281,8 | -35,0 | 317,0 | 14,3 | 197,3 | 199,5 | 14,3 | 626,3 | 103,3 | 10,5 | 56,8 | 283,5 | 38,0 | 52,5 | 283,5 |
| 1 | 15 | 13 | 1398 | 0,632 | 0,022 | 0,014 | -7 | 106,5 | 113,0 | 34,5 | 7243,3 | 281,8 | -35,0 | 317,0 | 14,3 | 197,3 | 199,5 | 14,3 | 626,3 | 103,3 | 10,5 | 56,8 | 283,5 | 38,0 | 52,5 | 283,5 |
| 1 | 28 | 25 | 1217 | -0,076 | 0,002 | 0,001 | 2 | 115,0 | 114,5 | 35,0 | 7182,0 | 290,0 | -27,0 | 317,0 | 23,0 | 205,0 | 207,0 | 23,0 | 631,0 | 108,0 | 8,5 | 60,0 | 293,0 | 35,0 | 48,0 | 293,0 |
| 1 | 19 | 302 | 1527 | 0,826 | 0,483 | 0,835 | 1 | 94,3 | 110,0 | 33,5 | 7363,5 | 268,3 | -48,5 | 317,5 | 0,5 | 186,3 | 187,8 | 0,5 | 645,5 | 106,0 | 11,5 | 57,0 | 290,5 | 40,0 | 56,5 | 290,5 |
| 1 | 30 | 312 | 1577 | 0,451 | 0,396 | 0,666 | 2 | 96,0 | 111,0 | 34,0 | 7301,8 | 270,8 | -45,5 | 316,0 | 2,0 | 187,0 | 189,3 | 2,0 | 623,5 | 98,5 | 12,0 | 53,5 | 272,5 | 41,5 | 59,0 | 272,5 |
| 1 | 31 | 317 | 1614 | 0,362 | 0,354 | 0,585 | 2 | 96,0 | 111,0 | 34,0 | 7301,8 | 270,8 | -45,5 | 316,0 | 2,0 | 187,0 | 189,3 | 2,0 | 623,5 | 98,5 | 12,0 | 53,5 | 272,5 | 41,5 | 59,0 | 272,5 |
| 1 | 23 | 318 | 1600 | 0,656 | 0,345 | 0,569 | 0 | 96,0 | 111,0 | 34,0 | 7301,8 | 270,8 | -45,5 | 316,0 | 2,0 | 187,0 | 189,3 | 2,0 | 623,5 | 98,5 | 12,0 | 53,5 | 272,5 | 41,5 | 59,0 | 272,5 |
| 1 | 30 | 312 | 1577 | 0,451 | 0,396 | 0,666 | -10 | 96,0 | 111,0 | 34,0 | 7301,8 | 270,8 | -45,5 | 316,0 | 2,0 | 187,0 | 189,3 | 2,0 | 623,5 | 98,5 | 12,0 | 53,5 | 272,5 | 41,5 | 59,0 | 272,5 |
| 1 | 26 | 2 | 1567 | -0,136 | 0,059 | 0,063 | -3 | 96,0 | 111,0 | 34,0 | 7301,8 | 270,8 | -45,5 | 316,0 | 2,0 | 187,0 | 189,3 | 2,0 | 623,5 | 98,5 | 12,0 | 53,5 | 272,5 | 41,5 | 59,0 | 272,5 |
| 1 | 10 | 21 | 1546 | 0,848 | 0,006 | 0,000 | 3 | 94,0 | 110,5 | 34,0 | 7313,3 | 268,8 | -47,3 | 317,0 | 1,0 | 185,0 | 187,0 | 1,0 | 631,5 | 100,5 | 12,0 | 54,0 | 278,0 | 41,5 | 59,3 | 278,0 |
| 1 | 12 | 47 | 1576 | 0,838 | 0,022 | 0,090 | -2 | 94,0 | 110,5 | 34,0 | 7313,3 | 268,8 | -47,3 | 317,0 | 1,0 | 185,0 | 187,0 | 1,0 | 631,5 | 100,5 | 12,0 | 54,0 | 278,0 | 41,5 | 59,3 | 278,0 |
| 1 | 11 | 93 | 1551 | 0,932 | 0,273 | 0,666 | -2 | 94,0 | 110,5 | 34,0 | 7313,3 | 268,8 | -47,3 | 317,0 | 1,0 | 185,0 | 187,0 | 1,0 | 631,5 | 100,5 | 12,0 | 54,0 | 278,0 | 41,5 | 59,3 | 278,0 |
| 1 | 6 | 42 | 1554 | 0,957 | 0,011 | 0,057 | -1 | 94,0 | 110,5 | 34,0 | 7313,3 | 268,8 | -47,3 | 317,0 | 1,0 | 185,0 | 187,0 | 1,0 | 631,5 | 100,5 | 12,0 | 54,0 | 278,0 | 41,5 | 59,3 | 278,0 |
| 1 | 6 | 15 | 1544 | 0,941 | 0,017 | 0,009 | 2 | 94,0 | 110,5 | 34,0 | 7313,3 | 268,8 | -47,3 | 317,0 | 1,0 | 185,0 | 187,0 | 1,0 | 631,5 | 100,5 | 12,0 | 54,0 | 278,0 | 41,5 | 59,3 | 278,0 |
| 1 | 14 | 113 | 1526 | 0,925 | 0,439 | 1,009 | 3 | 99,5 | 111,5 | 34,5 | 7286,5 | 274,0 | -42,5 | 317,0 | 6,0 | 190,5 | 192,5 | 6,0 | 631,0 | 102,5 | 11,5 | 55,5 | 281,5 | 40,0 | 56,5 | 281,5 |
| 1 | 28 | 110 | 1520 | 0,654 | 0,413 | 0,956 | 0 | 99,5 | 111,5 | 34,5 | 7286,5 | 274,0 | -42,5 | 317,0 | 6,0 | 190,5 | 192,5 | 6,0 | 631,0 | 102,5 | 11,5 | 55,5 | 281,5 | 40,0 | 56,5 | 281,5 |
| 1 | 14 | 113 | 1526 | 0,925 | 0,439 | 1,009 | -4 | 99,5 | 111,5 | 34,5 | 7286,5 | 274,0 | -42,5 | 317,0 | 6,0 | 190,5 | 192,5 | 6,0 | 631,0 | 102,5 | 11,5 | 55,5 | 281,5 | 40,0 | 56,5 | 281,5 |
| 1 | 16 | 47 | 1325 | 0,712 | 0,022 | 0,090 | -5 | 106,0 | 114,5 | 35,5 | 7218,0 | 281,0 | -36,0 | 317,0 | 13,0 | 196,0 | 198,0 | 13,0 | 610,0 | 97,0 | 11,0 | 54,5 | 269,0 | 39,5 | 56,0 | 269,0 |
| 1 | 9 | 47 | 1309 | 0,909 | 0,022 | 0,090 | -5 | 106,0 | 114,5 | 35,5 | 7218,0 | 281,0 | -36,0 | 317,0 | 13,0 | 196,0 | 198,0 | 13,0 | 610,0 | 97,0 | 11,0 | 54,5 | 269,0 | 39,5 | 56,0 | 269,0 |
| 1 | 0 | -1 | 1200 | 1,000 | 0,071 | 0,083 | -1 | 105,5 | 114,0 | 35,0 | 7231,2 | 280,0 | -35,0 | 317,0 | 13,5 | 195,5 | 198,5 | 13,5 | 608,5 | 96,0 | 11,0 | 54,0 | 265,3 | 39,5 | 55,3 | 265,3 |

Çizelge A.2. Kuşburnu türünün var yok verilerinin sürekli değişkenlere ait değerleri (Devamı)

| Kuşburnu | EGİM | BAKI | YUKSELTİ | SICIND | RADIND | BAKIND | TOPOZIN | bio1 | bio2 | bio3 | bio4 | bio5 | bio6 | bio7 | bio8 | bio9 | bio10 | bio11 | bio12 | bio13 | bio14 | bio15 | bio16 | bio17 | bio18 | bio19 |
|----------|------|------|----------|--------|--------|--------|---------|-------|-------|------|--------|-------|-------|-------|-------|-------|-------|-------|-------|-------|-------|-------|-------|-------|-------|-------|
| 1 | 5 | 234 | 1207 | 0,999 | 0,957 | 1,853 | -1 | 105,5 | 114,0 | 35,0 | 7231,2 | 280,0 | -35,0 | 317,0 | 13,5 | 195,5 | 198,5 | 13,5 | 608,5 | 96,0 | 11,0 | 54,0 | 265,3 | 39,5 | 55,3 | 265,3 |
| 1 | 23 | 222 | 1214 | 0,990 | 0,989 | 1,943 | 0 | 105,5 | 114,0 | 35,0 | 7231,2 | 280,0 | -35,0 | 317,0 | 13,5 | 195,5 | 198,5 | 13,5 | 608,5 | 96,0 | 11,0 | 54,0 | 265,3 | 39,5 | 55,3 | 265,3 |
| 1 | 17 | 195 | 1229 | 0,999 | 0,983 | 1,991 | -3 | 105,5 | 114,0 | 35,0 | 7231,2 | 280,0 | -35,0 | 317,0 | 13,5 | 195,5 | 198,5 | 13,5 | 608,5 | 96,0 | 11,0 | 54,0 | 265,3 | 39,5 | 55,3 | 265,3 |
| 1 | 37 | 313 | 1196 | 0,117 | 0,388 | 0,650 | -6 | 112,5 | 115,0 | 35,0 | 7165,3 | 287,5 | -28,5 | 317,0 | 20,5 | 201,5 | 204,5 | 20,5 | 609,5 | 98,5 | 10,0 | 56,0 | 272,0 | 37,0 | 52,0 | 272,0 |
| 1 | 12 | 180 | 1069 | 0,997 | 0,933 | 1,924 | 9 | 107,5 | 113,0 | 35,5 | 7281,0 | 280,7 | -33,0 | 318,0 | 14,5 | 196,3 | 200,0 | 14,5 | 633,0 | 106,0 | 9,0 | 58,5 | 290,3 | 37,3 | 50,5 | 290,3 |
| 1 | 16 | 118 | 1860 | 0,912 | 0,483 | 1,096 | 2 | 89,0 | 109,0 | 33,5 | 7350,0 | 262,8 | -52,8 | 315,5 | -4,8 | 180,8 | 182,5 | -4,8 | 653,8 | 105,5 | 12,5 | 55,0 | 291,0 | 42,3 | 61,0 | 291,0 |
| 1 | 36 | 64 | 1812 | -0,184 | 0,085 | 0,251 | 15 | 89,0 | 109,0 | 33,5 | 7350,0 | 262,8 | -52,8 | 315,5 | -4,8 | 180,8 | 182,5 | -4,8 | 653,8 | 105,5 | 12,5 | 55,0 | 291,0 | 42,3 | 61,0 | 291,0 |
| 1 | 31 | 85 | 1753 | 0,332 | 0,213 | 0,538 | 10 | 89,0 | 109,0 | 33,5 | 7350,0 | 262,8 | -52,8 | 315,5 | -4,8 | 180,8 | 182,5 | -4,8 | 653,8 | 105,5 | 12,5 | 55,0 | 291,0 | 42,3 | 61,0 | 291,0 |
| 1 | 25 | 156 | 1283 | 0,929 | 0,794 | 1,688 | 11 | 109,0 | 113,0 | 34,5 | 7248,5 | 284,0 | -33,0 | 317,0 | 16,0 | 200,0 | 201,5 | 16,0 | 645,0 | 110,5 | 9,5 | 60,0 | 301,5 | 36,0 | 49,5 | 301,5 |
| 1 | 20 | 101 | 1286 | 0,799 | 0,337 | 0,801 | -11 | 109,0 | 113,0 | 34,5 | 7248,5 | 284,0 | -33,0 | 317,0 | 16,0 | 200,0 | 201,5 | 16,0 | 645,0 | 110,5 | 9,5 | 60,0 | 301,5 | 36,0 | 49,5 | 301,5 |
| 1 | 9 | 109 | 1304 | 0,967 | 0,405 | 0,939 | 8 | 109,0 | 113,0 | 34,5 | 7248,5 | 284,0 | -33,0 | 317,0 | 16,0 | 200,0 | 201,5 | 16,0 | 645,0 | 110,5 | 9,5 | 60,0 | 301,5 | 36,0 | 49,5 | 301,5 |
| 1 | 24 | 44 | 1298 | 0,333 | 0,015 | 0,070 | 1 | 109,0 | 113,0 | 34,5 | 7248,5 | 284,0 | -33,0 | 317,0 | 16,0 | 200,0 | 201,5 | 16,0 | 645,0 | 110,5 | 9,5 | 60,0 | 301,5 | 36,0 | 49,5 | 301,5 |
| 1 | 37 | 73 | 1235 | -0,132 | 0,134 | 0,364 | 3 | 109,0 | 113,0 | 34,5 | 7248,5 | 284,0 | -33,0 | 317,0 | 16,0 | 200,0 | 201,5 | 16,0 | 645,0 | 110,5 | 9,5 | 60,0 | 301,5 | 36,0 | 49,5 | 301,5 |
| 1 | 36 | 46 | 1187 | -0,402 | 0,019 | 0,083 | -14 | 106,0 | 112,5 | 34,5 | 7272,0 | 280,5 | -36,0 | 317,0 | 13,0 | 197,0 | 199,0 | 13,0 | 643,0 | 109,0 | 10,0 | 59,5 | 298,0 | 37,0 | 51,5 | 298,0 |
| 1 | 29 | 185 | 1205 | 0,986 | 0,953 | 1,954 | 0 | 106,0 | 112,5 | 34,5 | 7272,0 | 280,5 | -36,0 | 317,0 | 13,0 | 197,0 | 199,0 | 13,0 | 643,0 | 109,0 | 10,0 | 59,5 | 298,0 | 37,0 | 51,5 | 298,0 |
| 1 | 35 | 41 | 1221 | -0,392 | 0,009 | 0,052 | -5 | 106,0 | 112,5 | 34,5 | 7272,0 | 280,5 | -36,0 | 317,0 | 13,0 | 197,0 | 199,0 | 13,0 | 643,0 | 109,0 | 10,0 | 59,5 | 298,0 | 37,0 | 51,5 | 298,0 |
| 1 | 15 | 168 | 1235 | 0,987 | 0,872 | 1,824 | -11 | 106,0 | 112,5 | 34,5 | 7272,0 | 280,5 | -36,0 | 317,0 | 13,0 | 197,0 | 199,0 | 13,0 | 643,0 | 109,0 | 10,0 | 59,5 | 298,0 | 37,0 | 51,5 | 298,0 |
| 1 | 18 | 180 | 1252 | 0,992 | 0,933 | 1,924 | -10 | 106,0 | 112,5 | 34,5 | 7272,0 | 280,5 | -36,0 | 317,0 | 13,0 | 197,0 | 199,0 | 13,0 | 643,0 | 109,0 | 10,0 | 59,5 | 298,0 | 37,0 | 51,5 | 298,0 |
| 1 | 0 | -1 | 2320 | 1,000 | 0,071 | 0,083 | 20 | 64,5 | 103,5 | 32,0 | 7364,5 | 236,0 | -75,0 | 311,5 | -28,5 | 156,5 | 158,5 | -28,5 | 697,5 | 106,0 | 15,0 | 51,7 | 297,0 | 50,5 | 75,0 | 297,0 |
| 1 | 21 | 86 | 2324 | 0,711 | 0,220 | 0,554 | 40 | 64,5 | 103,5 | 32,0 | 7364,5 | 236,0 | -75,0 | 311,5 | -28,5 | 156,5 | 158,5 | -28,5 | 697,5 | 106,0 | 15,0 | 51,7 | 297,0 | 50,5 | 75,0 | 297,0 |
| 1 | 17 | 65 | 1375 | 0,743 | 0,090 | 0,263 | -8 | 101,5 | 112,0 | 34,5 | 7293,5 | 275,5 | -40,5 | 317,0 | 8,5 | 192,5 | 194,5 | 8,5 | 642,5 | 107,0 | 11,0 | 58,5 | 296,0 | 38,5 | 54,0 | 296,0 |
| 0 | 25 | 238 | 1276 | 0,959 | 0,941 | 1,814 | -2 | 105,8 | 112,0 | 34,5 | 7300,5 | 280,3 | -37,3 | 318,0 | 12,3 | 196,8 | 198,5 | 12,3 | 643,0 | 109,5 | 10,0 | 59,5 | 297,3 | 37,0 | 50,5 | 297,3 |
| 0 | 17 | 282 | 1261 | 0,911 | 0,655 | 1,182 | -2 | 105,8 | 112,0 | 34,5 | 7300,5 | 280,3 | -37,3 | 318,0 | 12,3 | 196,8 | 198,5 | 12,3 | 643,0 | 109,5 | 10,0 | 59,5 | 297,3 | 37,0 | 50,5 | 297,3 |
| 0 | 0 | -1 | 1685 | 1,000 | 0,071 | 0,083 | 0 | 80,5 | 107,0 | 33,5 | 7358,0 | 253,3 | -60,5 | 314,0 | -13,0 | 172,5 | 174,0 | -13,0 | 665,5 | 105,0 | 13,0 | 53,5 | 292,0 | 45,3 | 65,8 | 292,0 |

Çizelge A.2. Kuşburnu türünün var yok verilerinin sürekli değişkenlere ait değerleri (Devamı)

| Kuşburnu | EGİM | BAKI | YUKSELTİ | SICIND | RADIND | BAKIND | TOPOZIN | bio1 | bio2 | bio3 | bio4 | bio5 | bio6 | bio7 | bio8 | bio9 | bio10 | bio11 | bio12 | bio13 | bio14 | bio15 | bio16 | bio17 | bio18 | bio19 |
|----------|------|------|----------|--------|--------|--------|---------|-------|-------|------|--------|-------|-------|-------|-------|-------|-------|-------|-------|-------|-------|-------|-------|-------|-------|-------|
| 0 | 14 | 298 | 1690 | 0,915 | 0,517 | 0,904 | -7 | 80,5 | 107,0 | 33,5 | 7358,0 | 253,3 | -60,5 | 314,0 | -13,0 | 172,5 | 174,0 | -13,0 | 665,5 | 105,0 | 13,0 | 53,5 | 292,0 | 45,3 | 65,8 | 292,0 |
| 0 | 18 | 271 | 1694 | 0,925 | 0,742 | 1,367 | 0 | 80,5 | 107,0 | 33,5 | 7358,0 | 253,3 | -60,5 | 314,0 | -13,0 | 172,5 | 174,0 | -13,0 | 665,5 | 105,0 | 13,0 | 53,5 | 292,0 | 45,3 | 65,8 | 292,0 |
| 0 | 13 | 258 | 1696 | 0,975 | 0,835 | 1,566 | 4 | 80,5 | 107,0 | 33,5 | 7358,0 | 253,3 | -60,5 | 314,0 | -13,0 | 172,5 | 174,0 | -13,0 | 665,5 | 105,0 | 13,0 | 53,5 | 292,0 | 45,3 | 65,8 | 292,0 |
| 0 | 0 | -1 | 1030 | 1,000 | 0,071 | 0,083 | -2 | 116,8 | 118,0 | 36,5 | 7133,5 | 292,7 | -24,7 | 318,0 | 26,2 | 206,0 | 208,7 | 26,2 | 602,0 | 99,5 | 10,0 | 57,0 | 273,2 | 36,0 | 49,8 | 273,2 |
| 0 | 4 | 300 | 1030 | 0,993 | 0,500 | 0,869 | 0 | 116,8 | 118,0 | 36,5 | 7133,5 | 292,7 | -24,7 | 318,0 | 26,2 | 206,0 | 208,7 | 26,2 | 602,0 | 99,5 | 10,0 | 57,0 | 273,2 | 36,0 | 49,8 | 273,2 |
| 0 | 4 | 300 | 1030 | 0,993 | 0,500 | 0,869 | -5 | 116,8 | 118,0 | 36,5 | 7133,5 | 292,7 | -24,7 | 318,0 | 26,2 | 206,0 | 208,7 | 26,2 | 602,0 | 99,5 | 10,0 | 57,0 | 273,2 | 36,0 | 49,8 | 273,2 |
| 0 | 21 | 282 | 1047 | 0,861 | 0,655 | 1,182 | 4 | 116,8 | 118,0 | 36,5 | 7133,5 | 292,7 | -24,7 | 318,0 | 26,2 | 206,0 | 208,7 | 26,2 | 602,0 | 99,5 | 10,0 | 57,0 | 273,2 | 36,0 | 49,8 | 273,2 |
| 0 | 21 | 282 | 1047 | 0,861 | 0,655 | 1,182 | 4 | 116,8 | 118,0 | 36,5 | 7133,5 | 292,7 | -24,7 | 318,0 | 26,2 | 206,0 | 208,7 | 26,2 | 602,0 | 99,5 | 10,0 | 57,0 | 273,2 | 36,0 | 49,8 | 273,2 |
| 0 | 27 | 242 | 1014 | 0,939 | 0,924 | 1,772 | 11 | 125,5 | 118,0 | 36,0 | 7053,5 | 300,5 | -14,5 | 315,5 | 36,0 | 214,5 | 216,5 | 36,0 | 618,7 | 108,0 | 9,0 | 61,5 | 292,5 | 32,5 | 43,5 | 292,5 |
| 0 | 25 | 213 | 984 | 0,996 | 0,999 | 1,983 | -9 | 125,5 | 118,0 | 36,0 | 7053,5 | 300,5 | -14,5 | 315,5 | 36,0 | 214,5 | 216,5 | 36,0 | 618,7 | 108,0 | 9,0 | 61,5 | 292,5 | 32,5 | 43,5 | 292,5 |
| 0 | 22 | 244 | 1002 | 0,957 | 0,915 | 1,749 | 14 | 122,0 | 115,0 | 35,5 | 7143,0 | 295,0 | -20,0 | 316,0 | 31,0 | 211,0 | 213,0 | 31,0 | 657,0 | 118,0 | 8,0 | 64,0 | 318,0 | 33,0 | 43,0 | 318,0 |
| 0 | 19 | 351 | 1034 | 0,628 | 0,111 | 0,147 | 14 | 122,0 | 115,0 | 35,5 | 7143,0 | 295,0 | -20,0 | 316,0 | 31,0 | 211,0 | 213,0 | 31,0 | 657,0 | 118,0 | 8,0 | 64,0 | 318,0 | 33,0 | 43,0 | 318,0 |
| 0 | 4 | 279 | 1476 | 0,996 | 0,679 | 1,233 | 0 | 97,0 | 112,0 | 34,0 | 7299,0 | 271,0 | -45,0 | 316,5 | 3,0 | 188,0 | 190,0 | 3,0 | 628,0 | 100,0 | 12,5 | 54,0 | 277,0 | 41,0 | 58,0 | 277,0 |
| 0 | 5 | 261 | 1486 | 0,996 | 0,815 | 1,522 | 0 | 97,0 | 112,0 | 34,0 | 7299,0 | 271,0 | -45,0 | 316,5 | 3,0 | 188,0 | 190,0 | 3,0 | 628,0 | 100,0 | 12,5 | 54,0 | 277,0 | 41,0 | 58,0 | 277,0 |
| 0 | 4 | 275 | 1477 | 0,996 | 0,711 | 1,301 | 0 | 97,0 | 112,0 | 34,0 | 7299,0 | 271,0 | -45,0 | 316,5 | 3,0 | 188,0 | 190,0 | 3,0 | 628,0 | 100,0 | 12,5 | 54,0 | 277,0 | 41,0 | 58,0 | 277,0 |
| 0 | 7 | 231 | 1504 | 0,998 | 0,967 | 1,879 | -1 | 96,0 | 111,5 | 34,5 | 7292,5 | 271,0 | -45,0 | 317,0 | 3,0 | 187,0 | 190,0 | 3,0 | 626,0 | 99,0 | 12,0 | 53,5 | 273,5 | 41,5 | 59,0 | 273,5 |
| 0 | 17 | 273 | 1145 | 0,930 | 0,727 | 1,334 | 1 | 114,0 | 116,0 | 36,0 | 7152,0 | 290,0 | -27,0 | 317,5 | 23,0 | 204,0 | 206,0 | 23,0 | 608,0 | 100,0 | 10,0 | 57,0 | 275,0 | 36,0 | 51,0 | 275,0 |
| 0 | 29 | 281 | 1151 | 0,725 | 0,663 | 1,199 | -4 | 114,0 | 116,0 | 36,0 | 7152,0 | 290,0 | -27,0 | 317,5 | 23,0 | 204,0 | 206,0 | 23,0 | 608,0 | 100,0 | 10,0 | 57,0 | 275,0 | 36,0 | 51,0 | 275,0 |
| 0 | 32 | 286 | 1166 | 0,613 | 0,621 | 1,113 | -3 | 114,0 | 116,0 | 36,0 | 7152,0 | 290,0 | -27,0 | 317,5 | 23,0 | 204,0 | 206,0 | 23,0 | 608,0 | 100,0 | 10,0 | 57,0 | 275,0 | 36,0 | 51,0 | 275,0 |
| 0 | 14 | 297 | 1129 | 0,917 | 0,526 | 0,922 | -7 | 114,0 | 116,0 | 36,0 | 7152,0 | 290,0 | -27,0 | 317,5 | 23,0 | 204,0 | 206,0 | 23,0 | 608,0 | 100,0 | 10,0 | 57,0 | 275,0 | 36,0 | 51,0 | 275,0 |
| 0 | 14 | 297 | 1129 | 0,917 | 0,526 | 0,922 | -1 | 114,0 | 116,0 | 36,0 | 7152,0 | 290,0 | -27,0 | 317,5 | 23,0 | 204,0 | 206,0 | 23,0 | 608,0 | 100,0 | 10,0 | 57,0 | 275,0 | 36,0 | 51,0 | 275,0 |
| 0 | 24 | 46 | 1303 | 0,347 | 0,019 | 0,083 | 0 | 106,0 | 114,5 | 35,0 | 7213,0 | 282,0 | -35,0 | 317,0 | 14,0 | 197,0 | 199,0 | 14,0 | 605,0 | 96,0 | 11,0 | 53,0 | 264,0 | 39,0 | 56,0 | 264,0 |
| 0 | 9 | 320 | 1270 | 0,948 | 0,329 | 0,538 | -1 | 106,0 | 114,5 | 35,0 | 7213,0 | 282,0 | -35,0 | 317,0 | 14,0 | 197,0 | 199,0 | 14,0 | 605,0 | 96,0 | 11,0 | 53,0 | 264,0 | 39,0 | 56,0 | 264,0 |
| 0 | 20 | 323 | 1254 | 0,721 | 0,305 | 0,492 | -1 | 106,0 | 114,5 | 35,0 | 7213,0 | 282,0 | -35,0 | 317,0 | 14,0 | 197,0 | 199,0 | 14,0 | 605,0 | 96,0 | 11,0 | 53,0 | 264,0 | 39,0 | 56,0 | 264,0 |

Çizelge A.2. Kuşburnu türünün var yok verilerinin sürekli değişkenlere ait değerleri (Devamı)

| Kuşburnu | EGİM | BAKI | YUKSELTİ | SICIND | RADIND | BAKIND | TOPOZIN | bio1 | bio2 | bio3 | bio4 | bio5 | bio6 | bio7 | bio8 | bio9 | bio10 | bio11 | bio12 | bio13 | bio14 | bio15 | bio16 | bio17 | bio18 | bio19 |
|----------|------|------|----------|--------|--------|--------|---------|-------|-------|------|--------|-------|-------|-------|------|-------|-------|-------|-------|-------|-------|-------|-------|-------|-------|-------|
| 0 | 25 | 81 | 680 | 0,550 | 0,185 | 0,478 | 4 | 136,0 | 120,0 | 37,5 | 6943,0 | 311,0 | -3,0 | 315,0 | 48,0 | 223,0 | 226,0 | 48,0 | 609,0 | 109,0 | 7,5 | 64,0 | 292,0 | 30,0 | 39,5 | 292,0 |
| 0 | 28 | 53 | 658 | 0,182 | 0,040 | 0,138 | -19 | 136,0 | 120,0 | 37,5 | 6943,0 | 311,0 | -3,0 | 315,0 | 48,0 | 223,0 | 226,0 | 48,0 | 609,0 | 109,0 | 7,5 | 64,0 | 292,0 | 30,0 | 39,5 | 292,0 |
| 0 | 28 | 53 | 658 | 0,182 | 0,040 | 0,138 | -19 | 136,0 | 120,0 | 37,5 | 6943,0 | 311,0 | -3,0 | 315,0 | 48,0 | 223,0 | 226,0 | 48,0 | 609,0 | 109,0 | 7,5 | 64,0 | 292,0 | 30,0 | 39,5 | 292,0 |
| 0 | 0 | -1 | 700 | 1,000 | 0,071 | 0,083 | 10 | 136,0 | 120,0 | 37,5 | 6943,0 | 311,0 | -3,0 | 315,0 | 48,0 | 223,0 | 226,0 | 48,0 | 609,0 | 109,0 | 7,5 | 64,0 | 292,0 | 30,0 | 39,5 | 292,0 |
| 0 | 0 | -1 | 700 | 1,000 | 0,071 | 0,083 | 10 | 136,0 | 120,0 | 37,5 | 6943,0 | 311,0 | -3,0 | 315,0 | 48,0 | 223,0 | 226,0 | 48,0 | 609,0 | 109,0 | 7,5 | 64,0 | 292,0 | 30,0 | 39,5 | 292,0 |
| 0 | 19 | 305 | 793 | 0,816 | 0,456 | 0,784 | -1 | 133,0 | 120,0 | 37,0 | 6983,0 | 308,0 | -7,0 | 316,0 | 44,0 | 221,0 | 223,0 | 44,0 | 611,0 | 109,0 | 7,0 | 63,0 | 293,0 | 30,0 | 40,0 | 293,0 |
| 0 | 0 | -1 | 770 | 1,000 | 0,071 | 0,083 | -9 | 133,0 | 120,0 | 37,0 | 6983,0 | 308,0 | -7,0 | 316,0 | 44,0 | 221,0 | 223,0 | 44,0 | 611,0 | 109,0 | 7,0 | 63,0 | 293,0 | 30,0 | 40,0 | 293,0 |
| 0 | 15 | 105 | 795 | 0,898 | 0,371 | 0,869 | -10 | 133,0 | 120,0 | 37,0 | 6983,0 | 308,0 | -7,0 | 316,0 | 44,0 | 221,0 | 223,0 | 44,0 | 611,0 | 109,0 | 7,0 | 63,0 | 293,0 | 30,0 | 40,0 | 293,0 |
| 0 | 14 | 213 | 805 | 0,999 | 0,999 | 1,983 | 5 | 133,0 | 120,0 | 37,0 | 6983,0 | 308,0 | -7,0 | 316,0 | 44,0 | 221,0 | 223,0 | 44,0 | 611,0 | 109,0 | 7,0 | 63,0 | 293,0 | 30,0 | 40,0 | 293,0 |
| 0 | 7 | 200 | 785 | 1,000 | 0,992 | 1,999 | -13 | 133,0 | 120,0 | 37,0 | 6983,0 | 308,0 | -7,0 | 316,0 | 44,0 | 221,0 | 223,0 | 44,0 | 611,0 | 109,0 | 7,0 | 63,0 | 293,0 | 30,0 | 40,0 | 293,0 |
| 0 | 12 | 253 | 1077 | 0,983 | 0,866 | 1,636 | 0 | 116,5 | 117,5 | 36,0 | 7126,5 | 293,0 | -24,5 | 317,0 | 26,0 | 206,0 | 208,0 | 26,0 | 606,0 | 101,0 | 10,0 | 58,5 | 277,5 | 35,5 | 49,0 | 277,5 |
| 0 | 18 | 215 | 1102 | 0,997 | 0,998 | 1,976 | 0 | 116,5 | 117,5 | 36,0 | 7126,5 | 293,0 | -24,5 | 317,0 | 26,0 | 206,0 | 208,0 | 26,0 | 606,0 | 101,0 | 10,0 | 58,5 | 277,5 | 35,5 | 49,0 | 277,5 |
| 0 | 18 | 215 | 1102 | 0,997 | 0,998 | 1,976 | 15 | 116,5 | 117,5 | 36,0 | 7126,5 | 293,0 | -24,5 | 317,0 | 26,0 | 206,0 | 208,0 | 26,0 | 606,0 | 101,0 | 10,0 | 58,5 | 277,5 | 35,5 | 49,0 | 277,5 |
| 0 | 12 | 184 | 1079 | 0,998 | 0,949 | 1,948 | -2 | 116,5 | 117,5 | 36,0 | 7126,5 | 293,0 | -24,5 | 317,0 | 26,0 | 206,0 | 208,0 | 26,0 | 606,0 | 101,0 | 10,0 | 58,5 | 277,5 | 35,5 | 49,0 | 277,5 |
| 0 | 3 | 159 | 1068 | 0,999 | 0,815 | 1,725 | -2 | 116,5 | 117,5 | 36,0 | 7126,5 | 293,0 | -24,5 | 317,0 | 26,0 | 206,0 | 208,0 | 26,0 | 606,0 | 101,0 | 10,0 | 58,5 | 277,5 | 35,5 | 49,0 | 277,5 |
| 0 | 3 | 93 | 634 | 0,995 | 0,273 | 0,666 | -8 | 144,0 | 119,0 | 37,5 | 6869,3 | 316,3 | 4,0 | 311,8 | 57,3 | 230,8 | 232,3 | 57,3 | 647,5 | 122,0 | 6,5 | 68,7 | 323,8 | 27,5 | 35,0 | 323,8 |
| 0 | 20 | 101 | 641 | 0,799 | 0,337 | 0,801 | -6 | 144,0 | 119,0 | 37,5 | 6869,3 | 316,3 | 4,0 | 311,8 | 57,3 | 230,8 | 232,3 | 57,3 | 647,5 | 122,0 | 6,5 | 68,7 | 323,8 | 27,5 | 35,0 | 323,8 |
| 0 | 58 | 152 | 658 | 0,160 | 0,765 | 1,636 | 4 | 144,0 | 119,0 | 37,5 | 6869,3 | 316,3 | 4,0 | 311,8 | 57,3 | 230,8 | 232,3 | 57,3 | 647,5 | 122,0 | 6,5 | 68,7 | 323,8 | 27,5 | 35,0 | 323,8 |
| 0 | 58 | 152 | 658 | 0,160 | 0,765 | 1,636 | 17 | 144,0 | 119,0 | 37,5 | 6869,3 | 316,3 | 4,0 | 311,8 | 57,3 | 230,8 | 232,3 | 57,3 | 647,5 | 122,0 | 6,5 | 68,7 | 323,8 | 27,5 | 35,0 | 323,8 |
| 0 | 58 | 152 | 658 | 0,160 | 0,765 | 1,636 | -10 | 144,0 | 119,0 | 37,5 | 6869,3 | 316,3 | 4,0 | 311,8 | 57,3 | 230,8 | 232,3 | 57,3 | 647,5 | 122,0 | 6,5 | 68,7 | 323,8 | 27,5 | 35,0 | 323,8 |
| 0 | 18 | 252 | 1488 | 0,961 | 0,872 | 1,649 | -2 | 98,0 | 111,5 | 34,0 | 7304,5 | 273,0 | -43,5 | 316,5 | 5,0 | 189,5 | 191,5 | 5,0 | 638,5 | 104,0 | 12,0 | 56,5 | 288,5 | 40,0 | 56,5 | 288,5 |
| 0 | 16 | 252 | 1497 | 0,969 | 0,872 | 1,649 | 1 | 98,0 | 111,5 | 34,0 | 7304,5 | 273,0 | -43,5 | 316,5 | 5,0 | 189,5 | 191,5 | 5,0 | 638,5 | 104,0 | 12,0 | 56,5 | 288,5 | 40,0 | 56,5 | 288,5 |
| 0 | 9 | 263 | 1513 | 0,986 | 0,801 | 1,492 | -1 | 98,0 | 111,5 | 34,0 | 7304,5 | 273,0 | -43,5 | 316,5 | 5,0 | 189,5 | 191,5 | 5,0 | 638,5 | 104,0 | 12,0 | 56,5 | 288,5 | 40,0 | 56,5 | 288,5 |
| 0 | 14 | 257 | 1519 | 0,972 | 0,841 | 1,581 | 0 | 98,0 | 111,5 | 34,0 | 7304,5 | 273,0 | -43,5 | 316,5 | 5,0 | 189,5 | 191,5 | 5,0 | 638,5 | 104,0 | 12,0 | 56,5 | 288,5 | 40,0 | 56,5 | 288,5 |

Çizelge A.2. Kuşburnu türünün var yok verilerinin sürekli değişkenlere ait değerleri (Devamı)

| Kuşburnu | EGİM | BAKI | YUKSELTİ | SICIND | RADIND | BAKIND | TOPOZIN | bio1 | bio2 | bio3 | bio4 | bio5 | bio6 | bio7 | bio8 | bio9 | bio10 | bio11 | bio12 | bio13 | bio14 | bio15 | bio16 | bio17 | bio18 | bio19 |
|----------|------|------|----------|--------|--------|--------|---------|-------|-------|------|--------|-------|-------|-------|------|-------|-------|-------|-------|-------|-------|-------|-------|-------|-------|-------|
| 0 | 14 | 257 | 1519 | 0,972 | 0,841 | 1,581 | -1 | 98,0 | 111,5 | 34,0 | 7304,5 | 273,0 | -43,5 | 316,5 | 5,0 | 189,5 | 191,5 | 5,0 | 638,5 | 104,0 | 12,0 | 56,5 | 288,5 | 40,0 | 56,5 | 288,5 |
| 0 | 29 | 295 | 1257 | 0,626 | 0,544 | 0,956 | -5 | 109,0 | 114,0 | 35,0 | 7229,5 | 284,0 | -33,0 | 317,0 | 16,5 | 199,0 | 201,0 | 16,5 | 634,5 | 107,5 | 10,0 | 59,5 | 295,0 | 36,5 | 50,5 | 295,0 |
| 0 | 21 | 284 | 1229 | 0,855 | 0,638 | 1,148 | 2 | 109,0 | 114,0 | 35,0 | 7229,5 | 284,0 | -33,0 | 317,0 | 16,5 | 199,0 | 201,0 | 16,5 | 634,5 | 107,5 | 10,0 | 59,5 | 295,0 | 36,5 | 50,5 | 295,0 |
| 0 | 14 | 244 | 1150 | 0,984 | 0,915 | 1,749 | -1 | 104,0 | 113,0 | 35,0 | 7252,0 | 278,0 | -38,0 | 317,0 | 11,0 | 195,0 | 196,0 | 11,0 | 632,0 | 104,0 | 10,5 | 58,0 | 289,0 | 38,0 | 54,0 | 289,0 |
| 0 | 14 | 244 | 1150 | 0,984 | 0,915 | 1,749 | -1 | 104,0 | 113,0 | 35,0 | 7252,0 | 278,0 | -38,0 | 317,0 | 11,0 | 195,0 | 196,0 | 11,0 | 632,0 | 104,0 | 10,5 | 58,0 | 289,0 | 38,0 | 54,0 | 289,0 |
| 0 | 14 | 244 | 1150 | 0,984 | 0,915 | 1,749 | -2 | 104,0 | 113,0 | 35,0 | 7252,0 | 278,0 | -38,0 | 317,0 | 11,0 | 195,0 | 196,0 | 11,0 | 632,0 | 104,0 | 10,5 | 58,0 | 289,0 | 38,0 | 54,0 | 289,0 |
| 0 | 18 | 248 | 1161 | 0,967 | 0,894 | 1,701 | -2 | 104,0 | 113,0 | 35,0 | 7252,0 | 278,0 | -38,0 | 317,0 | 11,0 | 195,0 | 196,0 | 11,0 | 632,0 | 104,0 | 10,5 | 58,0 | 289,0 | 38,0 | 54,0 | 289,0 |
| 0 | 18 | 248 | 1161 | 0,967 | 0,894 | 1,701 | -7 | 104,0 | 113,0 | 35,0 | 7252,0 | 278,0 | -38,0 | 317,0 | 11,0 | 195,0 | 196,0 | 11,0 | 632,0 | 104,0 | 10,5 | 58,0 | 289,0 | 38,0 | 54,0 | 289,0 |
| 0 | 22 | 259 | 1079 | 0,922 | 0,828 | 1,552 | 5 | 112,5 | 115,5 | 35,0 | 7185,0 | 287,0 | -29,5 | 317,0 | 20,5 | 202,5 | 204,5 | 20,5 | 627,0 | 106,0 | 9,5 | 59,5 | 292,0 | 35,5 | 49,5 | 292,0 |
| 0 | 24 | 262 | 1124 | 0,895 | 0,808 | 1,508 | 5 | 112,5 | 115,5 | 35,0 | 7185,0 | 287,0 | -29,5 | 317,0 | 20,5 | 202,5 | 204,5 | 20,5 | 627,0 | 106,0 | 9,5 | 59,5 | 292,0 | 35,5 | 49,5 | 292,0 |
| 0 | 32 | 246 | 1067 | 0,890 | 0,905 | 1,725 | -4 | 112,5 | 115,5 | 35,0 | 7185,0 | 287,0 | -29,5 | 317,0 | 20,5 | 202,5 | 204,5 | 20,5 | 627,0 | 106,0 | 9,5 | 59,5 | 292,0 | 35,5 | 49,5 | 292,0 |
| 0 | 32 | 246 | 1067 | 0,890 | 0,905 | 1,725 | -17 | 112,5 | 115,5 | 35,0 | 7185,0 | 287,0 | -29,5 | 317,0 | 20,5 | 202,5 | 204,5 | 20,5 | 627,0 | 106,0 | 9,5 | 59,5 | 292,0 | 35,5 | 49,5 | 292,0 |
| 0 | 32 | 246 | 1067 | 0,890 | 0,905 | 1,725 | -17 | 112,5 | 115,5 | 35,0 | 7185,0 | 287,0 | -29,5 | 317,0 | 20,5 | 202,5 | 204,5 | 20,5 | 627,0 | 106,0 | 9,5 | 59,5 | 292,0 | 35,5 | 49,5 | 292,0 |
| 0 | 11 | 204 | 1201 | 1,000 | 0,997 | 2,000 | 2 | 113,0 | 115,0 | 36,0 | 7182,0 | 288,0 | -29,0 | 317,0 | 21,0 | 203,0 | 205,0 | 21,0 | 621,0 | 104,0 | 10,0 | 59,0 | 287,0 | 36,0 | 49,0 | 287,0 |
| 0 | 11 | 204 | 1201 | 1,000 | 0,997 | 2,000 | 2 | 113,0 | 115,0 | 36,0 | 7182,0 | 288,0 | -29,0 | 317,0 | 21,0 | 203,0 | 205,0 | 21,0 | 621,0 | 104,0 | 10,0 | 59,0 | 287,0 | 36,0 | 49,0 | 287,0 |
| 0 | 10 | 189 | 1208 | 0,999 | 0,967 | 1,972 | 2 | 113,0 | 115,0 | 36,0 | 7182,0 | 288,0 | -29,0 | 317,0 | 21,0 | 203,0 | 205,0 | 21,0 | 621,0 | 104,0 | 10,0 | 59,0 | 287,0 | 36,0 | 49,0 | 287,0 |
| 0 | 0 | -1 | 1250 | 1,000 | 0,071 | 0,083 | 3 | 113,0 | 115,0 | 36,0 | 7182,0 | 288,0 | -29,0 | 317,0 | 21,0 | 203,0 | 205,0 | 21,0 | 621,0 | 104,0 | 10,0 | 59,0 | 287,0 | 36,0 | 49,0 | 287,0 |
| 0 | 11 | 235 | 1230 | 0,994 | 0,953 | 1,843 | 3 | 113,0 | 115,0 | 36,0 | 7182,0 | 288,0 | -29,0 | 317,0 | 21,0 | 203,0 | 205,0 | 21,0 | 621,0 | 104,0 | 10,0 | 59,0 | 287,0 | 36,0 | 49,0 | 287,0 |
| 0 | 44 | 328 | 957 | -0,518 | 0,265 | 0,419 | -4 | 131,0 | 118,0 | 37,0 | 7000,5 | 305,5 | -9,0 | 315,0 | 42,0 | 219,0 | 221,0 | 42,0 | 633,0 | 114,0 | 7,5 | 64,5 | 307,5 | 30,5 | 40,0 | 307,5 |
| 0 | 44 | 328 | 957 | -0,518 | 0,265 | 0,419 | 6 | 131,0 | 118,0 | 37,0 | 7000,5 | 305,5 | -9,0 | 315,0 | 42,0 | 219,0 | 221,0 | 42,0 | 633,0 | 114,0 | 7,5 | 64,5 | 307,5 | 30,5 | 40,0 | 307,5 |
| 0 | 0 | -1 | 1050 | 1,000 | 0,071 | 0,083 | 6 | 131,0 | 118,0 | 37,0 | 7000,5 | 305,5 | -9,0 | 315,0 | 42,0 | 219,0 | 221,0 | 42,0 | 633,0 | 114,0 | 7,5 | 64,5 | 307,5 | 30,5 | 40,0 | 307,5 |
| 0 | 42 | 341 | 995 | -0,569 | 0,172 | 0,251 | -4 | 131,0 | 118,0 | 37,0 | 7000,5 | 305,5 | -9,0 | 315,0 | 42,0 | 219,0 | 221,0 | 42,0 | 633,0 | 114,0 | 7,5 | 64,5 | 307,5 | 30,5 | 40,0 | 307,5 |
| 0 | 48 | 355 | 974 | -0,983 | 0,090 | 0,113 | -4 | 131,0 | 118,0 | 37,0 | 7000,5 | 305,5 | -9,0 | 315,0 | 42,0 | 219,0 | 221,0 | 42,0 | 633,0 | 114,0 | 7,5 | 64,5 | 307,5 | 30,5 | 40,0 | 307,5 |
| 0 | 0 | -1 | 760 | 1,000 | 0,071 | 0,083 | -6 | 129,5 | 118,0 | 36,5 | 7013,0 | 303,5 | -10,5 | 315,5 | 40,5 | 217,5 | 219,5 | 40,5 | 633,0 | 113,5 | 8,0 | 64,5 | 306,0 | 31,5 | 41,5 | 306,0 |

Çizelge A.2. Kuşburnu türünün var yok verilerinin sürekli değişkenlere ait değerleri (Devamı)

| Kuşburnu | EGİM | BAKI | YUKSELTİ | SICIND | RADIND | BAKIND | TOPOZIN | bio1 | bio2 | bio3 | bio4 | bio5 | bio6 | bio7 | bio8 | bio9 | bio10 | bio11 | bio12 | bio13 | bio14 | bio15 | bio16 | bio17 | bio18 | bio19 |
|----------|------|------|----------|--------|--------|--------|---------|-------|-------|------|--------|-------|-------|-------|------|-------|-------|-------|-------|-------|-------|-------|-------|-------|-------|-------|
| 0 | 21 | 253 | 775 | 0,943 | 0,866 | 1,636 | -6 | 129,5 | 118,0 | 36,5 | 7013,0 | 303,5 | -10,5 | 315,5 | 40,5 | 217,5 | 219,5 | 40,5 | 633,0 | 113,5 | 8,0 | 64,5 | 306,0 | 31,5 | 41,5 | 306,0 |
| 0 | 26 | 221 | 759 | 0,988 | 0,991 | 1,948 | 7 | 129,5 | 118,0 | 36,5 | 7013,0 | 303,5 | -10,5 | 315,5 | 40,5 | 217,5 | 219,5 | 40,5 | 633,0 | 113,5 | 8,0 | 64,5 | 306,0 | 31,5 | 41,5 | 306,0 |
| 0 | 21 | 253 | 775 | 0,943 | 0,866 | 1,636 | 7 | 129,5 | 118,0 | 36,5 | 7013,0 | 303,5 | -10,5 | 315,5 | 40,5 | 217,5 | 219,5 | 40,5 | 633,0 | 113,5 | 8,0 | 64,5 | 306,0 | 31,5 | 41,5 | 306,0 |
| 0 | 25 | 180 | 782 | 0,983 | 0,933 | 1,924 | 7 | 129,5 | 118,0 | 36,5 | 7013,0 | 303,5 | -10,5 | 315,5 | 40,5 | 217,5 | 219,5 | 40,5 | 633,0 | 113,5 | 8,0 | 64,5 | 306,0 | 31,5 | 41,5 | 306,0 |
| 0 | 22 | 7 | 965 | 0,191 | 0,040 | 0,036 | 14 | 126,0 | 116,0 | 36,0 | 7060,0 | 299,0 | -14,0 | 314,0 | 36,0 | 214,0 | 217,0 | 36,0 | 638,0 | 112,0 | 8,0 | 62,0 | 303,0 | 33,0 | 44,0 | 303,0 |
| 0 | 20 | 50 | 950 | 0,566 | 0,030 | 0,113 | 14 | 126,0 | 116,0 | 36,0 | 7060,0 | 299,0 | -14,0 | 314,0 | 36,0 | 214,0 | 217,0 | 36,0 | 638,0 | 112,0 | 8,0 | 62,0 | 303,0 | 33,0 | 44,0 | 303,0 |
| 0 | 38 | 81 | 971 | -0,086 | 0,185 | 0,478 | 0 | 126,0 | 116,0 | 36,0 | 7060,0 | 299,0 | -14,0 | 314,0 | 36,0 | 214,0 | 217,0 | 36,0 | 638,0 | 112,0 | 8,0 | 62,0 | 303,0 | 33,0 | 44,0 | 303,0 |
| 0 | 38 | 81 | 971 | -0,086 | 0,185 | 0,478 | 0 | 126,0 | 116,0 | 36,0 | 7060,0 | 299,0 | -14,0 | 314,0 | 36,0 | 214,0 | 217,0 | 36,0 | 638,0 | 112,0 | 8,0 | 62,0 | 303,0 | 33,0 | 44,0 | 303,0 |
| 0 | 18 | 131 | 944 | 0,919 | 0,595 | 1,317 | 0 | 126,0 | 116,0 | 36,0 | 7060,0 | 299,0 | -14,0 | 314,0 | 36,0 | 214,0 | 217,0 | 36,0 | 638,0 | 112,0 | 8,0 | 62,0 | 303,0 | 33,0 | 44,0 | 303,0 |
| 0 | 8 | 131 | 1390 | 0,985 | 0,595 | 1,317 | 0 | 101,5 | 113,0 | 34,5 | 7268,0 | 276,5 | -40,0 | 317,0 | 8,5 | 192,5 | 194,5 | 8,5 | 616,5 | 98,0 | 11,5 | 54,0 | 270,5 | 40,5 | 57,0 | 270,5 |
| 0 | 18 | 66 | 1394 | 0,715 | 0,095 | 0,275 | 0 | 101,5 | 113,0 | 34,5 | 7268,0 | 276,5 | -40,0 | 317,0 | 8,5 | 192,5 | 194,5 | 8,5 | 616,5 | 98,0 | 11,5 | 54,0 | 270,5 | 40,5 | 57,0 | 270,5 |
| 0 | 18 | 66 | 1394 | 0,715 | 0,095 | 0,275 | 5 | 101,5 | 113,0 | 34,5 | 7268,0 | 276,5 | -40,0 | 317,0 | 8,5 | 192,5 | 194,5 | 8,5 | 616,5 | 98,0 | 11,5 | 54,0 | 270,5 | 40,5 | 57,0 | 270,5 |
| 0 | 5 | 117 | 1408 | 0,991 | 0,474 | 1,078 | 5 | 101,5 | 113,0 | 34,5 | 7268,0 | 276,5 | -40,0 | 317,0 | 8,5 | 192,5 | 194,5 | 8,5 | 616,5 | 98,0 | 11,5 | 54,0 | 270,5 | 40,5 | 57,0 | 270,5 |
| 0 | 5 | 117 | 1408 | 0,991 | 0,474 | 1,078 | 0 | 101,5 | 113,0 | 34,5 | 7268,0 | 276,5 | -40,0 | 317,0 | 8,5 | 192,5 | 194,5 | 8,5 | 616,5 | 98,0 | 11,5 | 54,0 | 270,5 | 40,5 | 57,0 | 270,5 |
| 0 | 11 | 239 | 1084 | 0,992 | 0,937 | 1,804 | -1 | 110,8 | 114,5 | 35,0 | 7189,3 | 286,7 | -30,5 | 317,0 | 19,0 | 200,5 | 203,7 | 19,0 | 612,5 | 100,0 | 10,0 | 56,0 | 274,0 | 37,0 | 52,0 | 274,0 |
| 0 | 11 | 239 | 1084 | 0,992 | 0,937 | 1,804 | -7 | 110,8 | 114,5 | 35,0 | 7189,3 | 286,7 | -30,5 | 317,0 | 19,0 | 200,5 | 203,7 | 19,0 | 612,5 | 100,0 | 10,0 | 56,0 | 274,0 | 37,0 | 52,0 | 274,0 |
| 0 | 11 | 239 | 1084 | 0,992 | 0,937 | 1,804 | -7 | 110,8 | 114,5 | 35,0 | 7189,3 | 286,7 | -30,5 | 317,0 | 19,0 | 200,5 | 203,7 | 19,0 | 612,5 | 100,0 | 10,0 | 56,0 | 274,0 | 37,0 | 52,0 | 274,0 |
| 0 | 21 | 267 | 1111 | 0,908 | 0,772 | 1,431 | -7 | 110,8 | 114,5 | 35,0 | 7189,3 | 286,7 | -30,5 | 317,0 | 19,0 | 200,5 | 203,7 | 19,0 | 612,5 | 100,0 | 10,0 | 56,0 | 274,0 | 37,0 | 52,0 | 274,0 |
| 0 | 24 | 298 | 1116 | 0,737 | 0,517 | 0,904 | -7 | 110,8 | 114,5 | 35,0 | 7189,3 | 286,7 | -30,5 | 317,0 | 19,0 | 200,5 | 203,7 | 19,0 | 612,5 | 100,0 | 10,0 | 56,0 | 274,0 | 37,0 | 52,0 | 274,0 |
| 0 | 31 | 263 | 1155 | 0,805 | 0,801 | 1,492 | 4 | 108,0 | 114,0 | 35,0 | 7194,0 | 283,0 | -33,0 | 317,0 | 16,0 | 198,0 | 200,0 | 16,0 | 604,0 | 94,5 | 11,0 | 53,5 | 262,0 | 39,5 | 56,0 | 262,0 |
| 0 | 17 | 271 | 1152 | 0,934 | 0,742 | 1,367 | 0 | 108,0 | 114,0 | 35,0 | 7194,0 | 283,0 | -33,0 | 317,0 | 16,0 | 198,0 | 200,0 | 16,0 | 604,0 | 94,5 | 11,0 | 53,5 | 262,0 | 39,5 | 56,0 | 262,0 |
| 0 | 0 | -1 | 1130 | 1,000 | 0,071 | 0,083 | -11 | 108,0 | 114,0 | 35,0 | 7194,0 | 283,0 | -33,0 | 317,0 | 16,0 | 198,0 | 200,0 | 16,0 | 604,0 | 94,5 | 11,0 | 53,5 | 262,0 | 39,5 | 56,0 | 262,0 |
| 0 | 13 | 41 | 1401 | 0,796 | 0,009 | 0,052 | 0 | 100,5 | 113,0 | 35,0 | 7270,5 | 275,5 | -41,0 | 317,0 | 7,5 | 191,0 | 193,5 | 7,5 | 618,0 | 98,0 | 11,0 | 54,0 | 270,5 | 40,5 | 57,5 | 270,5 |
| 0 | 23 | 1 | 1383 | 0,078 | 0,063 | 0,070 | 0 | 100,5 | 113,0 | 35,0 | 7270,5 | 275,5 | -41,0 | 317,0 | 7,5 | 191,0 | 193,5 | 7,5 | 618,0 | 98,0 | 11,0 | 54,0 | 270,5 | 40,5 | 57,5 | 270,5 |

Çizelge A.2. Kuşburnu türünün var yok verilerinin sürekli değişkenlere ait değerleri (Devamı)

| Kuşburnu | EGİM | BAKI | YUKSELTİ | SICIND | RADIND | BAKIND | TOPOZIN | bio1 | bio2 | bio3 | bio4 | bio5 | bio6 | bio7 | bio8 | bio9 | bio10 | bio11 | bio12 | bio13 | bio14 | bio15 | bio16 | bio17 | bio18 | bio19 |
|----------|------|------|----------|--------|--------|--------|---------|-------|-------|------|--------|-------|-------|-------|------|-------|-------|-------|-------|-------|-------|-------|-------|-------|-------|-------|
| 0 | 25 | 292 | 1422 | 0,746 | 0,570 | 1,009 | 10 | 100,5 | 113,0 | 35,0 | 7270,5 | 275,5 | -41,0 | 317,0 | 7,5 | 191,0 | 193,5 | 7,5 | 618,0 | 98,0 | 11,0 | 54,0 | 270,5 | 40,5 | 57,5 | 270,5 |
| 0 | 21 | 223 | 1590 | 0,991 | 0,987 | 1,937 | -6 | 96,0 | 110,5 | 34,0 | 7305,0 | 270,0 | -45,5 | 316,5 | 2,5 | 187,5 | 189,0 | 2,5 | 645,0 | 105,5 | 11,5 | 57,0 | 292,5 | 40,5 | 57,5 | 292,5 |
| 0 | 21 | 223 | 1590 | 0,991 | 0,987 | 1,937 | -6 | 96,0 | 110,5 | 34,0 | 7305,0 | 270,0 | -45,5 | 316,5 | 2,5 | 187,5 | 189,0 | 2,5 | 645,0 | 105,5 | 11,5 | 57,0 | 292,5 | 40,5 | 57,5 | 292,5 |
| 0 | 21 | 229 | 1607 | 0,984 | 0,973 | 1,895 | -7 | 96,0 | 110,5 | 34,0 | 7305,0 | 270,0 | -45,5 | 316,5 | 2,5 | 187,5 | 189,0 | 2,5 | 645,0 | 105,5 | 11,5 | 57,0 | 292,5 | 40,5 | 57,5 | 292,5 |
| 0 | 15 | 224 | 1486 | 0,995 | 0,985 | 1,930 | -1 | 98,5 | 111,0 | 34,5 | 7296,0 | 272,5 | -43,5 | 316,0 | 5,0 | 189,5 | 191,5 | 5,0 | 644,5 | 106,5 | 10,5 | 57,5 | 294,0 | 39,5 | 56,0 | 294,0 |
| 0 | 12 | 241 | 1505 | 0,990 | 0,929 | 1,783 | -1 | 98,5 | 111,0 | 34,5 | 7296,0 | 272,5 | -43,5 | 316,0 | 5,0 | 189,5 | 191,5 | 5,0 | 644,5 | 106,5 | 10,5 | 57,5 | 294,0 | 39,5 | 56,0 | 294,0 |
| 0 | 15 | 243 | 1499 | 0,982 | 0,919 | 1,760 | 0 | 98,5 | 111,0 | 34,5 | 7296,0 | 272,5 | -43,5 | 316,0 | 5,0 | 189,5 | 191,5 | 5,0 | 644,5 | 106,5 | 10,5 | 57,5 | 294,0 | 39,5 | 56,0 | 294,0 |
| 0 | 13 | 246 | 1483 | 0,985 | 0,905 | 1,725 | -1 | 98,5 | 111,0 | 34,5 | 7296,0 | 272,5 | -43,5 | 316,0 | 5,0 | 189,5 | 191,5 | 5,0 | 644,5 | 106,5 | 10,5 | 57,5 | 294,0 | 39,5 | 56,0 | 294,0 |
| 0 | 11 | 251 | 1505 | 0,986 | 0,877 | 1,663 | 4 | 98,5 | 111,0 | 34,5 | 7296,0 | 272,5 | -43,5 | 316,0 | 5,0 | 189,5 | 191,5 | 5,0 | 644,5 | 106,5 | 10,5 | 57,5 | 294,0 | 39,5 | 56,0 | 294,0 |
| 0 | 24 | 322 | 1350 | 0,599 | 0,313 | 0,508 | 3 | 106,0 | 112,5 | 34,0 | 7243,0 | 281,0 | -35,0 | 316,5 | 14,0 | 197,0 | 199,0 | 14,0 | 642,5 | 108,5 | 10,5 | 59,5 | 300,0 | 37,5 | 52,0 | 300,0 |
| 0 | 27 | 331 | 1307 | 0,415 | 0,242 | 0,377 | 0 | 106,0 | 112,5 | 34,0 | 7243,0 | 281,0 | -35,0 | 316,5 | 14,0 | 197,0 | 199,0 | 14,0 | 642,5 | 108,5 | 10,5 | 59,5 | 300,0 | 37,5 | 52,0 | 300,0 |
| 0 | 0 | -1 | 1320 | 1,000 | 0,071 | 0,083 | 0 | 104,3 | 112,5 | 35,0 | 7271,3 | 278,8 | -37,3 | 316,7 | 11,5 | 195,5 | 197,5 | 11,5 | 643,5 | 108,0 | 10,0 | 60,0 | 298,8 | 37,5 | 52,5 | 298,8 |
| 0 | 0 | -1 | 1320 | 1,000 | 0,071 | 0,083 | 0 | 104,3 | 112,5 | 35,0 | 7271,3 | 278,8 | -37,3 | 316,7 | 11,5 | 195,5 | 197,5 | 11,5 | 643,5 | 108,0 | 10,0 | 60,0 | 298,8 | 37,5 | 52,5 | 298,8 |
| 0 | 13 | 182 | 1330 | 0,997 | 0,941 | 1,937 | 2 | 104,3 | 112,5 | 35,0 | 7271,3 | 278,8 | -37,3 | 316,7 | 11,5 | 195,5 | 197,5 | 11,5 | 643,5 | 108,0 | 10,0 | 60,0 | 298,8 | 37,5 | 52,5 | 298,8 |
| 0 | 32 | 78 | 1459 | 0,211 | 0,165 | 0,434 | 14 | 101,5 | 112,0 | 34,5 | 7293,5 | 275,5 | -40,5 | 317,0 | 8,5 | 192,5 | 194,5 | 8,5 | 642,5 | 107,0 | 11,0 | 58,5 | 296,0 | 38,5 | 54,0 | 296,0 |
| 0 | 18 | 305 | 1276 | 0,836 | 0,456 | 0,784 | -3 | 109,0 | 114,0 | 35,0 | 7227,0 | 284,0 | -33,0 | 317,0 | 16,5 | 199,0 | 201,5 | 16,5 | 634,5 | 107,0 | 10,5 | 59,0 | 294,5 | 37,5 | 50,5 | 294,5 |
| 0 | 11 | 297 | 1264 | 0,949 | 0,526 | 0,922 | -8 | 109,0 | 114,0 | 35,0 | 7227,0 | 284,0 | -33,0 | 317,0 | 16,5 | 199,0 | 201,5 | 16,5 | 634,5 | 107,0 | 10,5 | 59,0 | 294,5 | 37,5 | 50,5 | 294,5 |
| 0 | 11 | 323 | 1251 | 0,918 | 0,305 | 0,492 | -9 | 109,0 | 114,0 | 35,0 | 7227,0 | 284,0 | -33,0 | 317,0 | 16,5 | 199,0 | 201,5 | 16,5 | 634,5 | 107,0 | 10,5 | 59,0 | 294,5 | 37,5 | 50,5 | 294,5 |
| 0 | 14 | 304 | 1264 | 0,904 | 0,465 | 0,801 | 6 | 109,0 | 114,0 | 35,0 | 7227,0 | 284,0 | -33,0 | 317,0 | 16,5 | 199,0 | 201,5 | 16,5 | 634,5 | 107,0 | 10,5 | 59,0 | 294,5 | 37,5 | 50,5 | 294,5 |
| 0 | 17 | 17 | 1388 | 0,549 | 0,013 | 0,005 | -20 | 102,5 | 112,7 | 35,0 | 7272,5 | 276,5 | -39,5 | 316,5 | 9,5 | 193,5 | 195,0 | 9,5 | 637,5 | 106,0 | 11,0 | 58,0 | 292,0 | 38,0 | 53,5 | 292,0 |
| 0 | 29 | 282 | 1456 | 0,719 | 0,655 | 1,182 | 5 | 102,0 | 112,5 | 34,5 | 7274,0 | 277,0 | -39,0 | 317,0 | 9,0 | 193,0 | 195,0 | 9,0 | 637,0 | 105,5 | 11,0 | 57,5 | 292,5 | 38,0 | 54,0 | 292,5 |
| 0 | 21 | 275 | 1499 | 0,884 | 0,711 | 1,301 | 5 | 102,0 | 112,5 | 34,5 | 7274,0 | 277,0 | -39,0 | 317,0 | 9,0 | 193,0 | 195,0 | 9,0 | 637,0 | 105,5 | 11,0 | 57,5 | 292,5 | 38,0 | 54,0 | 292,5 |
| 0 | 21 | 275 | 1499 | 0,884 | 0,711 | 1,301 | 5 | 102,0 | 112,5 | 34,5 | 7274,0 | 277,0 | -39,0 | 317,0 | 9,0 | 193,0 | 195,0 | 9,0 | 637,0 | 105,5 | 11,0 | 57,5 | 292,5 | 38,0 | 54,0 | 292,5 |
| 0 | 20 | 351 | 1649 | 0,587 | 0,111 | 0,147 | -2 | 94,0 | 109,5 | 34,0 | 7310,0 | 267,0 | -48,0 | 315,5 | 0,0 | 185,0 | 187,0 | 0,0 | 646,0 | 105,0 | 11,5 | 56,0 | 291,5 | 41,0 | 58,0 | 291,5 |

Çizelge A.2. Kuşburnu türünün var yok verilerinin sürekli değişkenlere ait değerleri (Devamı)

| Kuşburnu | EGİM | BAKI | YUKSELTİ | SICIND | RADIND | BAKIND | TOPOZIN | bio1 | bio2 | bio3 | bio4 | bio5 | bio6 | bio7 | bio8 | bio9 | bio10 | bio11 | bio12 | bio13 | bio14 | bio15 | bio16 | bio17 | bio18 | bio19 |
|----------|------|------|----------|--------|--------|--------|---------|-------|-------|------|--------|-------|-------|-------|------|-------|-------|-------|-------|-------|-------|-------|-------|-------|-------|-------|
| 0 | 30 | 36 | 1657 | -0,107 | 0,003 | 0,028 | 10 | 93,5 | 110,5 | 34,0 | 7325,5 | 267,0 | -48,5 | 316,5 | 0,0 | 185,0 | 186,5 | 0,0 | 647,5 | 105,0 | 12,0 | 56,5 | 292,0 | 40,5 | 58,0 | 292,0 |
| 0 | 19 | 334 | 1657 | 0,704 | 0,220 | 0,337 | 8 | 93,5 | 110,5 | 34,0 | 7325,5 | 267,0 | -48,5 | 316,5 | 0,0 | 185,0 | 186,5 | 0,0 | 647,5 | 105,0 | 12,0 | 56,5 | 292,0 | 40,5 | 58,0 | 292,0 |
| 0 | 15 | 140 | 1594 | 0,958 | 0,671 | 1,462 | -5 | 94,5 | 110,0 | 34,5 | 7323,0 | 268,0 | -47,5 | 316,0 | 0,5 | 185,5 | 187,5 | 0,5 | 647,5 | 105,5 | 11,5 | 57,0 | 292,5 | 40,5 | 57,5 | 292,5 |
| 0 | 18 | 47 | 1602 | 0,636 | 0,022 | 0,090 | 4 | 94,5 | 110,0 | 34,5 | 7323,0 | 268,0 | -47,5 | 316,0 | 0,5 | 185,5 | 187,5 | 0,5 | 647,5 | 105,5 | 11,5 | 57,0 | 292,5 | 40,5 | 57,5 | 292,5 |
| 0 | 18 | 47 | 1602 | 0,636 | 0,022 | 0,090 | 4 | 94,5 | 110,0 | 34,5 | 7323,0 | 268,0 | -47,5 | 316,0 | 0,5 | 185,5 | 187,5 | 0,5 | 647,5 | 105,5 | 11,5 | 57,0 | 292,5 | 40,5 | 57,5 | 292,5 |
| 0 | 33 | 161 | 1353 | 0,891 | 0,828 | 1,749 | 3 | 105,7 | 112,5 | 35,0 | 7253,8 | 279,7 | -36,3 | 316,0 | 13,0 | 196,7 | 198,7 | 13,0 | 648,5 | 110,0 | 10,0 | 59,5 | 302,3 | 36,5 | 51,0 | 302,3 |
| 0 | 24 | 110 | 1332 | 0,753 | 0,413 | 0,956 | -15 | 105,7 | 112,5 | 35,0 | 7253,8 | 279,7 | -36,3 | 316,0 | 13,0 | 196,7 | 198,7 | 13,0 | 648,5 | 110,0 | 10,0 | 59,5 | 302,3 | 36,5 | 51,0 | 302,3 |
| 0 | 32 | 203 | 1303 | 1,000 | 0,996 | 2,000 | -15 | 105,7 | 112,5 | 35,0 | 7253,8 | 279,7 | -36,3 | 316,0 | 13,0 | 196,7 | 198,7 | 13,0 | 648,5 | 110,0 | 10,0 | 59,5 | 302,3 | 36,5 | 51,0 | 302,3 |
| 0 | 6 | 143 | 1476 | 0,994 | 0,695 | 1,508 | -2 | 97,5 | 110,5 | 34,0 | 7307,5 | 271,5 | -44,5 | 317,0 | 3,5 | 188,5 | 190,5 | 3,5 | 642,5 | 105,0 | 11,5 | 56,5 | 291,5 | 39,0 | 56,0 | 291,5 |
| 0 | 0 | -1 | 1475 | 1,000 | 0,071 | 0,083 | -4 | 97,5 | 110,5 | 34,0 | 7307,5 | 271,5 | -44,5 | 317,0 | 3,5 | 188,5 | 190,5 | 3,5 | 642,5 | 105,0 | 11,5 | 56,5 | 291,5 | 39,0 | 56,0 | 291,5 |
| 0 | 7 | 259 | 1269 | 0,993 | 0,828 | 1,552 | 0 | 103,5 | 113,5 | 35,0 | 7262,0 | 278,5 | -38,5 | 317,5 | 10,0 | 193,5 | 196,0 | 10,0 | 615,5 | 98,5 | 11,0 | 54,5 | 272,0 | 39,5 | 56,0 | 272,0 |
| 0 | 12 | 252 | 1281 | 0,983 | 0,872 | 1,649 | 0 | 103,5 | 113,5 | 35,0 | 7262,0 | 278,5 | -38,5 | 317,5 | 10,0 | 193,5 | 196,0 | 10,0 | 615,5 | 98,5 | 11,0 | 54,5 | 272,0 | 39,5 | 56,0 | 272,0 |
| 0 | 17 | 260 | 1307 | 0,953 | 0,821 | 1,537 | -1 | 103,5 | 113,5 | 35,0 | 7262,0 | 278,5 | -38,5 | 317,5 | 10,0 | 193,5 | 196,0 | 10,0 | 615,5 | 98,5 | 11,0 | 54,5 | 272,0 | 39,5 | 56,0 | 272,0 |
| 0 | 12 | 252 | 1281 | 0,983 | 0,872 | 1,649 | -1 | 103,5 | 113,5 | 35,0 | 7262,0 | 278,5 | -38,5 | 317,5 | 10,0 | 193,5 | 196,0 | 10,0 | 615,5 | 98,5 | 11,0 | 54,5 | 272,0 | 39,5 | 56,0 | 272,0 |
| 0 | 14 | 357 | 1503 | 0,782 | 0,081 | 0,097 | 1 | 98,5 | 111,5 | 34,0 | 7287,0 | 273,5 | -43,5 | 316,5 | 5,0 | 189,5 | 191,5 | 5,0 | 620,5 | 98,0 | 12,0 | 54,0 | 272,0 | 41,0 | 58,0 | 272,0 |
| 0 | 12 | 357 | 1492 | 0,840 | 0,081 | 0,097 | 1 | 98,5 | 111,5 | 34,0 | 7287,0 | 273,5 | -43,5 | 316,5 | 5,0 | 189,5 | 191,5 | 5,0 | 620,5 | 98,0 | 12,0 | 54,0 | 272,0 | 41,0 | 58,0 | 272,0 |
| 0 | 15 | 43 | 1382 | 0,734 | 0,013 | 0,063 | 1 | 106,5 | 113,0 | 34,5 | 7243,3 | 281,8 | -35,0 | 317,0 | 14,3 | 197,3 | 199,5 | 14,3 | 626,3 | 103,3 | 10,5 | 56,8 | 283,5 | 38,0 | 52,5 | 283,5 |
| 0 | 15 | 43 | 1382 | 0,734 | 0,013 | 0,063 | 1 | 106,5 | 113,0 | 34,5 | 7243,3 | 281,8 | -35,0 | 317,0 | 14,3 | 197,3 | 199,5 | 14,3 | 626,3 | 103,3 | 10,5 | 56,8 | 283,5 | 38,0 | 52,5 | 283,5 |
| 0 | 17 | 46 | 1406 | 0,671 | 0,019 | 0,083 | -2 | 106,5 | 113,0 | 34,5 | 7243,3 | 281,8 | -35,0 | 317,0 | 14,3 | 197,3 | 199,5 | 14,3 | 626,3 | 103,3 | 10,5 | 56,8 | 283,5 | 38,0 | 52,5 | 283,5 |
| 0 | 25 | 62 | 1236 | 0,414 | 0,076 | 0,228 | -4 | 115,0 | 114,5 | 35,0 | 7182,0 | 290,0 | -27,0 | 317,0 | 23,0 | 205,0 | 207,0 | 23,0 | 631,0 | 108,0 | 8,5 | 60,0 | 293,0 | 35,0 | 48,0 | 293,0 |
| 0 | 25 | 62 | 1236 | 0,414 | 0,076 | 0,228 | -4 | 115,0 | 114,5 | 35,0 | 7182,0 | 290,0 | -27,0 | 317,0 | 23,0 | 205,0 | 207,0 | 23,0 | 631,0 | 108,0 | 8,5 | 60,0 | 293,0 | 35,0 | 48,0 | 293,0 |
| 0 | 11 | 88 | 1260 | 0,925 | 0,235 | 0,585 | 1 | 115,0 | 114,5 | 35,0 | 7182,0 | 290,0 | -27,0 | 317,0 | 23,0 | 205,0 | 207,0 | 23,0 | 631,0 | 108,0 | 8,5 | 60,0 | 293,0 | 35,0 | 48,0 | 293,0 |
| 0 | 11 | 88 | 1260 | 0,925 | 0,235 | 0,585 | 1 | 115,0 | 114,5 | 35,0 | 7182,0 | 290,0 | -27,0 | 317,0 | 23,0 | 205,0 | 207,0 | 23,0 | 631,0 | 108,0 | 8,5 | 60,0 | 293,0 | 35,0 | 48,0 | 293,0 |
| 0 | 0 | -1 | 870 | 1,000 | 0,071 | 0,083 | -9 | 124,0 | 115,0 | 35,5 | 7110,5 | 297,5 | -17,5 | 315,5 | 33,0 | 212,5 | 215,0 | 33,0 | 643,5 | 114,0 | 8,0 | 62,5 | 306,5 | 32,5 | 43,5 | 306,5 |

Çizelge A.2. Kuşburnu türünün var yok verilerinin sürekli değişkenlere ait değerleri (Devamı)

| Kuşburnu | EGİM | BAKI | YUKSELTİ | SICIND | RADIND | BAKIND | TOPOZIN | bio1 | bio2 | bio3 | bio4 | bio5 | bio6 | bio7 | bio8 | bio9 | bio10 | bio11 | bio12 | bio13 | bio14 | bio15 | bio16 | bio17 | bio18 | bio19 |
|----------|------|------|----------|--------|--------|--------|---------|-------|-------|------|--------|-------|-------|-------|------|-------|-------|-------|-------|-------|-------|-------|-------|-------|-------|-------|
| 0 | 28 | 81 | 913 | 0,429 | 0,185 | 0,478 | -9 | 124,0 | 115,0 | 35,5 | 7110,5 | 297,5 | -17,5 | 315,5 | 33,0 | 212,5 | 215,0 | 33,0 | 643,5 | 114,0 | 8,0 | 62,5 | 306,5 | 32,5 | 43,5 | 306,5 |
| 0 | 32 | 75 | 925 | 0,179 | 0,146 | 0,391 | 0 | 124,0 | 115,0 | 35,5 | 7110,5 | 297,5 | -17,5 | 315,5 | 33,0 | 212,5 | 215,0 | 33,0 | 643,5 | 114,0 | 8,0 | 62,5 | 306,5 | 32,5 | 43,5 | 306,5 |
| 0 | 32 | 75 | 925 | 0,179 | 0,146 | 0,391 | 0 | 124,0 | 115,0 | 35,5 | 7110,5 | 297,5 | -17,5 | 315,5 | 33,0 | 212,5 | 215,0 | 33,0 | 643,5 | 114,0 | 8,0 | 62,5 | 306,5 | 32,5 | 43,5 | 306,5 |
| 0 | 32 | 75 | 925 | 0,179 | 0,146 | 0,391 | 0 | 124,0 | 115,0 | 35,5 | 7110,5 | 297,5 | -17,5 | 315,5 | 33,0 | 212,5 | 215,0 | 33,0 | 643,5 | 114,0 | 8,0 | 62,5 | 306,5 | 32,5 | 43,5 | 306,5 |
| 0 | 0 | -1 | 1220 | 1,000 | 0,071 | 0,083 | 0 | 110,0 | 114,5 | 35,0 | 7215,0 | 285,0 | -31,5 | 317,0 | 17,5 | 200,5 | 202,5 | 17,5 | 626,0 | 104,5 | 10,0 | 58,5 | 288,0 | 36,5 | 50,5 | 288,0 |
| 0 | 0 | -1 | 1220 | 1,000 | 0,071 | 0,083 | 0 | 110,0 | 114,5 | 35,0 | 7215,0 | 285,0 | -31,5 | 317,0 | 17,5 | 200,5 | 202,5 | 17,5 | 626,0 | 104,5 | 10,0 | 58,5 | 288,0 | 36,5 | 50,5 | 288,0 |
| 0 | 0 | -1 | 1210 | 1,000 | 0,071 | 0,083 | -4 | 110,0 | 114,5 | 35,0 | 7215,0 | 285,0 | -31,5 | 317,0 | 17,5 | 200,5 | 202,5 | 17,5 | 626,0 | 104,5 | 10,0 | 58,5 | 288,0 | 36,5 | 50,5 | 288,0 |
| 0 | 0 | -1 | 1230 | 1,000 | 0,071 | 0,083 | 4 | 110,0 | 114,5 | 35,0 | 7215,0 | 285,0 | -31,5 | 317,0 | 17,5 | 200,5 | 202,5 | 17,5 | 626,0 | 104,5 | 10,0 | 58,5 | 288,0 | 36,5 | 50,5 | 288,0 |
| 0 | 0 | -1 | 1230 | 1,000 | 0,071 | 0,083 | -4 | 110,0 | 114,5 | 35,0 | 7215,0 | 285,0 | -31,5 | 317,0 | 17,5 | 200,5 | 202,5 | 17,5 | 626,0 | 104,5 | 10,0 | 58,5 | 288,0 | 36,5 | 50,5 | 288,0 |
| 0 | 0 | -1 | 1550 | 1,000 | 0,071 | 0,083 | -6 | 94,3 | 110,0 | 33,5 | 7363,5 | 268,3 | -48,5 | 317,5 | 0,5 | 186,3 | 187,8 | 0,5 | 645,5 | 106,0 | 11,5 | 57,0 | 290,5 | 40,0 | 56,5 | 290,5 |
| 0 | 12 | 339 | 1545 | 0,875 | 0,185 | 0,275 | 10 | 94,3 | 110,0 | 33,5 | 7363,5 | 268,3 | -48,5 | 317,5 | 0,5 | 186,3 | 187,8 | 0,5 | 645,5 | 106,0 | 11,5 | 57,0 | 290,5 | 40,0 | 56,5 | 290,5 |
| 0 | 13 | 322 | 1564 | 0,886 | 0,313 | 0,508 | 8 | 94,3 | 110,0 | 33,5 | 7363,5 | 268,3 | -48,5 | 317,5 | 0,5 | 186,3 | 187,8 | 0,5 | 645,5 | 106,0 | 11,5 | 57,0 | 290,5 | 40,0 | 56,5 | 290,5 |
| 0 | 19 | 302 | 1527 | 0,826 | 0,483 | 0,835 | 10 | 94,3 | 110,0 | 33,5 | 7363,5 | 268,3 | -48,5 | 317,5 | 0,5 | 186,3 | 187,8 | 0,5 | 645,5 | 106,0 | 11,5 | 57,0 | 290,5 | 40,0 | 56,5 | 290,5 |
| 0 | 15 | 88 | 1537 | 0,860 | 0,235 | 0,585 | 2 | 99,5 | 111,5 | 34,5 | 7286,5 | 274,0 | -42,5 | 317,0 | 6,0 | 190,5 | 192,5 | 6,0 | 631,0 | 102,5 | 11,5 | 55,5 | 281,5 | 40,0 | 56,5 | 281,5 |
| 0 | 15 | 88 | 1537 | 0,860 | 0,235 | 0,585 | 6 | 99,5 | 111,5 | 34,5 | 7286,5 | 274,0 | -42,5 | 317,0 | 6,0 | 190,5 | 192,5 | 6,0 | 631,0 | 102,5 | 11,5 | 55,5 | 281,5 | 40,0 | 56,5 | 281,5 |
| 0 | 11 | 128 | 295 | 0,968 | 0,570 | 1,267 | 1 | 159,5 | 117,0 | 38,0 | 6660,5 | 327,5 | 23,0 | 303,5 | 76,0 | 244,5 | 245,5 | 76,0 | 714,0 | 145,5 | 5,0 | 76,5 | 377,0 | 24,0 | 28,5 | 377,0 |
| 0 | 11 | 128 | 295 | 0,968 | 0,570 | 1,267 | 1 | 159,5 | 117,0 | 38,0 | 6660,5 | 327,5 | 23,0 | 303,5 | 76,0 | 244,5 | 245,5 | 76,0 | 714,0 | 145,5 | 5,0 | 76,5 | 377,0 | 24,0 | 28,5 | 377,0 |
| 0 | 11 | 128 | 295 | 0,968 | 0,570 | 1,267 | 0 | 159,5 | 117,0 | 38,0 | 6660,5 | 327,5 | 23,0 | 303,5 | 76,0 | 244,5 | 245,5 | 76,0 | 714,0 | 145,5 | 5,0 | 76,5 | 377,0 | 24,0 | 28,5 | 377,0 |
| 0 | 3 | 127 | 279 | 0,998 | 0,561 | 1,250 | 0 | 159,5 | 117,0 | 38,0 | 6660,5 | 327,5 | 23,0 | 303,5 | 76,0 | 244,5 | 245,5 | 76,0 | 714,0 | 145,5 | 5,0 | 76,5 | 377,0 | 24,0 | 28,5 | 377,0 |
| 0 | 15 | 108 | 306 | 0,904 | 0,396 | 0,922 | 4 | 159,5 | 117,0 | 38,0 | 6660,5 | 327,5 | 23,0 | 303,5 | 76,0 | 244,5 | 245,5 | 76,0 | 714,0 | 145,5 | 5,0 | 76,5 | 377,0 | 24,0 | 28,5 | 377,0 |
| 0 | 8 | 62 | 277 | 0,941 | 0,076 | 0,228 | -3 | 162,5 | 116,5 | 38,0 | 6631,0 | 329,0 | 26,5 | 302,0 | 79,5 | 247,0 | 248,0 | 79,5 | 723,0 | 149,0 | 5,0 | 77,5 | 386,0 | 24,5 | 27,5 | 386,0 |
| 0 | 8 | 62 | 277 | 0,941 | 0,076 | 0,228 | -3 | 162,5 | 116,5 | 38,0 | 6631,0 | 329,0 | 26,5 | 302,0 | 79,5 | 247,0 | 248,0 | 79,5 | 723,0 | 149,0 | 5,0 | 77,5 | 386,0 | 24,5 | 27,5 | 386,0 |
| 0 | 10 | 137 | 281 | 0,980 | 0,646 | 1,415 | -3 | 162,5 | 116,5 | 38,0 | 6631,0 | 329,0 | 26,5 | 302,0 | 79,5 | 247,0 | 248,0 | 79,5 | 723,0 | 149,0 | 5,0 | 77,5 | 386,0 | 24,5 | 27,5 | 386,0 |
| 0 | 12 | 149 | 300 | 0,980 | 0,742 | 1,595 | 7 | 162,5 | 116,5 | 38,0 | 6631,0 | 329,0 | 26,5 | 302,0 | 79,5 | 247,0 | 248,0 | 79,5 | 723,0 | 149,0 | 5,0 | 77,5 | 386,0 | 24,5 | 27,5 | 386,0 |

Çizelge A.2. Kuşburnu türünün var yok verilerinin sürekli değişkenlere ait değerleri (Devamı)

| Kuşburnu | EGİM | BAKI | YUKSELTİ | SICIND | RADIND | BAKIND | TOPOZIN | bio1 | bio2 | bio3 | bio4 | bio5 | bio6 | bio7 | bio8 | bio9 | bio10 | bio11 | bio12 | bio13 | bio14 | bio15 | bio16 | bio17 | bio18 | bio19 |
|----------|------|------|----------|--------|--------|--------|---------|-------|-------|------|--------|-------|-------|-------|------|-------|-------|-------|-------|-------|-------|-------|-------|-------|-------|-------|
| 0 | 12 | 149 | 300 | 0,980 | 0,742 | 1,595 | 0 | 162,5 | 116,5 | 38,0 | 6631,0 | 329,0 | 26,5 | 302,0 | 79,5 | 247,0 | 248,0 | 79,5 | 723,0 | 149,0 | 5,0 | 77,5 | 386,0 | 24,5 | 27,5 | 386,0 |
| 0 | 21 | 30 | 1311 | 0,403 | 0,000 | 0,009 | -3 | 106,0 | 114,5 | 35,5 | 7218,0 | 281,0 | -36,0 | 317,0 | 13,0 | 196,0 | 198,0 | 13,0 | 610,0 | 97,0 | 11,0 | 54,5 | 269,0 | 39,5 | 56,0 | 269,0 |
| 0 | 21 | 40 | 1321 | 0,464 | 0,008 | 0,046 | -5 | 106,0 | 114,5 | 35,5 | 7218,0 | 281,0 | -36,0 | 317,0 | 13,0 | 196,0 | 198,0 | 13,0 | 610,0 | 97,0 | 11,0 | 54,5 | 269,0 | 39,5 | 56,0 | 269,0 |
| 0 | 11 | 38 | 1309 | 0,848 | 0,005 | 0,036 | -3 | 106,0 | 114,5 | 35,5 | 7218,0 | 281,0 | -36,0 | 317,0 | 13,0 | 196,0 | 198,0 | 13,0 | 610,0 | 97,0 | 11,0 | 54,5 | 269,0 | 39,5 | 56,0 | 269,0 |
| 0 | 8 | 275 | 1291 | 0,984 | 0,711 | 1,301 | 8 | 106,0 | 114,5 | 35,0 | 7219,0 | 282,0 | -35,0 | 317,0 | 14,0 | 196,0 | 199,0 | 14,0 | 608,0 | 96,0 | 11,0 | 54,5 | 266,0 | 39,0 | 56,0 | 266,0 |
| 0 | 19 | 290 | 1252 | 0,865 | 0,587 | 1,044 | -7 | 106,0 | 114,5 | 35,0 | 7219,0 | 282,0 | -35,0 | 317,0 | 14,0 | 196,0 | 199,0 | 14,0 | 608,0 | 96,0 | 11,0 | 54,5 | 266,0 | 39,0 | 56,0 | 266,0 |
| 0 | 19 | 290 | 1252 | 0,865 | 0,587 | 1,044 | 8 | 106,0 | 114,5 | 35,0 | 7219,0 | 282,0 | -35,0 | 317,0 | 14,0 | 196,0 | 199,0 | 14,0 | 608,0 | 96,0 | 11,0 | 54,5 | 266,0 | 39,0 | 56,0 | 266,0 |
| 0 | 8 | 275 | 1291 | 0,984 | 0,711 | 1,301 | 8 | 106,0 | 114,5 | 35,0 | 7219,0 | 282,0 | -35,0 | 317,0 | 14,0 | 196,0 | 199,0 | 14,0 | 608,0 | 96,0 | 11,0 | 54,5 | 266,0 | 39,0 | 56,0 | 266,0 |
| 0 | 17 | 322 | 1277 | 0,803 | 0,313 | 0,508 | -10 | 106,0 | 114,5 | 35,0 | 7219,0 | 282,0 | -35,0 | 317,0 | 14,0 | 196,0 | 199,0 | 14,0 | 608,0 | 96,0 | 11,0 | 54,5 | 266,0 | 39,0 | 56,0 | 266,0 |
| 0 | 16 | 287 | 1249 | 0,912 | 0,612 | 1,096 | -4 | 105,5 | 113,5 | 35,0 | 7211,5 | 281,0 | -35,5 | 317,0 | 13,0 | 195,5 | 198,5 | 13,0 | 607,5 | 96,0 | 11,0 | 54,0 | 264,5 | 39,5 | 55,5 | 264,5 |
| 0 | 16 | 287 | 1249 | 0,912 | 0,612 | 1,096 | 6 | 105,5 | 113,5 | 35,0 | 7211,5 | 281,0 | -35,5 | 317,0 | 13,0 | 195,5 | 198,5 | 13,0 | 607,5 | 96,0 | 11,0 | 54,0 | 264,5 | 39,5 | 55,5 | 264,5 |
| 0 | 17 | 216 | 1255 | 0,997 | 0,997 | 1,972 | 3 | 105,5 | 113,5 | 35,0 | 7211,5 | 281,0 | -35,5 | 317,0 | 13,0 | 195,5 | 198,5 | 13,0 | 607,5 | 96,0 | 11,0 | 54,0 | 264,5 | 39,5 | 55,5 | 264,5 |
| 0 | 17 | 216 | 1255 | 0,997 | 0,997 | 1,972 | 3 | 105,5 | 113,5 | 35,0 | 7211,5 | 281,0 | -35,5 | 317,0 | 13,0 | 195,5 | 198,5 | 13,0 | 607,5 | 96,0 | 11,0 | 54,0 | 264,5 | 39,5 | 55,5 | 264,5 |
| 0 | 17 | 216 | 1255 | 0,997 | 0,997 | 1,972 | 0 | 105,5 | 113,5 | 35,0 | 7211,5 | 281,0 | -35,5 | 317,0 | 13,0 | 195,5 | 198,5 | 13,0 | 607,5 | 96,0 | 11,0 | 54,0 | 264,5 | 39,5 | 55,5 | 264,5 |
| 0 | 13 | 69 | 1368 | 0,859 | 0,111 | 0,312 | -3 | 106,0 | 113,0 | 35,0 | 7239,5 | 281,0 | -35,0 | 317,0 | 13,0 | 196,0 | 199,0 | 13,0 | 607,0 | 96,0 | 11,0 | 54,0 | 264,0 | 39,5 | 56,0 | 264,0 |
| 0 | 41 | 67 | 1404 | -0,466 | 0,101 | 0,287 | -3 | 106,0 | 113,0 | 35,0 | 7239,5 | 281,0 | -35,0 | 317,0 | 13,0 | 196,0 | 199,0 | 13,0 | 607,0 | 96,0 | 11,0 | 54,0 | 264,0 | 39,5 | 56,0 | 264,0 |
| 0 | 41 | 67 | 1404 | -0,466 | 0,101 | 0,287 | -14 | 106,0 | 113,0 | 35,0 | 7239,5 | 281,0 | -35,0 | 317,0 | 13,0 | 196,0 | 199,0 | 13,0 | 607,0 | 96,0 | 11,0 | 54,0 | 264,0 | 39,5 | 56,0 | 264,0 |
| 0 | 50 | 36 | 1402 | -0,949 | 0,003 | 0,028 | 6 | 106,0 | 113,0 | 35,0 | 7239,5 | 281,0 | -35,0 | 317,0 | 13,0 | 196,0 | 199,0 | 13,0 | 607,0 | 96,0 | 11,0 | 54,0 | 264,0 | 39,5 | 56,0 | 264,0 |
| 0 | 50 | 36 | 1402 | -0,949 | 0,003 | 0,028 | -14 | 106,0 | 113,0 | 35,0 | 7239,5 | 281,0 | -35,0 | 317,0 | 13,0 | 196,0 | 199,0 | 13,0 | 607,0 | 96,0 | 11,0 | 54,0 | 264,0 | 39,5 | 56,0 | 264,0 |
| 0 | 5 | 234 | 1207 | 0,999 | 0,957 | 1,853 | 0 | 105,5 | 114,0 | 35,0 | 7231,2 | 280,0 | -35,0 | 317,0 | 13,5 | 195,5 | 198,5 | 13,5 | 608,5 | 96,0 | 11,0 | 54,0 | 265,3 | 39,5 | 55,3 | 265,3 |
| 0 | 6 | 2 | 1362 | 0,933 | 0,059 | 0,063 | 4 | 105,0 | 113,0 | 35,0 | 7236,5 | 280,0 | -36,5 | 317,0 | 12,5 | 195,5 | 198,0 | 12,5 | 612,5 | 97,5 | 11,0 | 54,0 | 268,5 | 39,5 | 55,5 | 268,5 |
| 0 | 14 | 313 | 1368 | 0,887 | 0,388 | 0,650 | -3 | 105,0 | 113,0 | 35,0 | 7236,5 | 280,0 | -36,5 | 317,0 | 12,5 | 195,5 | 198,0 | 12,5 | 612,5 | 97,5 | 11,0 | 54,0 | 268,5 | 39,5 | 55,5 | 268,5 |
| 0 | 24 | 273 | 1375 | 0,854 | 0,727 | 1,334 | 8 | 105,0 | 113,0 | 35,0 | 7236,5 | 280,0 | -36,5 | 317,0 | 12,5 | 195,5 | 198,0 | 12,5 | 612,5 | 97,5 | 11,0 | 54,0 | 268,5 | 39,5 | 55,5 | 268,5 |
| 0 | 0 | -1 | 1380 | 1,000 | 0,071 | 0,083 | 8 | 105,0 | 113,0 | 35,0 | 7236,5 | 280,0 | -36,5 | 317,0 | 12,5 | 195,5 | 198,0 | 12,5 | 612,5 | 97,5 | 11,0 | 54,0 | 268,5 | 39,5 | 55,5 | 268,5 |

Çizelge A.2. Kuşburnu türünün var yok verilerinin sürekli değişkenlere ait değerleri (Devamı)

| Kuşburnu | EGİM | BAKI | YUKSELTİ | SICIND | RADIND | BAKIND | TOPOZIN | bio1 | bio2 | bio3 | bio4 | bio5 | bio6 | bio7 | bio8 | bio9 | bio10 | bio11 | bio12 | bio13 | bio14 | bio15 | bio16 | bio17 | bio18 | bio19 |
|----------|------|------|----------|--------|--------|--------|---------|-------|-------|------|--------|-------|-------|-------|------|-------|-------|-------|-------|-------|-------|-------|-------|-------|-------|-------|
| 0 | 21 | 65 | 1363 | 0,605 | 0,090 | 0,263 | 3 | 105,0 | 113,0 | 35,0 | 7236,5 | 280,0 | -36,5 | 317,0 | 12,5 | 195,5 | 198,0 | 12,5 | 612,5 | 97,5 | 11,0 | 54,0 | 268,5 | 39,5 | 55,5 | 268,5 |
| 0 | 32 | 333 | 1219 | 0,147 | 0,228 | 0,351 | 3 | 112,5 | 115,0 | 35,0 | 7165,3 | 287,5 | -28,5 | 317,0 | 20,5 | 201,5 | 204,5 | 20,5 | 609,5 | 98,5 | 10,0 | 56,0 | 272,0 | 37,0 | 52,0 | 272,0 |
| 0 | 32 | 333 | 1219 | 0,147 | 0,228 | 0,351 | -5 | 112,5 | 115,0 | 35,0 | 7165,3 | 287,5 | -28,5 | 317,0 | 20,5 | 201,5 | 204,5 | 20,5 | 609,5 | 98,5 | 10,0 | 56,0 | 272,0 | 37,0 | 52,0 | 272,0 |
| 0 | 32 | 340 | 1193 | 0,071 | 0,179 | 0,263 | -5 | 112,5 | 115,0 | 35,0 | 7165,3 | 287,5 | -28,5 | 317,0 | 20,5 | 201,5 | 204,5 | 20,5 | 609,5 | 98,5 | 10,0 | 56,0 | 272,0 | 37,0 | 52,0 | 272,0 |
| 0 | 32 | 340 | 1193 | 0,071 | 0,179 | 0,263 | -5 | 112,5 | 115,0 | 35,0 | 7165,3 | 287,5 | -28,5 | 317,0 | 20,5 | 201,5 | 204,5 | 20,5 | 609,5 | 98,5 | 10,0 | 56,0 | 272,0 | 37,0 | 52,0 | 272,0 |
| 0 | 12 | 180 | 1069 | 0,997 | 0,933 | 1,924 | -1 | 107,5 | 113,0 | 35,5 | 7281,0 | 280,7 | -33,0 | 318,0 | 14,5 | 196,3 | 200,0 | 14,5 | 633,0 | 106,0 | 9,0 | 58,5 | 290,3 | 37,3 | 50,5 | 290,3 |
| 0 | 12 | 223 | 1080 | 0,997 | 0,987 | 1,937 | -1 | 107,5 | 113,0 | 35,5 | 7281,0 | 280,7 | -33,0 | 318,0 | 14,5 | 196,3 | 200,0 | 14,5 | 633,0 | 106,0 | 9,0 | 58,5 | 290,3 | 37,3 | 50,5 | 290,3 |
| 0 | 11 | 328 | 1087 | 0,911 | 0,265 | 0,419 | 7 | 107,5 | 113,0 | 35,5 | 7281,0 | 280,7 | -33,0 | 318,0 | 14,5 | 196,3 | 200,0 | 14,5 | 633,0 | 106,0 | 9,0 | 58,5 | 290,3 | 37,3 | 50,5 | 290,3 |
| 0 | 28 | 16 | 1048 | -0,159 | 0,015 | 0,006 | -10 | 107,5 | 113,0 | 35,5 | 7281,0 | 280,7 | -33,0 | 318,0 | 14,5 | 196,3 | 200,0 | 14,5 | 633,0 | 106,0 | 9,0 | 58,5 | 290,3 | 37,3 | 50,5 | 290,3 |
| 0 | 19 | 0 | 962 | 0,347 | 0,067 | 0,076 | -5 | 122,5 | 115,0 | 35,5 | 7148,3 | 295,8 | -19,5 | 315,5 | 31,0 | 211,8 | 213,8 | 31,0 | 651,5 | 116,0 | 8,0 | 63,5 | 313,0 | 32,5 | 43,0 | 313,0 |
| 0 | 28 | 83 | 981 | 0,446 | 0,199 | 0,508 | 1 | 122,5 | 115,0 | 35,5 | 7148,3 | 295,8 | -19,5 | 315,5 | 31,0 | 211,8 | 213,8 | 31,0 | 651,5 | 116,0 | 8,0 | 63,5 | 313,0 | 32,5 | 43,0 | 313,0 |
| 0 | 15 | 119 | 950 | 0,925 | 0,491 | 1,113 | 1 | 122,5 | 115,0 | 35,5 | 7148,3 | 295,8 | -19,5 | 315,5 | 31,0 | 211,8 | 213,8 | 31,0 | 651,5 | 116,0 | 8,0 | 63,5 | 313,0 | 32,5 | 43,0 | 313,0 |
| 0 | 17 | 89 | 985 | 0,822 | 0,242 | 0,601 | 1 | 122,5 | 115,0 | 35,5 | 7148,3 | 295,8 | -19,5 | 315,5 | 31,0 | 211,8 | 213,8 | 31,0 | 651,5 | 116,0 | 8,0 | 63,5 | 313,0 | 32,5 | 43,0 | 313,0 |
| 0 | 17 | 89 | 985 | 0,822 | 0,242 | 0,601 | 10 | 122,5 | 115,0 | 35,5 | 7148,3 | 295,8 | -19,5 | 315,5 | 31,0 | 211,8 | 213,8 | 31,0 | 651,5 | 116,0 | 8,0 | 63,5 | 313,0 | 32,5 | 43,0 | 313,0 |
| 0 | 22 | 48 | 749 | 0,463 | 0,024 | 0,097 | -1 | 131,0 | 115,5 | 36,0 | 7024,0 | 304,0 | -8,0 | 311,5 | 42,0 | 220,0 | 222,0 | 42,0 | 681,0 | 127,0 | 7,0 | 68,5 | 340,0 | 30,5 | 38,5 | 340,0 |
| 0 | 21 | 60 | 709 | 0,578 | 0,067 | 0,207 | -1 | 131,0 | 115,5 | 36,0 | 7024,0 | 304,0 | -8,0 | 311,5 | 42,0 | 220,0 | 222,0 | 42,0 | 681,0 | 127,0 | 7,0 | 68,5 | 340,0 | 30,5 | 38,5 | 340,0 |
| 0 | 21 | 60 | 709 | 0,578 | 0,067 | 0,207 | -9 | 131,0 | 115,5 | 36,0 | 7024,0 | 304,0 | -8,0 | 311,5 | 42,0 | 220,0 | 222,0 | 42,0 | 681,0 | 127,0 | 7,0 | 68,5 | 340,0 | 30,5 | 38,5 | 340,0 |
| 0 | 29 | 40 | 674 | -0,001 | 0,008 | 0,046 | -28 | 131,0 | 115,5 | 36,0 | 7024,0 | 304,0 | -8,0 | 311,5 | 42,0 | 220,0 | 222,0 | 42,0 | 681,0 | 127,0 | 7,0 | 68,5 | 340,0 | 30,5 | 38,5 | 340,0 |
| 0 | 36 | 236 | 673 | 0,911 | 0,949 | 1,834 | 1 | 131,0 | 115,5 | 36,0 | 7024,0 | 304,0 | -8,0 | 311,5 | 42,0 | 220,0 | 222,0 | 42,0 | 681,0 | 127,0 | 7,0 | 68,5 | 340,0 | 30,5 | 38,5 | 340,0 |
| 0 | 0 | -1 | 1010 | 1,000 | 0,071 | 0,083 | 13 | 128,0 | 115,0 | 36,0 | 7070,0 | 300,0 | -12,0 | 313,0 | 38,0 | 216,0 | 217,5 | 38,0 | 681,0 | 126,0 | 7,0 | 68,0 | 339,0 | 31,0 | 40,0 | 339,0 |
| 0 | 0 | -1 | 960 | 1,000 | 0,071 | 0,083 | -9 | 128,0 | 115,0 | 36,0 | 7070,0 | 300,0 | -12,0 | 313,0 | 38,0 | 216,0 | 217,5 | 38,0 | 681,0 | 126,0 | 7,0 | 68,0 | 339,0 | 31,0 | 40,0 | 339,0 |
| 0 | 20 | 222 | 991 | 0,992 | 0,989 | 1,943 | 2 | 128,0 | 115,0 | 36,0 | 7070,0 | 300,0 | -12,0 | 313,0 | 38,0 | 216,0 | 217,5 | 38,0 | 681,0 | 126,0 | 7,0 | 68,0 | 339,0 | 31,0 | 40,0 | 339,0 |
| 0 | 20 | 222 | 991 | 0,992 | 0,989 | 1,943 | 13 | 128,0 | 115,0 | 36,0 | 7070,0 | 300,0 | -12,0 | 313,0 | 38,0 | 216,0 | 217,5 | 38,0 | 681,0 | 126,0 | 7,0 | 68,0 | 339,0 | 31,0 | 40,0 | 339,0 |
| 0 | 23 | 151 | 966 | 0,928 | 0,758 | 1,623 | -13 | 128,0 | 115,0 | 36,0 | 7070,0 | 300,0 | -12,0 | 313,0 | 38,0 | 216,0 | 217,5 | 38,0 | 681,0 | 126,0 | 7,0 | 68,0 | 339,0 | 31,0 | 40,0 | 339,0 |

Çizelge A.2. Kuşburnu türünün var yok verilerinin sürekli değişkenlere ait değerleri (Devamı)

| Kuşburnu | EGİM | BAKI | YUKSELTİ | SICIND | RADIND | BAKIND | TOPOZIN | bio1 | bio2 | bio3 | bio4 | bio5 | bio6 | bio7 | bio8 | bio9 | bio10 | bio11 | bio12 | bio13 | bio14 | bio15 | bio16 | bio17 | bio18 | bio19 |
|----------|------|------|----------|--------|--------|--------|---------|-------|-------|------|--------|-------|-------|-------|-------|-------|-------|-------|-------|-------|-------|-------|-------|-------|-------|-------|
| 0 | 28 | 260 | 1556 | 0,861 | 0,821 | 1,537 | -3 | 90,0 | 108,5 | 33,5 | 7376,3 | 263,3 | -52,8 | 316,5 | -4,0 | 181,8 | 183,5 | -4,0 | 655,3 | 107,7 | 12,0 | 56,5 | 294,0 | 41,0 | 59,3 | 294,0 |
| 0 | 23 | 297 | 1548 | 0,765 | 0,526 | 0,922 | 7 | 90,0 | 108,5 | 33,5 | 7376,3 | 263,3 | -52,8 | 316,5 | -4,0 | 181,8 | 183,5 | -4,0 | 655,3 | 107,7 | 12,0 | 56,5 | 294,0 | 41,0 | 59,3 | 294,0 |
| 0 | 40 | 272 | 1612 | 0,525 | 0,735 | 1,350 | 1 | 90,0 | 108,5 | 33,5 | 7376,3 | 263,3 | -52,8 | 316,5 | -4,0 | 181,8 | 183,5 | -4,0 | 655,3 | 107,7 | 12,0 | 56,5 | 294,0 | 41,0 | 59,3 | 294,0 |
| 0 | 51 | 36 | 1630 | -0,902 | 0,003 | 0,028 | 17 | 90,0 | 108,5 | 33,5 | 7376,3 | 263,3 | -52,8 | 316,5 | -4,0 | 181,8 | 183,5 | -4,0 | 655,3 | 107,7 | 12,0 | 56,5 | 294,0 | 41,0 | 59,3 | 294,0 |
| 0 | 36 | 333 | 1567 | -0,084 | 0,228 | 0,351 | -6 | 90,0 | 108,5 | 33,5 | 7376,3 | 263,3 | -52,8 | 316,5 | -4,0 | 181,8 | 183,5 | -4,0 | 655,3 | 107,7 | 12,0 | 56,5 | 294,0 | 41,0 | 59,3 | 294,0 |
| 0 | 0 | -1 | 810 | 1,000 | 0,071 | 0,083 | 12 | 128,0 | 116,0 | 36,0 | 7046,0 | 301,0 | -12,0 | 314,0 | 38,0 | 216,0 | 218,0 | 38,0 | 649,0 | 117,0 | 7,5 | 64,0 | 314,0 | 32,0 | 42,0 | 314,0 |
| 0 | 0 | -1 | 810 | 1,000 | 0,071 | 0,083 | 12 | 128,0 | 116,0 | 36,0 | 7046,0 | 301,0 | -12,0 | 314,0 | 38,0 | 216,0 | 218,0 | 38,0 | 649,0 | 117,0 | 7,5 | 64,0 | 314,0 | 32,0 | 42,0 | 314,0 |
| 0 | 29 | 277 | 774 | 0,751 | 0,695 | 1,267 | -9 | 128,0 | 116,0 | 36,0 | 7046,0 | 301,0 | -12,0 | 314,0 | 38,0 | 216,0 | 218,0 | 38,0 | 649,0 | 117,0 | 7,5 | 64,0 | 314,0 | 32,0 | 42,0 | 314,0 |
| 0 | 19 | 169 | 799 | 0,980 | 0,877 | 1,834 | 13 | 128,0 | 116,0 | 36,0 | 7046,0 | 301,0 | -12,0 | 314,0 | 38,0 | 216,0 | 218,0 | 38,0 | 649,0 | 117,0 | 7,5 | 64,0 | 314,0 | 32,0 | 42,0 | 314,0 |
| 0 | 14 | 268 | 784 | 0,960 | 0,765 | 1,415 | 13 | 128,0 | 116,0 | 36,0 | 7046,0 | 301,0 | -12,0 | 314,0 | 38,0 | 216,0 | 218,0 | 38,0 | 649,0 | 117,0 | 7,5 | 64,0 | 314,0 | 32,0 | 42,0 | 314,0 |
| 0 | 29 | 245 | 1166 | 0,917 | 0,910 | 1,737 | 0 | 106,0 | 113,8 | 35,0 | 7250,5 | 281,0 | -35,8 | 317,0 | 14,0 | 197,0 | 198,8 | 14,0 | 630,5 | 104,5 | 10,5 | 58,0 | 290,8 | 37,5 | 52,5 | 290,8 |
| 0 | 20 | 322 | 1153 | 0,725 | 0,313 | 0,508 | -2 | 106,0 | 113,8 | 35,0 | 7250,5 | 281,0 | -35,8 | 317,0 | 14,0 | 197,0 | 198,8 | 14,0 | 630,5 | 104,5 | 10,5 | 58,0 | 290,8 | 37,5 | 52,5 | 290,8 |
| 0 | 17 | 255 | 1139 | 0,961 | 0,854 | 1,609 | -4 | 106,0 | 113,8 | 35,0 | 7250,5 | 281,0 | -35,8 | 317,0 | 14,0 | 197,0 | 198,8 | 14,0 | 630,5 | 104,5 | 10,5 | 58,0 | 290,8 | 37,5 | 52,5 | 290,8 |
| 0 | 29 | 289 | 1179 | 0,670 | 0,595 | 1,061 | -4 | 106,0 | 113,8 | 35,0 | 7250,5 | 281,0 | -35,8 | 317,0 | 14,0 | 197,0 | 198,8 | 14,0 | 630,5 | 104,5 | 10,5 | 58,0 | 290,8 | 37,5 | 52,5 | 290,8 |
| 0 | 29 | 245 | 1166 | 0,917 | 0,910 | 1,737 | -2 | 106,0 | 113,8 | 35,0 | 7250,5 | 281,0 | -35,8 | 317,0 | 14,0 | 197,0 | 198,8 | 14,0 | 630,5 | 104,5 | 10,5 | 58,0 | 290,8 | 37,5 | 52,5 | 290,8 |
| 0 | 19 | 60 | 1665 | 0,655 | 0,067 | 0,207 | -6 | 89,0 | 109,0 | 33,5 | 7350,0 | 262,8 | -52,8 | 315,5 | -4,8 | 180,8 | 182,5 | -4,8 | 653,8 | 105,5 | 12,5 | 55,0 | 291,0 | 42,3 | 61,0 | 291,0 |
| 0 | 15 | 133 | 1698 | 0,948 | 0,612 | 1,350 | -1 | 89,0 | 109,0 | 33,5 | 7350,0 | 262,8 | -52,8 | 315,5 | -4,8 | 180,8 | 182,5 | -4,8 | 653,8 | 105,5 | 12,5 | 55,0 | 291,0 | 42,3 | 61,0 | 291,0 |
| 0 | 59 | 267 | 2222 | -0,298 | 0,772 | 1,431 | 18 | 64,5 | 103,5 | 32,0 | 7364,5 | 236,0 | -75,0 | 311,5 | -28,5 | 156,5 | 158,5 | -28,5 | 697,5 | 106,0 | 15,0 | 51,7 | 297,0 | 50,5 | 75,0 | 297,0 |
| 0 | 54 | 265 | 2273 | 0,069 | 0,787 | 1,462 | 29 | 64,5 | 103,5 | 32,0 | 7364,5 | 236,0 | -75,0 | 311,5 | -28,5 | 156,5 | 158,5 | -28,5 | 697,5 | 106,0 | 15,0 | 51,7 | 297,0 | 50,5 | 75,0 | 297,0 |
| 0 | 40 | 242 | 2303 | 0,837 | 0,924 | 1,772 | 27 | 64,5 | 103,5 | 32,0 | 7364,5 | 236,0 | -75,0 | 311,5 | -28,5 | 156,5 | 158,5 | -28,5 | 697,5 | 106,0 | 15,0 | 51,7 | 297,0 | 50,5 | 75,0 | 297,0 |
| 0 | 4 | 279 | 1476 | 0,996 | 0,679 | 1,233 | 0 | 97,0 | 112,0 | 34,0 | 7299,0 | 271,0 | -45,0 | 316,5 | 3,0 | 188,0 | 190,0 | 3,0 | 628,0 | 100,0 | 12,5 | 54,0 | 277,0 | 41,0 | 58,0 | 277,0 |
| 0 | 5 | 261 | 1486 | 0,996 | 0,815 | 1,522 | 0 | 97,0 | 112,0 | 34,0 | 7299,0 | 271,0 | -45,0 | 316,5 | 3,0 | 188,0 | 190,0 | 3,0 | 628,0 | 100,0 | 12,5 | 54,0 | 277,0 | 41,0 | 58,0 | 277,0 |

Çizelge A.3. İklim değişkenlerine ait korelasyon analizi sonuçları

| | | bio1 | bio2 | bio3 | bio4 | bio5 | bio6 | bio7 | bio8 | bio9 | bio10 | bio11 | bio12 | bio13 | bio14 | bio15 | bio16 | bio17 | bio18 | bio19 |
|-------|--------------------|--------|--------|--------|--------|-------|--------|--------|-------|-------|--------|--------|--------|-------|--------|-------|-------|--------|-------|-------|
| bio1 | Pearson Korelasyon | 1 | 0,871 | 0,936 | -0,959 | 0,996 | 0,999 | 0,581 | 0,999 | 0,999 | 0,999 | 0,999 | 0,206 | 0,706 | -0,963 | 0,877 | 0,641 | -0,98 | -0,98 | 0,641 |
| | Önem Seviyesi | | 0,000 | 0,000 | 0,000 | 0,000 | 0,000 | 0,000 | 0,000 | 0,000 | 0,000 | 0,000 | 0,000 | 0,000 | 0,000 | 0,000 | 0,000 | 0,000 | 0,000 | 0,000 |
| bio2 | Pearson Korelasyon | 0,871 | 1 | 0,906 | -0,787 | 0,908 | 0,859 | 0,173 | 0,861 | 0,874 | 0,882 | 0,861 | -0,257 | 0,309 | -0,806 | 0,586 | 0,235 | -0,838 | 0,824 | 0,235 |
| | Önem Seviyesi | 0,000 | 0,000 | 0,000 | 0,000 | 0,000 | 0,000 | 0,000 | 0,000 | 0,000 | 0,000 | 0,000 | 0,000 | 0,000 | 0,000 | 0,000 | 0,000 | 0,000 | 0,000 | 0,000 |
| bio3 | Pearson Korelasyon | 0,936 | 0,906 | 1 | -0,904 | 0,943 | 0,935 | 0,463 | 0,935 | 0,933 | 0,936 | 0,935 | 0,045 | 0,555 | -0,89 | 0,76 | 0,489 | -0,903 | 0,896 | 0,489 |
| | Önem Seviyesi | 0,000 | 0,000 | 0,000 | 0,000 | 0,000 | 0,000 | 0,000 | 0,000 | 0,000 | 0,000 | 0,000 | 0,000 | 0,000 | 0,000 | 0,000 | 0,000 | 0,000 | 0,000 | 0,000 |
| bio4 | Pearson Korelasyon | -0,959 | -0,787 | -0,904 | 1 | 0,941 | -0,97 | 0,734 | -0,97 | 0,952 | -0,95 | -0,97 | -0,302 | 0,735 | 0,894 | 0,859 | 0,671 | 0,911 | 0,911 | 0,671 |
| | Önem Seviyesi | 0,000 | 0,000 | 0,000 | 0,000 | 0,000 | 0,000 | 0,000 | 0,000 | 0,000 | 0,000 | 0,000 | 0,000 | 0,000 | 0,000 | 0,000 | 0,000 | 0,000 | 0,000 | 0,000 |
| bio5 | Pearson Korelasyon | 0,996 | 0,908 | 0,943 | 0,941 | 1 | 0,992 | 0,512 | 0,992 | 0,996 | 0,998 | 0,992 | 0,124 | 0,647 | -0,954 | 0,841 | 0,579 | 0,974 | 0,972 | 0,579 |
| | Önem Seviyesi | 0,000 | 0,000 | 0,000 | 0,000 | 0,000 | 0,000 | 0,000 | 0,000 | 0,000 | 0,000 | 0,000 | 0,000 | 0,000 | 0,000 | 0,000 | 0,000 | 0,000 | 0,000 | 0,000 |
| bio6 | Pearson Korelasyon | 0,999 | 0,859 | 0,935 | -0,97 | 0,992 | 1 | 0,611 | 10 | 0,997 | 0,997 | 10 | 0,227 | 0,717 | -0,959 | 0,88 | 0,652 | -0,974 | 0,974 | 0,652 |
| | Önem Seviyesi | 0,000 | 0,000 | 0,000 | 0,000 | 0,000 | 0,000 | 0,000 | 0,000 | 0,000 | 0,000 | 0,000 | 0,000 | 0,000 | 0,000 | 0,000 | 0,000 | 0,000 | 0,000 | 0,000 |
| bio7 | Pearson Korelasyon | -0,581 | -0,173 | -0,463 | 0,734 | 0,512 | -0,611 | 1 | 0,609 | 0,569 | -0,556 | -0,609 | -0,781 | 0,852 | 0,547 | 0,746 | 0,836 | 0,544 | 0,561 | 0,836 |
| | Önem Seviyesi | 0,000 | 0,001 | 0,000 | 0,000 | 0,000 | 0,000 | 0,000 | 0,000 | 0,000 | 0,000 | 0,000 | 0,000 | 0,000 | 0,000 | 0,000 | 0,000 | 0,000 | 0,000 | 0,000 |
| bio8 | Pearson Korelasyon | 0,999 | 0,861 | 0,935 | -0,97 | 0,992 | 10 | 0,609 | 1 | 0,998 | 0,997 | 10 | 0,227 | 0,718 | -0,959 | 0,882 | 0,653 | 0,975 | 0,975 | 0,653 |
| | Önem Seviyesi | 0,000 | 0,000 | 0,000 | 0,000 | 0,000 | 0,000 | 0,000 | 0,000 | 0,000 | 0,000 | 0,000 | 0,000 | 0,000 | 0,000 | 0,000 | 0,000 | 0,000 | 0,000 | 0,000 |
| bio9 | Pearson Korelasyon | 0,999 | 0,874 | 0,933 | -0,952 | 0,996 | 0,997 | 0,569 | 0,998 | 1 | 0,999 | 0,998 | 0,2 | 0,704 | -0,964 | 0,877 | 0,639 | 0,982 | 0,982 | 0,639 |
| | Önem Seviyesi | 0,000 | 0,000 | 0,000 | 0,000 | 0,000 | 0,000 | 0,000 | 0,000 | 0,000 | 0,000 | 0,000 | 0,000 | 0,000 | 0,000 | 0,000 | 0,000 | 0,000 | 0,000 | 0,000 |
| bio10 | Pearson Korelasyon | 0,999 | 0,882 | 0,936 | -0,95 | 0,998 | 0,997 | -0,556 | 0,997 | 0,999 | 1 | 0,997 | 0,181 | 0,689 | -0,963 | 0,867 | 0,623 | -0,98 | 0,979 | 0,623 |
| | Önem Seviyesi | 0,000 | 0,000 | 0,000 | 0,000 | 0,000 | 0,000 | 0,000 | 0,000 | 0,000 | 0,000 | 0,000 | 0,000 | 0,000 | 0,000 | 0,000 | 0,000 | 0,000 | 0,000 | 0,000 |

Çizelge A.3. İklim değişkenlerine ait korelasyon analizi sonuçları (devamı)

| | | bio1 | bio2 | bio3 | bio4 | bio5 | bio6 | bio7 | bio8 | bio9 | bio10 | bio11 | bio12 | bio13 | bio14 | bio15 | bio16 | bio17 | bio18 | bio19 | | | |
|-------|--------------------|--------|--------|--------|-------|-------|--------|-------|-------|-------|-------|--------|--------|--------|-------|--------|-------|-------|-------|-------|-------|-------|-------|
| bio11 | Pearson Korelasyon | 0,999 | 0,861 | 0,935 | -0,97 | 0,992 | 10 | - | 0,609 | 10 | 0,998 | 0,997 | 1 | 0,227 | 0,718 | -0,959 | 0,882 | 0,653 | - | - | 0,975 | 0,975 | 0,653 |
| | Önem Seviyesi | 0,000 | 0,000 | 0,000 | 0,000 | 0,000 | 0,000 | 0,000 | 0,000 | 0,000 | 0,000 | 0,000 | 0,000 | 0,000 | 0,000 | 0,000 | 0,000 | 0,000 | 0,000 | 0,000 | 0,000 | 0,000 | 0,000 |
| bio12 | Pearson Korelasyon | 0,206 | -0,257 | 0,045 | 0,302 | 0,124 | 0,227 | - | 0,781 | 0,227 | 0,2 | 0,181 | 0,227 | 1 | 0,831 | -0,297 | 0,613 | 0,871 | - | - | 0,265 | 0,294 | 0,871 |
| | Önem Seviyesi | 0,000 | 0,000 | 0,384 | 0,016 | 0,000 | 0,000 | 0,000 | 0,000 | 0,000 | 0,000 | 0,000 | 0,000 | 0,000 | 0,000 | 0,000 | 0,000 | 0,000 | 0,000 | 0,000 | 0,000 | 0,000 | 0,000 |
| bio13 | Pearson Korelasyon | 0,706 | 0,309 | 0,555 | - | 0,647 | 0,717 | - | 0,852 | 0,718 | 0,704 | 0,689 | 0,718 | 0,831 | 1 | -0,762 | 0,945 | 0,994 | - | - | 0,753 | 0,773 | 0,994 |
| | Önem Seviyesi | 0,000 | 0,000 | 0,000 | 0,000 | 0,000 | 0,000 | 0,000 | 0,000 | 0,000 | 0,000 | 0,000 | 0,000 | 0,000 | 0,000 | 0,000 | 0,000 | 0,000 | 0,000 | 0,000 | 0,000 | 0,000 | 0,000 |
| bio14 | Pearson Korelasyon | -0,963 | -0,806 | -0,89 | 0,894 | 0,954 | -0,959 | - | 0,547 | 0,959 | 0,964 | -0,963 | -0,959 | -0,297 | 1 | - | 0,913 | 0,709 | - | - | 0,979 | 0,982 | 0,709 |
| | Önem Seviyesi | 0,000 | 0,000 | 0,000 | 0,000 | 0,000 | 0,000 | 0,000 | 0,000 | 0,000 | 0,000 | 0,000 | 0,000 | 0,000 | 0,000 | 0,000 | 0,000 | 0,000 | 0,000 | 0,000 | 0,000 | 0,000 | 0,000 |
| bio15 | Pearson Korelasyon | 0,877 | 0,586 | 0,76 | - | 0,859 | 0,841 | - | 0,746 | 0,882 | 0,877 | 0,867 | 0,882 | 0,613 | 0,945 | -0,913 | 1 | 0,92 | - | - | 0,918 | 0,929 | 0,92 |
| | Önem Seviyesi | 0,000 | 0,000 | 0,000 | 0,000 | 0,000 | 0,000 | 0,000 | 0,000 | 0,000 | 0,000 | 0,000 | 0,000 | 0,000 | 0,000 | 0,000 | 0,000 | 0,000 | 0,000 | 0,000 | 0,000 | 0,000 | 0,000 |
| bio16 | Pearson Korelasyon | 0,641 | 0,235 | 0,489 | - | 0,579 | 0,652 | - | 0,836 | 0,653 | 0,639 | 0,623 | 0,653 | 0,871 | 0,994 | -0,709 | 0,92 | 1 | - | - | 0,699 | -0,72 | 10 |
| | Önem Seviyesi | 0,000 | 0,000 | 0,000 | 0,000 | 0,000 | 0,000 | 0,000 | 0,000 | 0,000 | 0,000 | 0,000 | 0,000 | 0,000 | 0,000 | 0,000 | 0,000 | 0,000 | 0,000 | 0,000 | 0,000 | 0,000 | 0,000 |
| bio17 | Pearson Korelasyon | -0,98 | -0,838 | -0,903 | 0,911 | - | -0,974 | - | 0,544 | 0,975 | 0,982 | -0,98 | -0,975 | -0,265 | 1 | - | - | - | - | - | 0,918 | 0,699 | 0,699 |
| | Önem Seviyesi | 0,000 | 0,000 | 0,000 | 0,000 | 0,000 | 0,000 | 0,000 | 0,000 | 0,000 | 0,000 | 0,000 | 0,000 | 0,000 | 0,000 | 0,000 | 0,000 | 0,000 | 0,000 | 0,000 | 0,000 | 0,000 | 0,000 |
| bio18 | Pearson Korelasyon | -0,98 | -0,824 | -0,896 | 0,911 | - | -0,974 | - | 0,561 | 0,975 | 0,982 | -0,979 | -0,975 | -0,294 | 1 | - | - | - | - | - | 0,918 | 0,699 | 0,699 |
| | Önem Seviyesi | 0,000 | 0,000 | 0,000 | 0,000 | 0,000 | 0,000 | 0,000 | 0,000 | 0,000 | 0,000 | 0,000 | 0,000 | 0,000 | 0,000 | 0,000 | 0,000 | 0,000 | 0,000 | 0,000 | 0,000 | 0,000 | 0,000 |
| bio19 | Pearson Korelasyon | 0,641 | 0,235 | 0,489 | - | 0,579 | 0,652 | - | 0,836 | 0,653 | 0,639 | 0,623 | 0,653 | 0,871 | 0,994 | -0,709 | 0,92 | 1 | - | - | 0,699 | -0,72 | 1 |
| | Önem Seviyesi | 0,000 | 0,000 | 0,000 | 0,000 | 0,000 | 0,000 | 0,000 | 0,000 | 0,000 | 0,000 | 0,000 | 0,000 | 0,000 | 0,000 | 0,000 | 0,000 | 0,000 | 0,000 | 0,000 | 0,000 | 0,000 | 0,000 |

7. ÖZGEÇMİŞ

Adı Soyadı : Gökhan KAZAZ

Doğum Yeri ve Yılı : Konya, 1987

Medeni Hali : Bekar

Yabancı Dili : İngilizce

E-posta : gokhankazaz@yahoo.com.tr

Eğitim Durumu

Lise : Bitlis Anadolu Lisesi

Lisans : SDÜ, Orman Fakültesi, Orman Mühendisliği

Yüksek Lisans : SDÜ, Fen Bilimleri Enstitüsü, Orman Mühendisliği

Mesleki Deneyim

Eğirdir Orman İşletme Müdürlüğü Orman Mühendisi Hizmet Alımı 2009-2011

ÜNSE Mühendislik 2011-2013